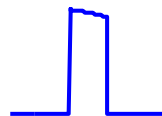
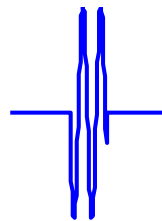
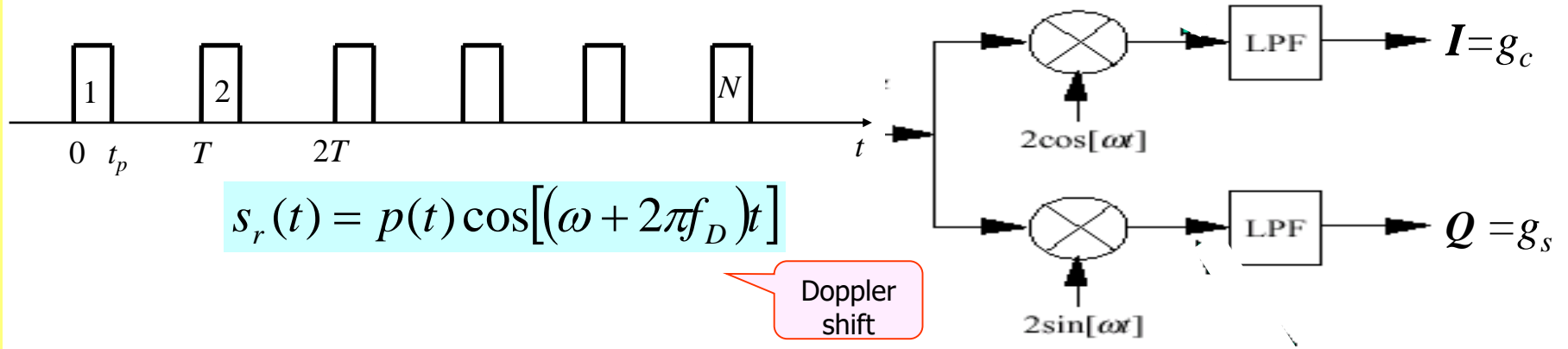


COHERENT PULSE TRAIN

- Extends the coherent signal duration to provide Doppler resolution
- Spreads the constant-volume of the ambiguity function into a “bed-of nails”
- Can use unmodulated as well as compressed pulses
- Delay of target returns are usually shorter than the interval between pulses (but not always)

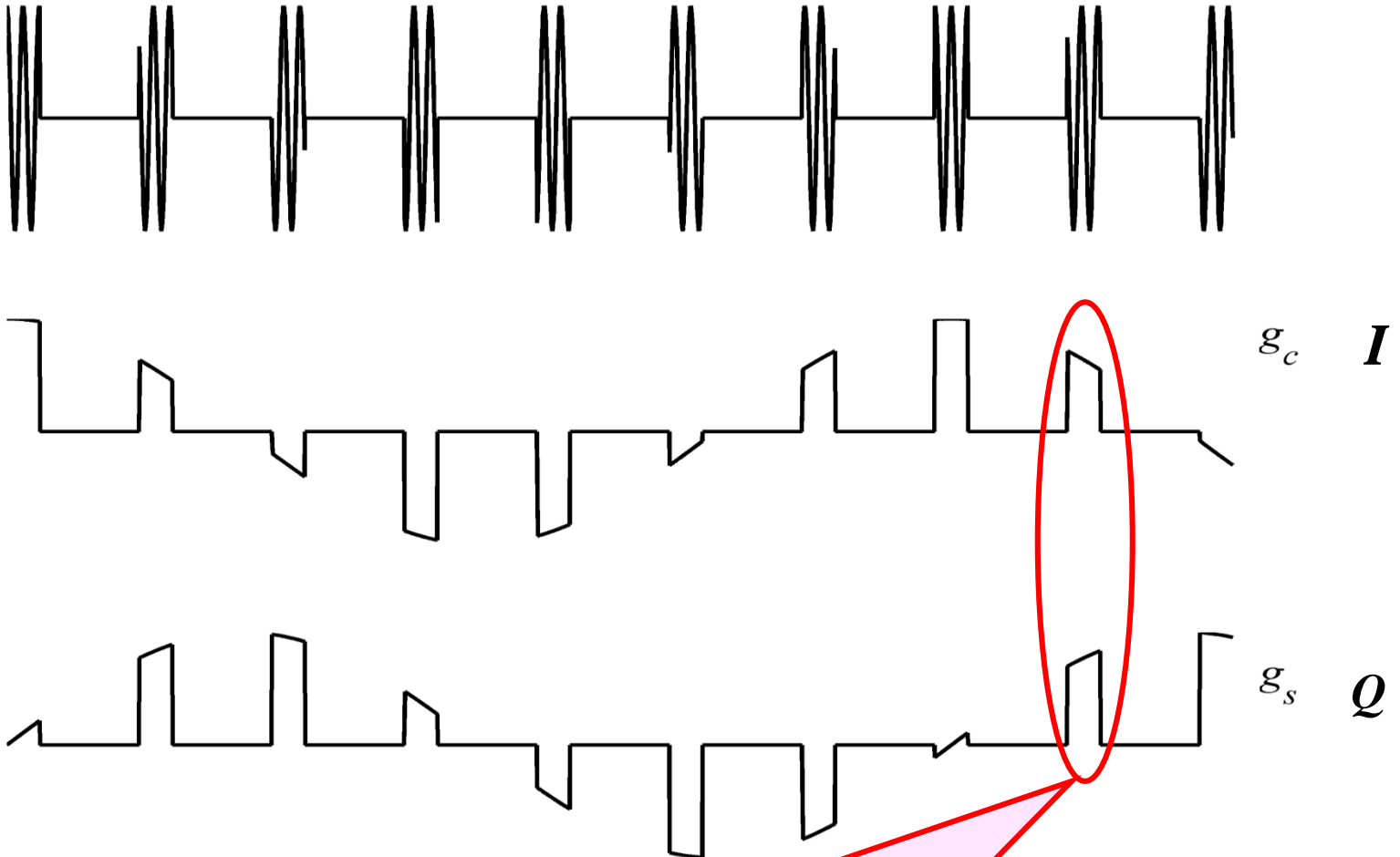
Doppler resolution is determined by the length of the Coherent Processing Interval (CPI).
 Coherent pulse train \rightarrow long CPI \rightarrow better (narrower) Doppler resolution.



I

Q

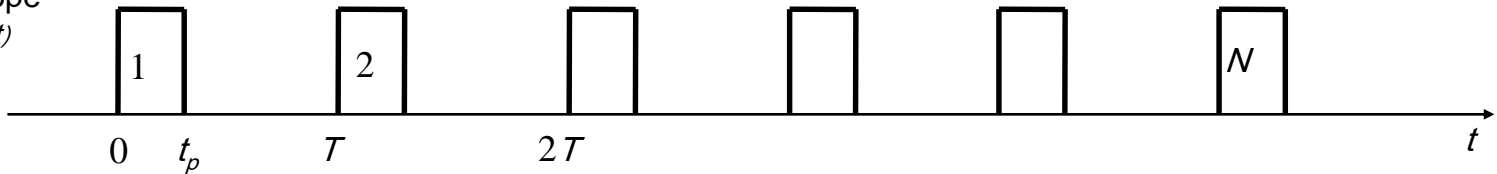
In-phase and quadrature components of synchronously detected Doppler shifted pulses



The slopes indicate phase change, due to Doppler, during the pulse.
 May pose a problem in pulse compression with low Doppler tolerance.
 May require **Fast-Time Doppler Compensation**.

COHERENT PULSE TRAIN

Complex envelope
of the signal $u(t)$



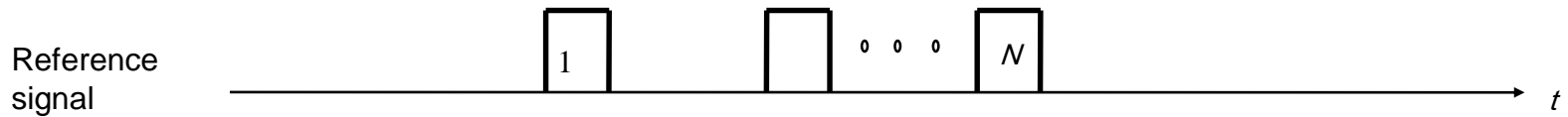
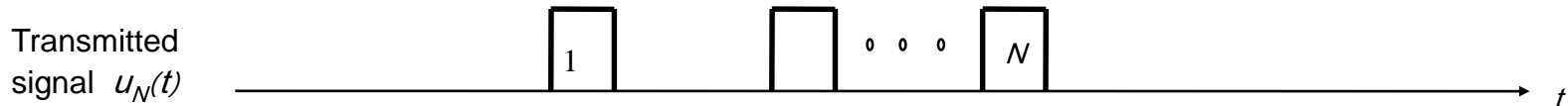
$$s(t) = \text{Re}\left[u_N(t) \exp(j2\pi f_c t)\right]$$

$$u_N(t) = \frac{1}{\sqrt{N}} \sum_{n=1}^N u_n[t - (n-1)T]$$

Implies
coherency

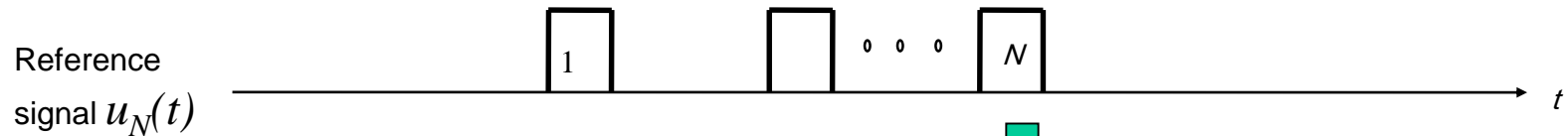
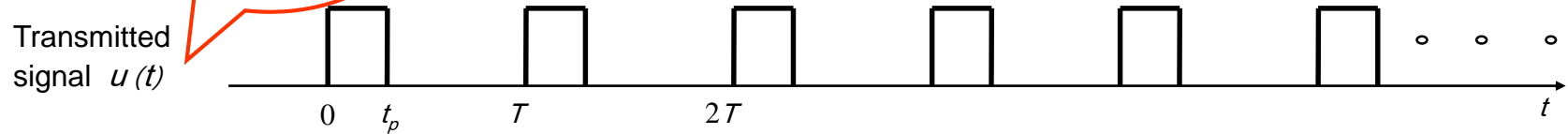
Identical pulses \Rightarrow

$$u_n(t) = u_1(t)$$



Ambiguity function

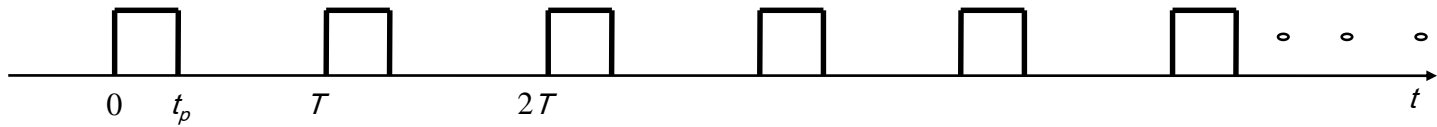
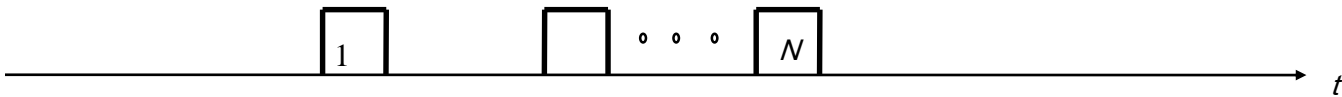
The same pulses are repeated indefinitely



$$u(t) = \frac{1}{\sqrt{N}} \sum_{n=-\infty}^{\infty} u_n [t - (n-1)T], \quad u_n = u_1$$

Periodic ambiguity function

PERIODIC AMBIGUITY FUNCTION

Transmitted
signal $u(t)$ Reference
signal $u_N(t)$ 

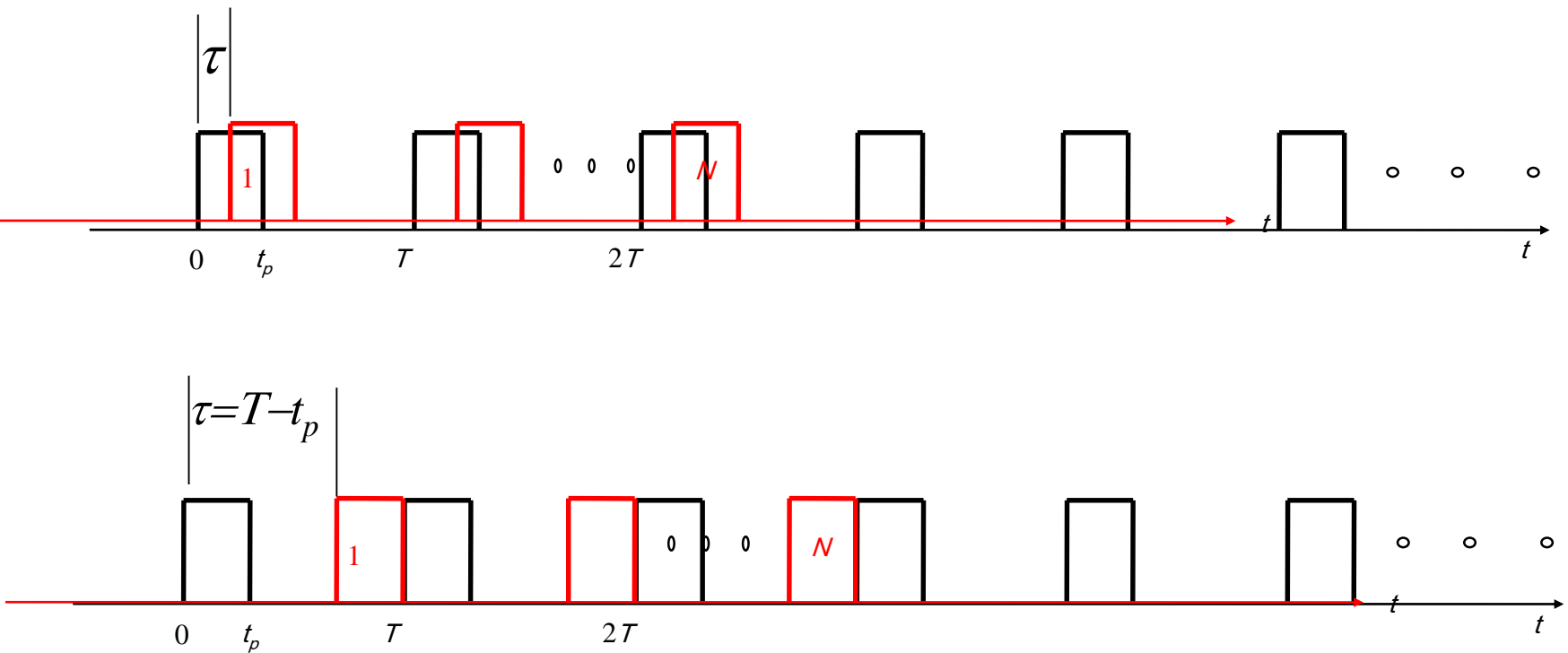
$$|\chi_{NT}(\tau, \nu)| = \left| \frac{1}{NT} \int_{-\infty}^{\infty} u_N(t) u^*(t + \tau) \exp(j2\pi\nu t) dt \right|$$

$$|\chi_{NT}(\tau, \nu)| = \left| \frac{1}{NT} \int_0^{NT} u(t) u^*(t + \tau) \exp(j2\pi\nu t) dt \right|$$

$$|\chi_T(\tau, \nu)| = \left| \frac{1}{T} \int_0^T u(t) u^*(t + \tau) \exp(j2\pi\nu t) dt \right|$$

$$|\chi_{NT}(\tau, \nu)| = |\chi_T(\tau, \nu)| \left| \frac{\sin(N\pi\nu T)}{N \sin(\pi\nu T)} \right|$$

For $|\tau| < T - t_p$ and any N
the ambiguity function = periodic ambiguity function



For $|\tau| < T - t_p$ and any N
 the ambiguity function = periodic ambiguity function

PERIODIC AMBIGUITY FUNCTION

$$\left| \chi_{NT_r}(\tau, \nu) \right| = \left| \chi_{T_r}(\tau, \nu) \right| \left| \frac{\sin(N\pi\nu T_r)}{N \sin(\pi\nu T_r)} \right|$$

$$\left| \chi_{T_r}(\tau, \nu) \right| = \frac{1}{T_r} \left| \int_0^\tau u(t+T_r-\tau)u^*(t)\exp(j2\pi\nu t)dt + \int_\tau^{T_r} u(t-\tau)u^*(t)\exp(j2\pi\nu t)dt \right|$$

$$\left| \chi_{T_r}(\tau, \nu) \right| = \left| \chi(\tau, \nu) \right|, \quad t_p < T_r/2$$

$Y = \text{diric}(X, N)$ returns a matrix the same size as X whose elements are the **Dirichlet** function of the elements of X . Positive integer N is the number of equally spaced extrema of the function in the interval 0 to 2π .

The Dirichlet function is defined as

$$\mathbf{d}(\mathbf{x}) = \frac{\sin(N\mathbf{x}/2)}{N\sin(\mathbf{x}/2)} \quad \text{for } \mathbf{x} \text{ not a multiple of } 2\pi$$

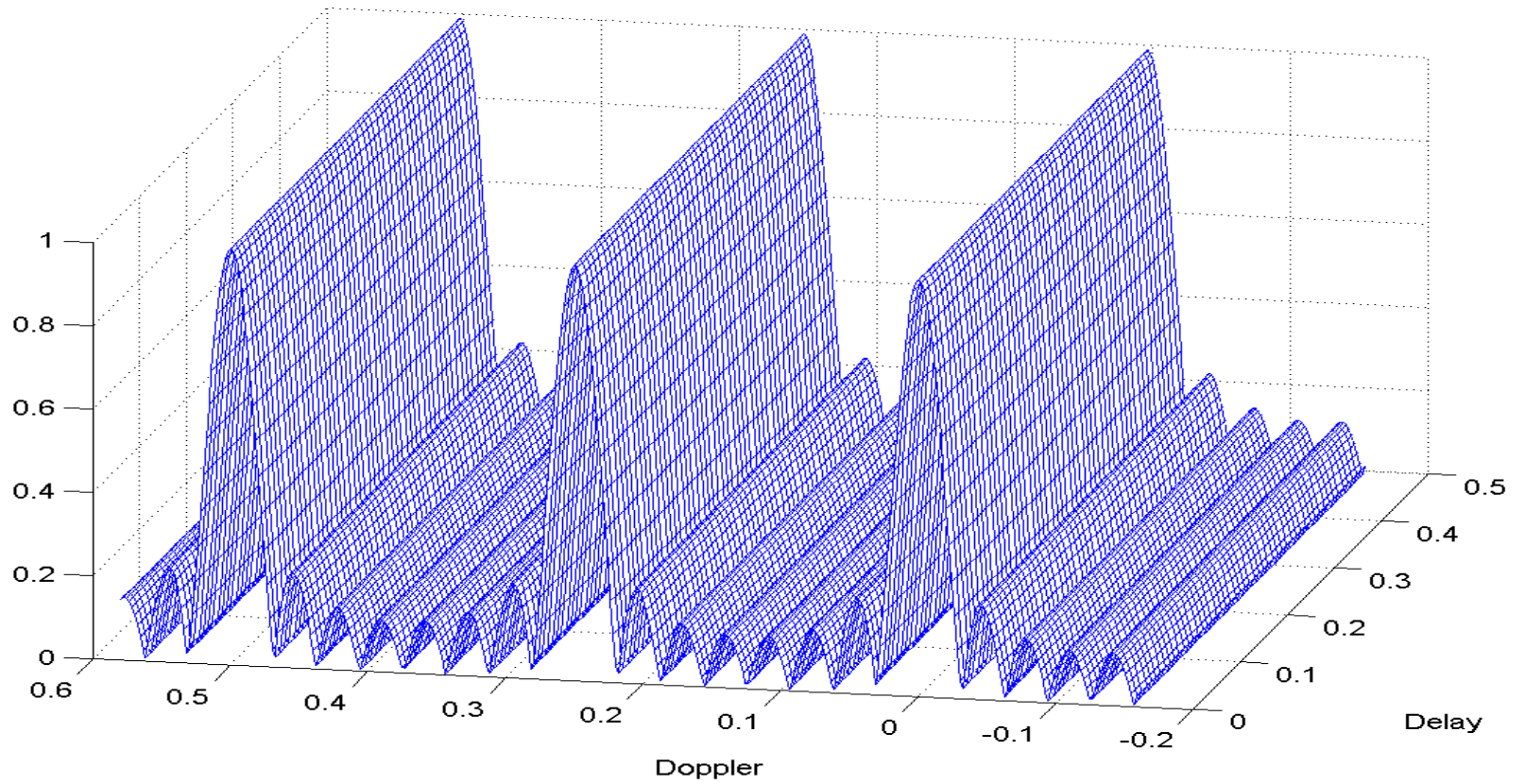
+1 or -1 for \mathbf{x} a multiple of 2π . (depending on limit)

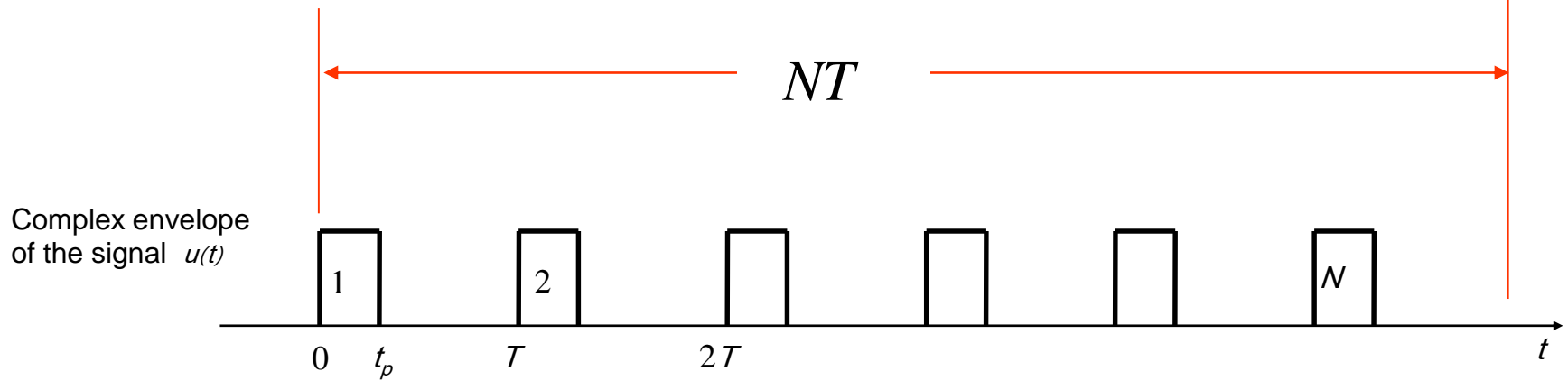
Also known as “**periodic sinc**” function or “**aliased sinc**” function.

$$x = 2\pi\nu T_r$$

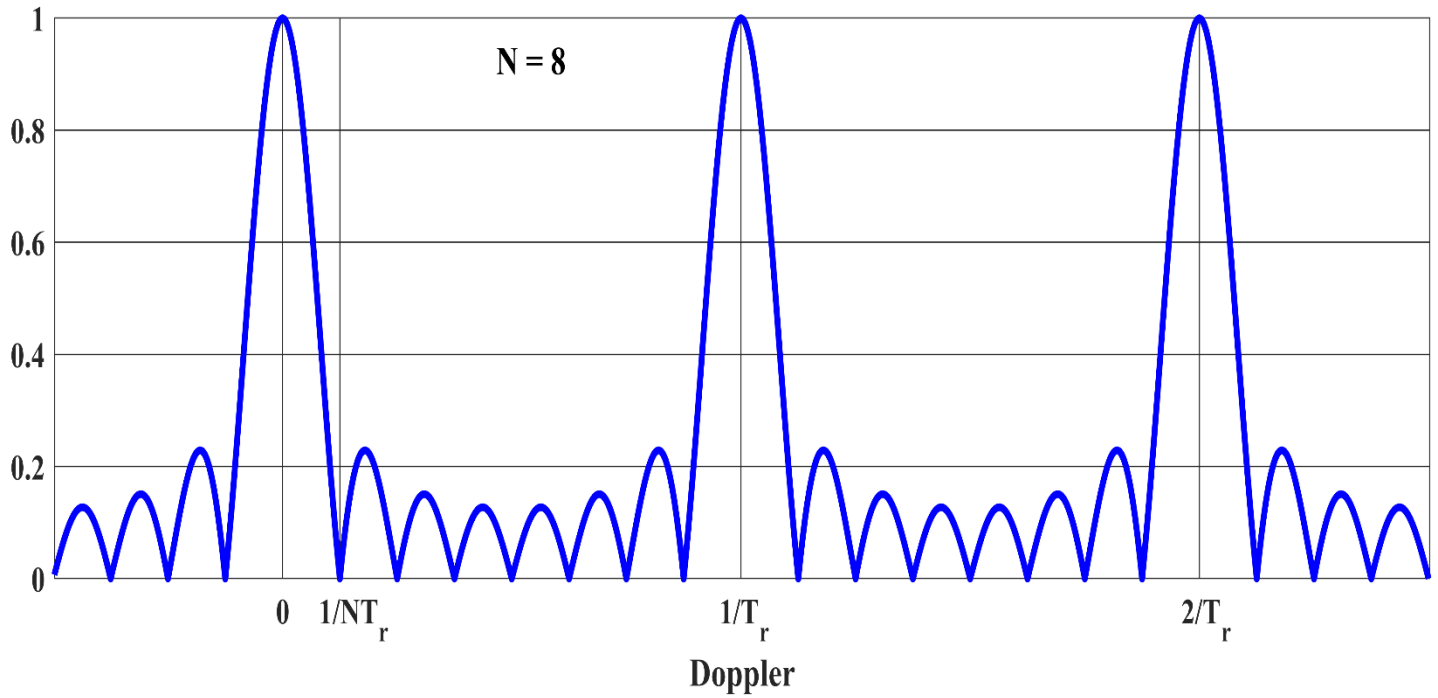
$$\left| \frac{\sin(N\pi\nu T)}{N \sin(\pi\nu T)} \right|$$

N = 8

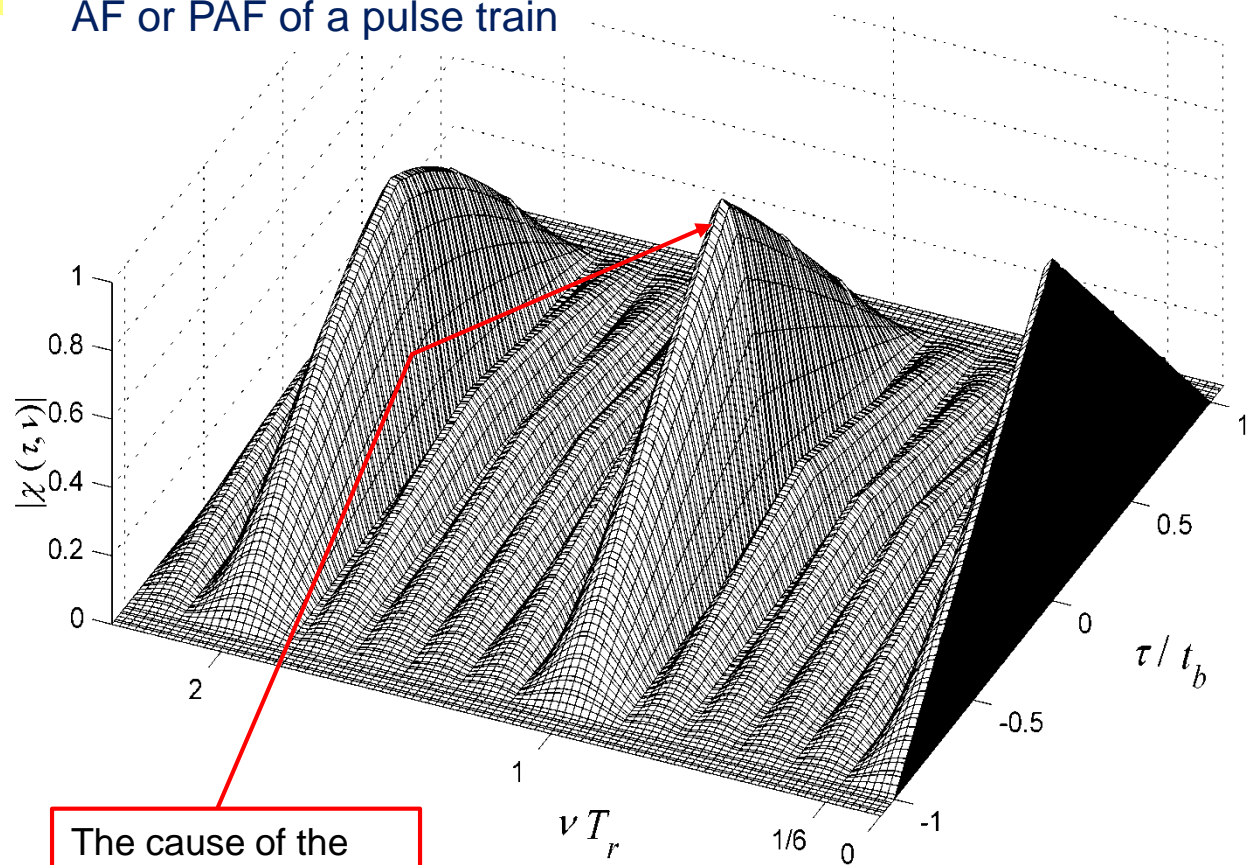




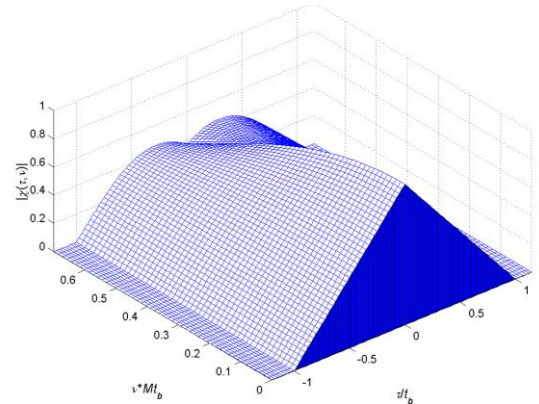
$$\left| \frac{\sin(N\pi\nu T)}{N \sin(\pi\nu T)} \right|$$



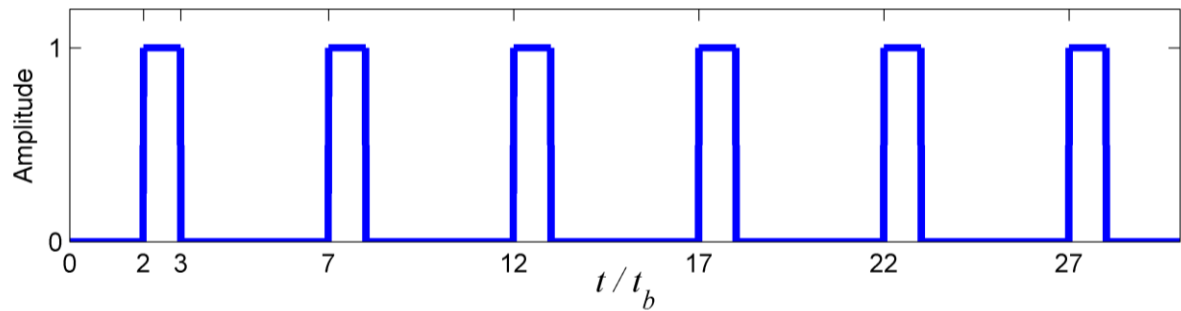
AF or PAF of a pulse train



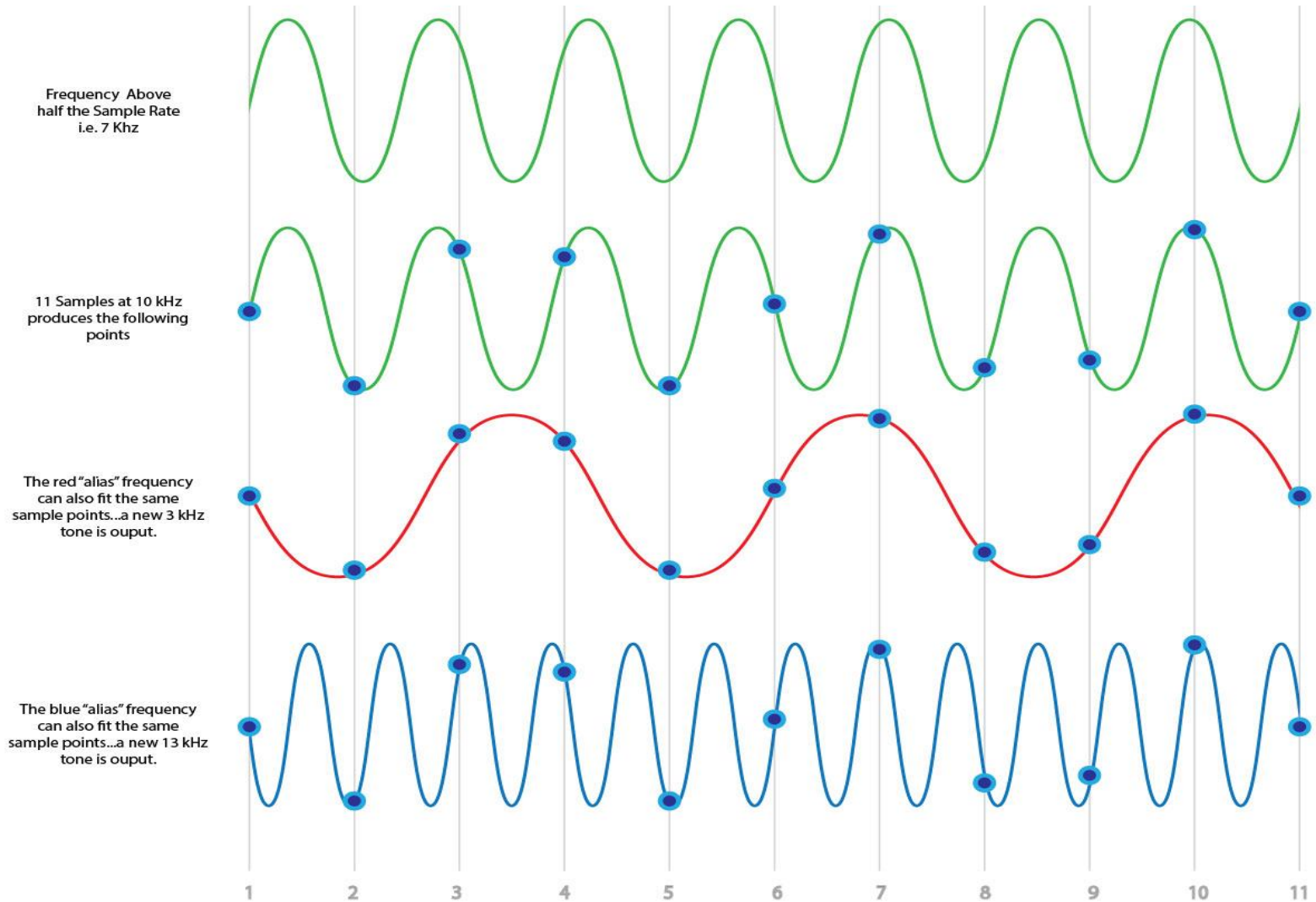
AF of a single pulse



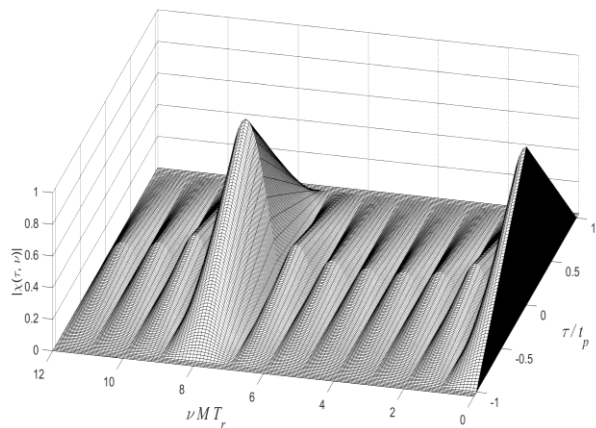
The cause of the ambiguous Doppler peak ? **Aliasing !**



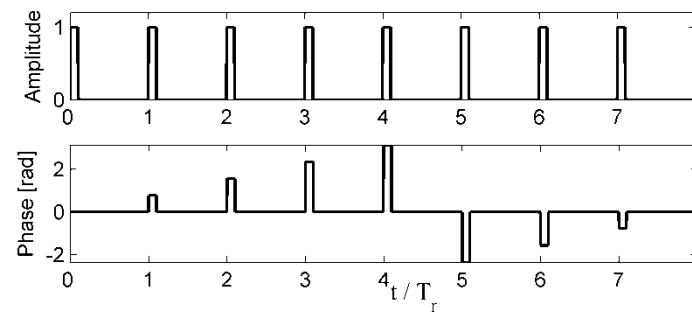
Aliasing



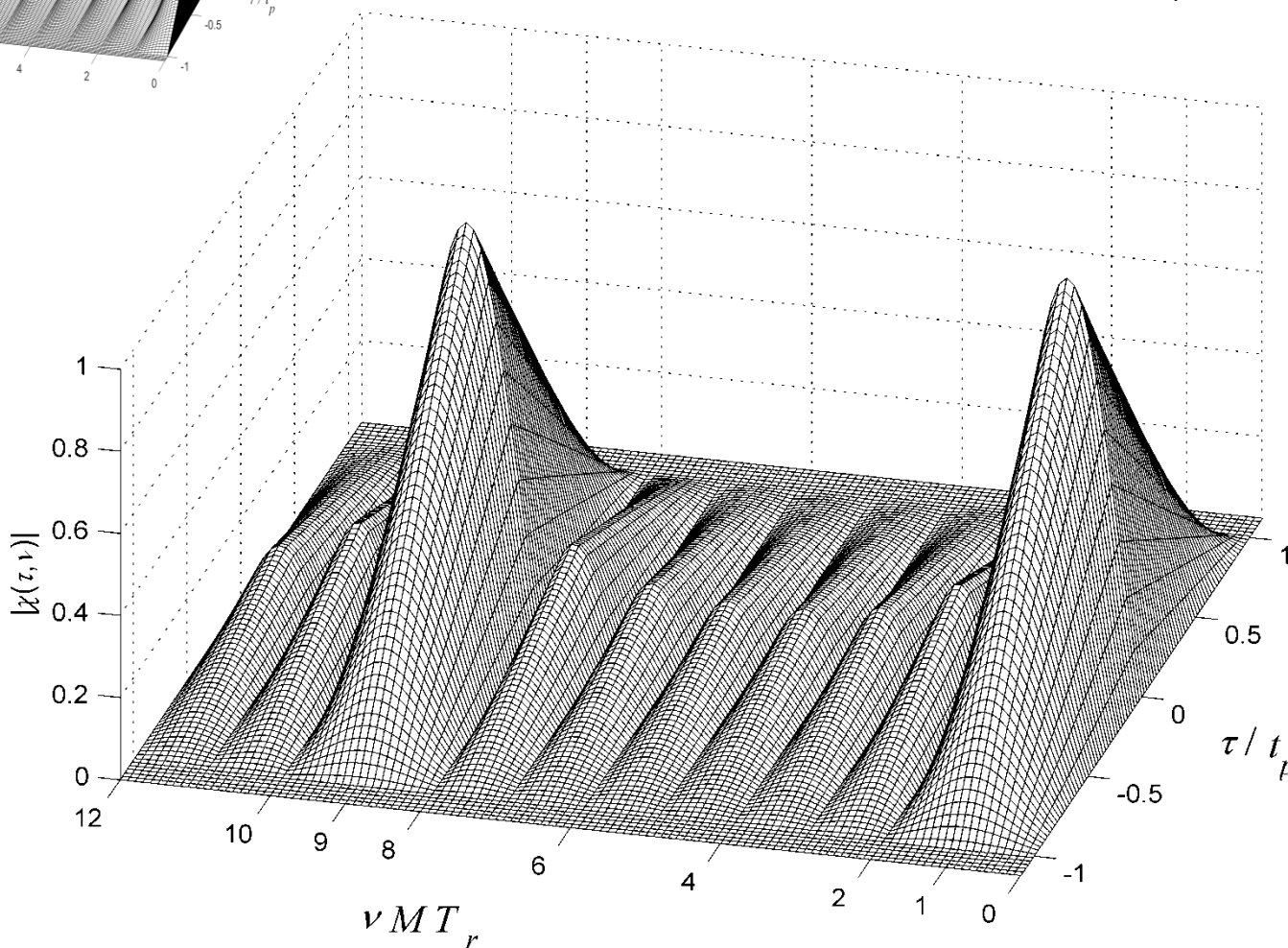
Creating a filter matched to a Doppler-shifted pulse-train return.



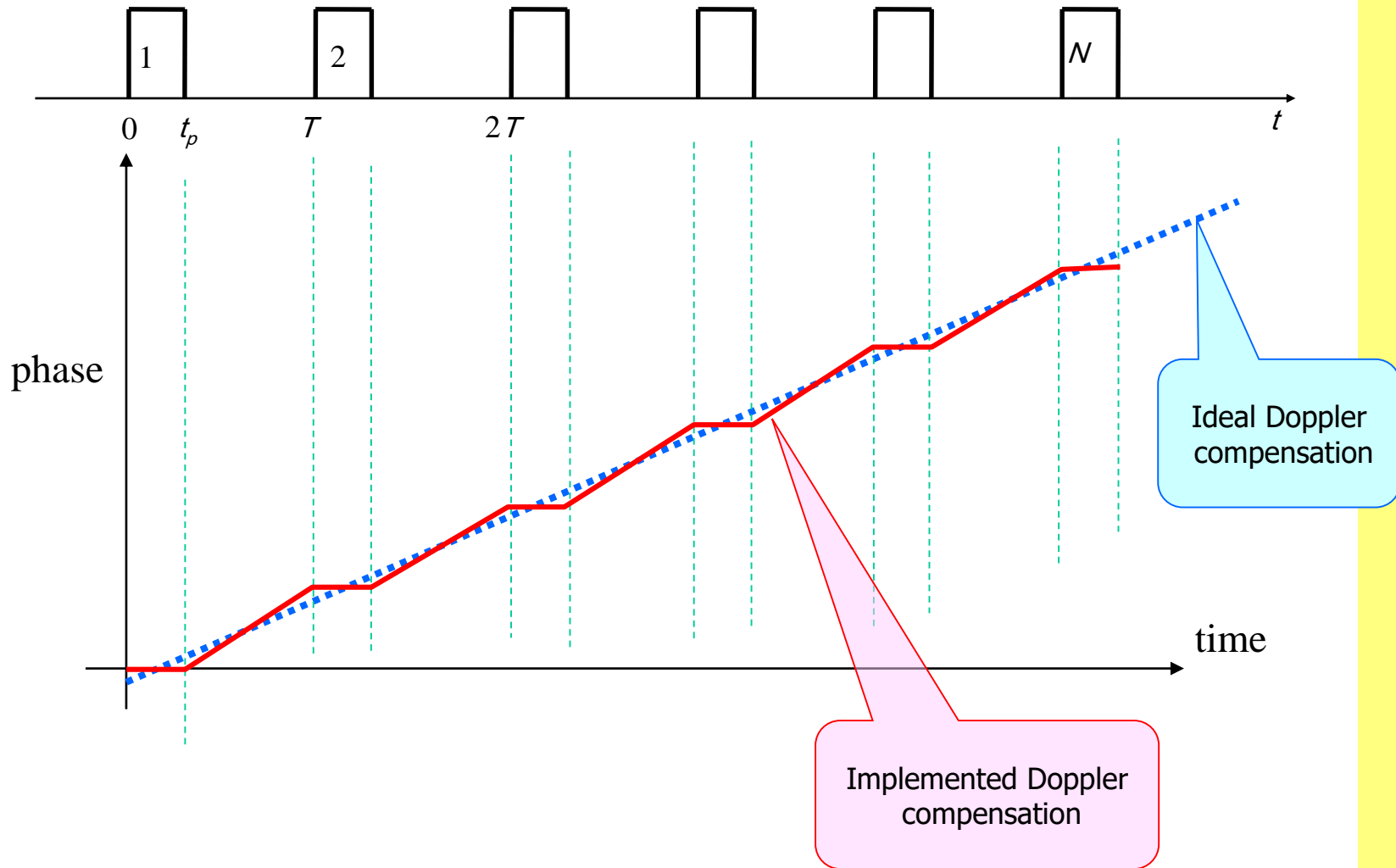
$N=8$



$N=8$



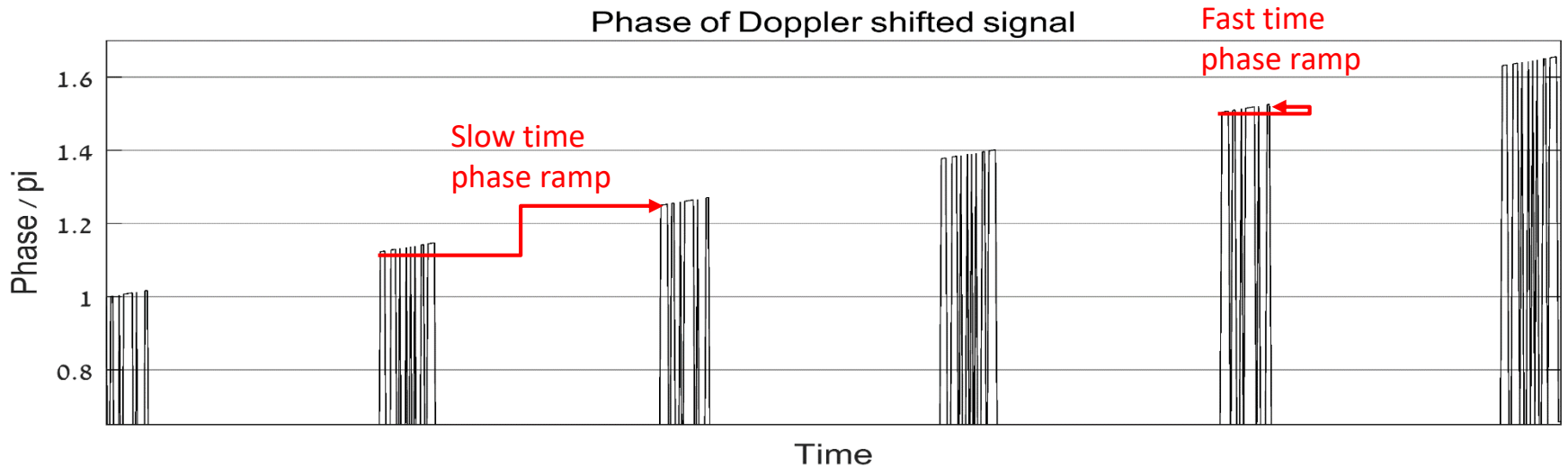
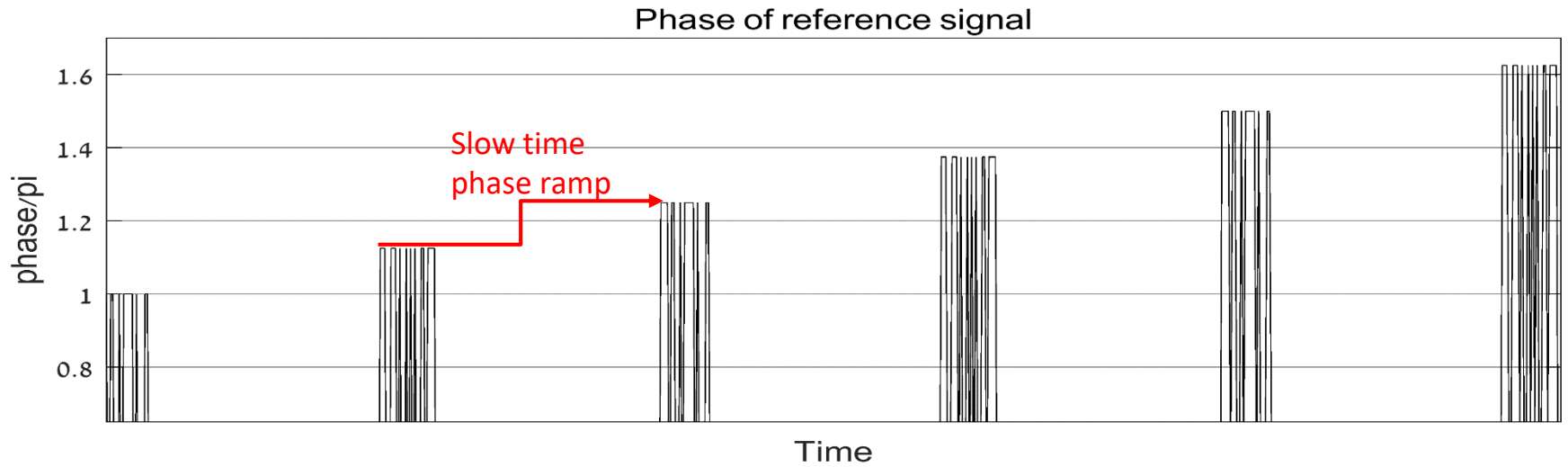
$N=8$



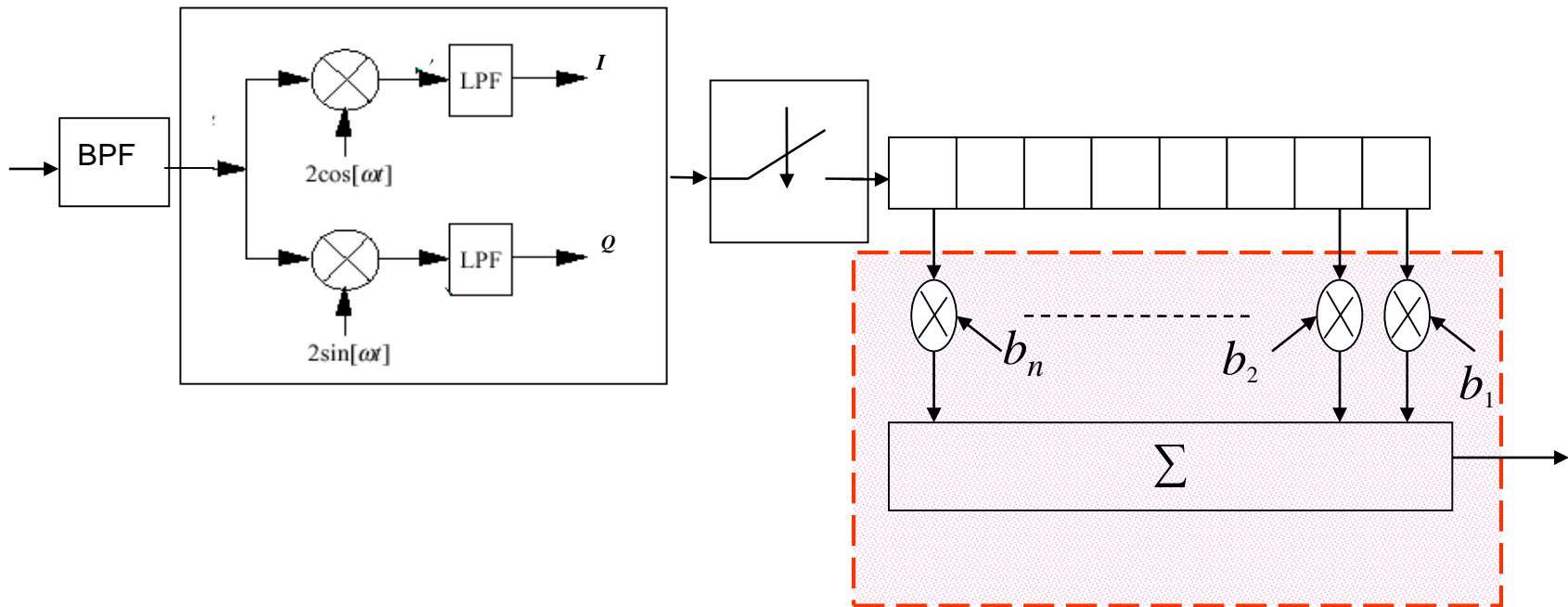
There is no Doppler compensation within each pulse.
Hence, performances degrade with Doppler.

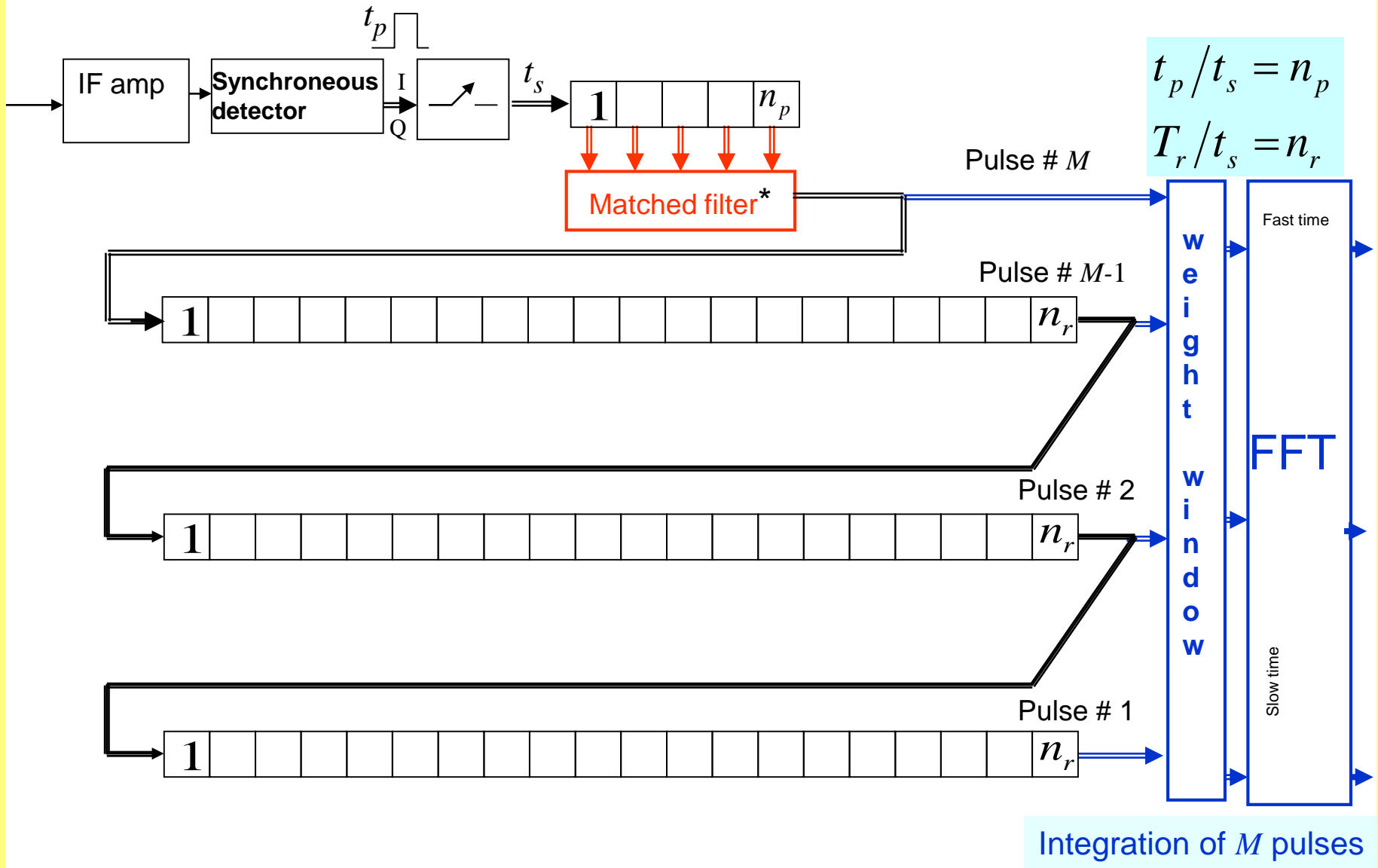
Mitigation: Add **Fast Time Doppler Compensation (FTDC)**

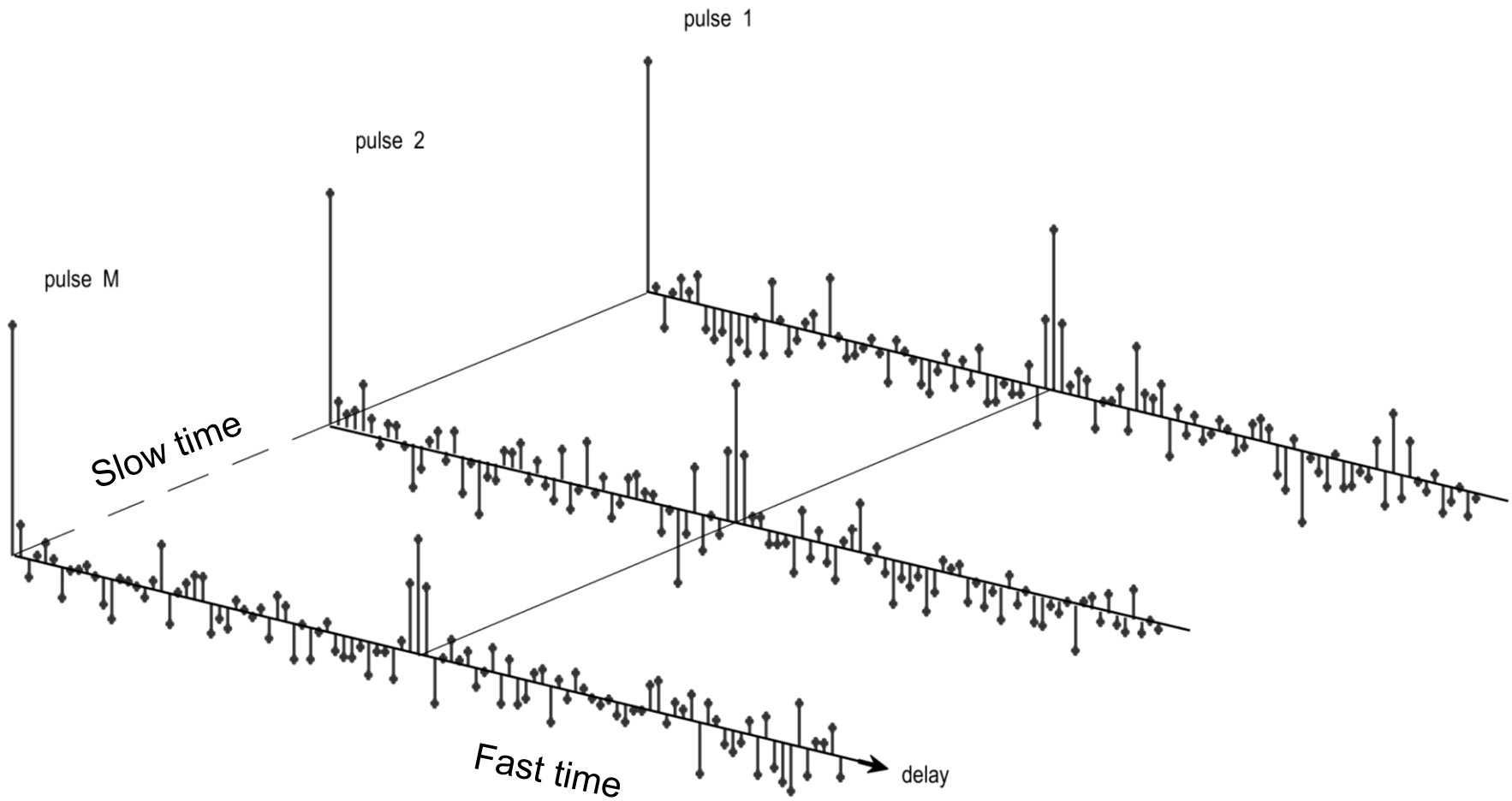
Range sidelobe's sensitivity to Doppler



Synchronous detection and matched filtering





Returns from M consecutive pulses (I component)

שאלה

סעיף זה של השאלה עוסק בעיבוד דופלר ע"י FFT של החזרי רכבת פולסים הנקלטים במכ"ם קוהרנטי. טבלה 1 מציגה את הדגימות הקומפלקסיות של החזורים המתקבלים מ 8 השהיות עוקבות (השורות) עבור 16 פולסים עוקבים (העמודות). להשגת פשטות נבחר בכל השהיות ובכל הפולסים החזר רקע זהה (גם בעצמה וגם בפאסה) שערכו הקומפלקסי $= 1$. רק בחלון השהיה מס. 12 נוסף לרקע האחד גם החזר ממטרה נעה במהירות רדיאלית קבועה. עצמת החזר מהמטרה היא קבועה ($= 1$) ורק הפאסה שלו משתנה מפולס לפולס, כרשום בטבלה 1.

TABLE 1	Complex input data from 16 consecutive pulses															
Pulse #	1	2	3	4	5	6	7	8	9	10	11	12	13	14	15	16
Delay/dt																
18	1	1	1	1	1	1	1	1	1	1	1	1	1	1	1	1
17	1	1	1	1	1	1	1	1	1	1	1	1	1	1	1	1
16	1	1	1	1	1	1	1	1	1	1	1	1	1	1	1	1
15	1	1	1	1	1	1	1	1	1	1	1	1	1	1	1	1
14	1	1	1	1	1	1	1	1	1	1	1	1	1	1	1	1
13	1	1	1	1	1	1	1	1	1	1	1	1	1	1	1	1
12	$1+e^{j0}$	$1+e^{j\pi/8}$	$1+e^{j2\pi/8}$	$1+e^{j3\pi/8}$	$1+e^{j4\pi/8}$	$1+e^{j5\pi/8}$	$1+e^{j6\pi/8}$	$1+e^{j7\pi/8}$	$1+e^{j8\pi/8}$	$1+e^{j9\pi/8}$	$1+e^{j10\pi/8}$	$1+e^{j11\pi/8}$	$1+e^{j12\pi/8}$	$1+e^{j13\pi/8}$	$1+e^{j14\pi/8}$	$1+e^{j15\pi/8}$
11	1	1	1	1	1	1	1	1	1	1	1	1	1	1	1	1
	↓	↓	↓	↓	↓	↓	↓	↓	↓	↓	↓	↓	↓	↓	↓	↓
16 inputs FFT																

החזר מהמטרה הנעה, הנמצאת בהשהיה 12, משלים תוספת מופע של 2ד בדיוק, במשך 16 הפולסים.

עבור כל השהיה (שורה בטבלה 1) מוזנים (ישירות ללא פונקציית משקול) הערכים המתאימים מ 16 הפולסים למעבד FFT בעל 16 כניסות ו 16 יציאות. מוצא ה FFT מתעדכן אחרי כל השהיה ומתקבלת טבלה 2, המציגה את הערך המוחלט של מוצאי ה FFT. התוצאה היא מפת השהייה - דופלר. **לא בהכרח**.
 בטבלה 2 חסרים הערכים המתאימים לחלון ההשהייה מס. 12.

יש לחשב את כל הערכים החסרים בשורה. יש להסביר את החישוב, ואת משמעות התוצאה שנתקבלה.
עזרה ותזכורת: במוצא עיבוד ע"י FFT המקבל N כניסות מ N פולסים עוקבים, היציאה מספר 0 איננה מקזות שום הסט דופלר (רמפת פאסה) אלא פשוט מסכמת את N הכניסות. יציאה מספר 1 מקזות הסט דופלר המשלים בדיוק מחזור דופלר אחד במשך N הפולסים (בלומר רמפת פאסה המשלימה 2π במשך N הפולסים). יציאה מספר 2 מקזות הסט דופלר המשלים בדיוק 2 מחזורי דופלר במשך N הפולסים, וכן הלאה.

TABLE 2	Doppler cell Output data after 16 input FFT: Absolute intensities															
Doppler filter #	0	1	2	3	4	5	6	7	8	9	10	11	12	13	14	15
Delay/dt																
18	16	0	0	0	0	0	0	0	0	0	0	0	0	0	0	0
17	16	0	0	0	0	0	0	0	0	0	0	0	0	0	0	0
16	16	0	0	0	0	0	0	0	0	0	0	0	0	0	0	0
15	16	0	0	0	0	0	0	0	0	0	0	0	0	0	0	0
14	16	0	0	0	0	0	0	0	0	0	0	0	0	0	0	0
13	16	0	0	0	0	0	0	0	0	0	0	0	0	0	0	0
12	16	16	0	0	0	0	0	0	0	0	0	0	0	0	0	0
11	16	0	0	0	0	0	0	0	0	0	0	0	0	0	0	0

תרומת הרקע הנייח.
 זהה בכל ההשהיות.

תרומת המטרה

תשובה מילולית :

ה FFT מבצע פעולה לינארית ולכן אפשר להפריד הפעולה על הרקע הקבוע בחלון השהיה 12, שהיא זהה למה שקורה בשאר חלונות השהיה. כלומר סיכום 16 ערכים של 1. לבין הפעולה על ההחזר מהמטרה. רמפת הפאסה עקב המטרה מתאימה בדיוק לקיזוז שמבצע ה FFT כשהוא יוצר את מוצא ה FFT מס. 1. אחרי הקיזוז מתבצע גם כאן סיכום 16 ערכים של 1 ולכן המוצא המתאים לדופלר 1 יהיה גם הוא שווה ל 16.

תשובה מבוססת על נוסחאת ה FFT :

ב FFT בעל N כניסות $x[n], n = 0, 1, 2, \dots, N-1$ ו N יציאות $X[k], k = 0, 1, 2, \dots, N-1$

$$X[k] = \sum_{n=0}^{N-1} x[n] \exp(-j2\pi k n/N) \quad \text{היציאה ה } k \text{ נתונה ע"י:}$$

בכל ההשהיות, מלבד בהשהיה ה-12, כל 16 הכניסות ל FFT הן פאזור קבוע בעוצמה ובפאסה הנתון ע"י 1. ובהן מתקיים לכן:

$$X[0] = \sum_{n=0}^{16-1} 1 \cdot \exp(-j0) = \mathbf{16} \quad , \quad X[k] = \sum_{n=0}^{16-1} 1 \cdot \exp(-j2\pi k n/16) = \mathbf{0}, \quad k = 1, 2, \dots, 15$$

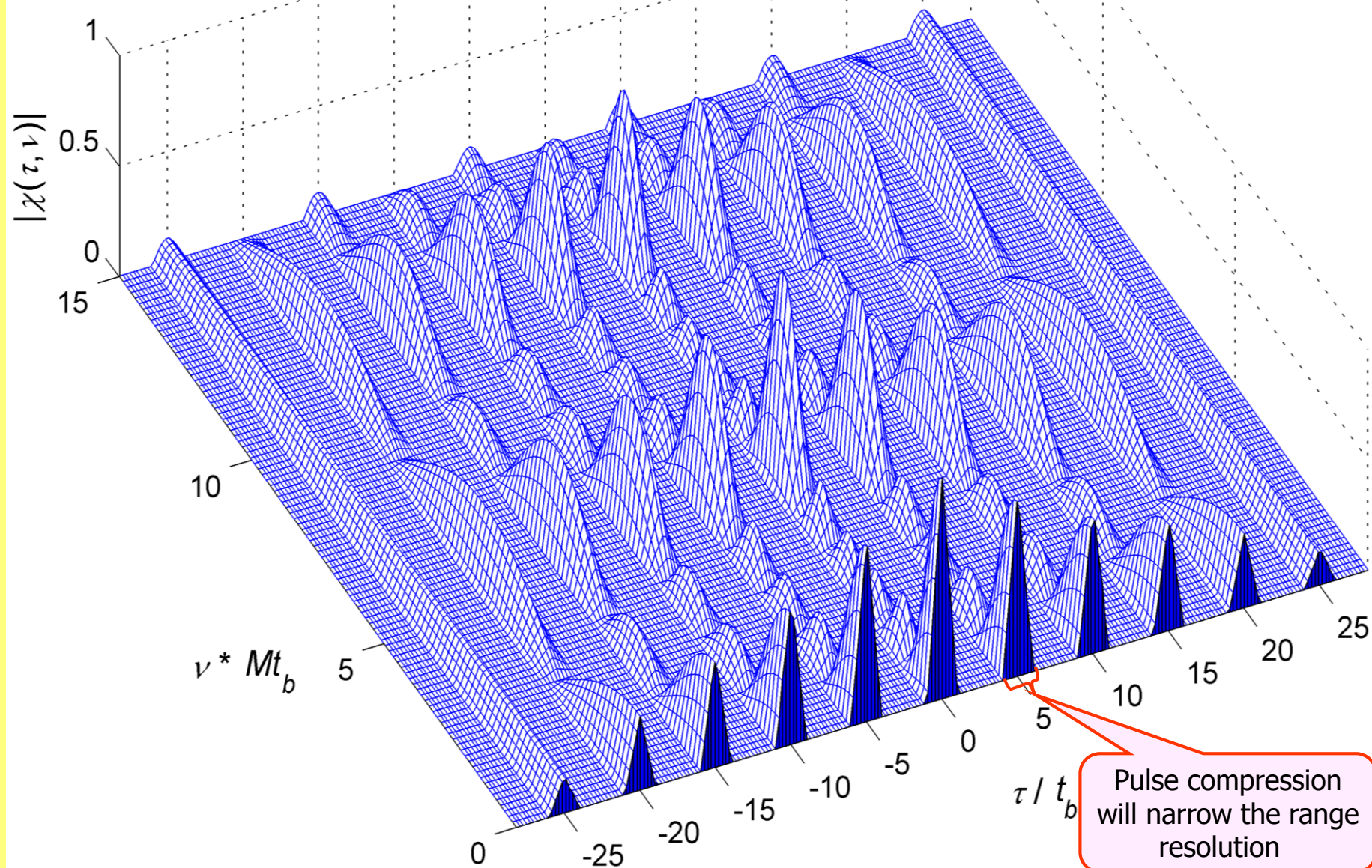
בהשהיה ה-12 נתון כי 16 דגימות הכניסה ל FFT נתונות ע"י: $x[n] = 1 + \exp(j2\pi n/16), n = 0, 1, 2, \dots, 15$

הצבתן במשוואת ה FFT תתן:

$$X[k] = \sum_{n=0}^{15} [1 + \exp(j2\pi n/16)] \exp(-j2\pi k n/16) = \begin{cases} \mathbf{16} & k = 0, 1 \\ \mathbf{0} & k = 2, 3, \dots, 15 \end{cases}$$

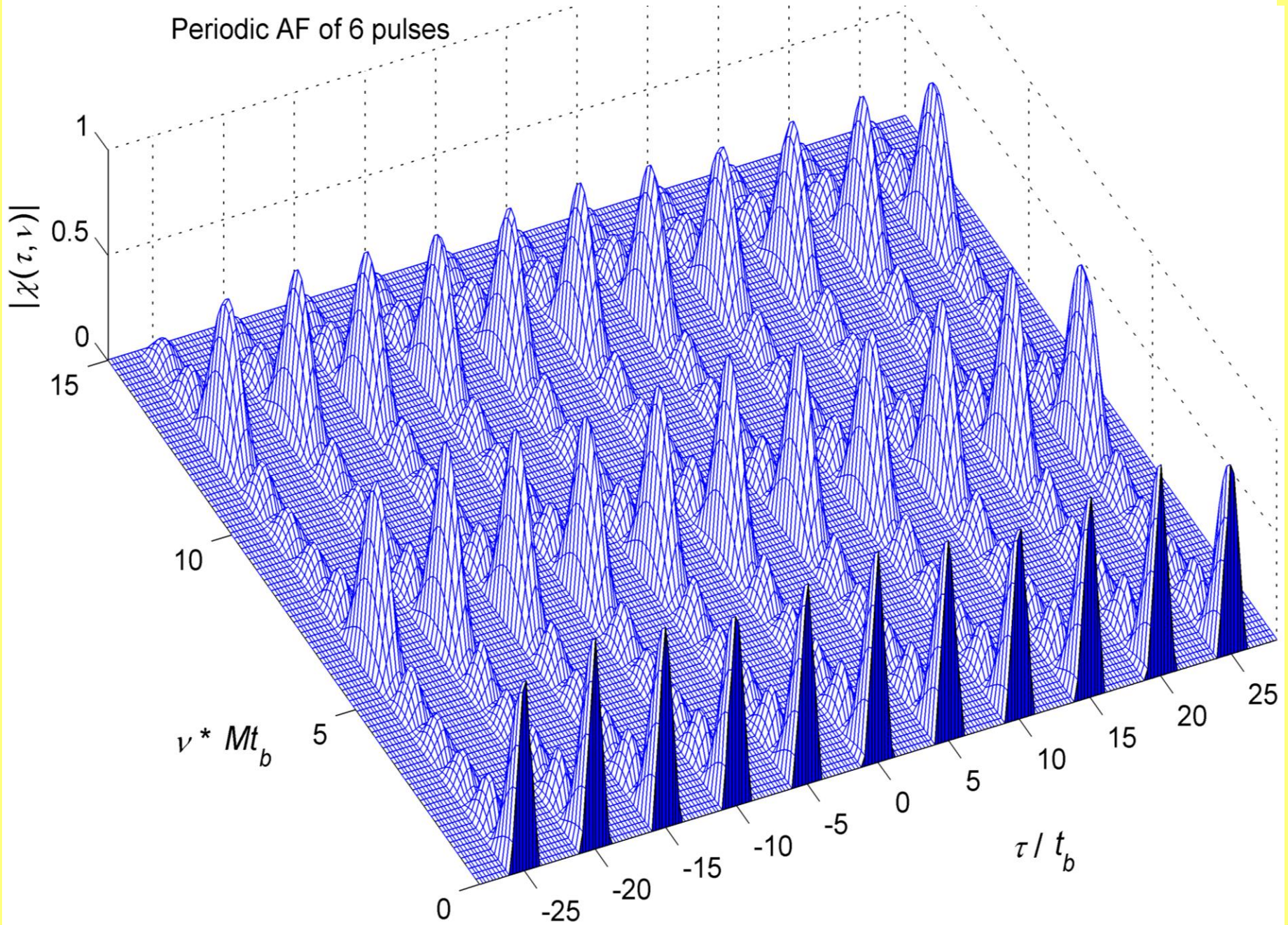
AF of 6 unmodulated pulses

Ambiguity function of 6 uncompressed pulses

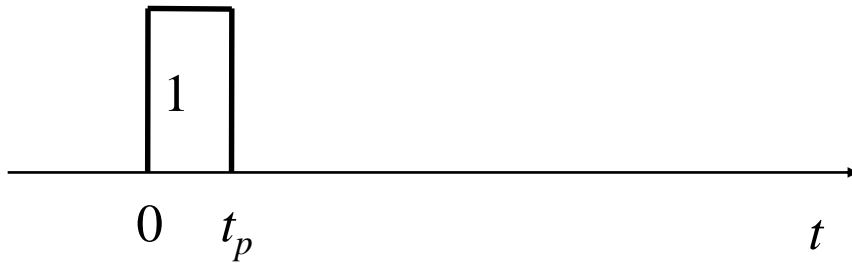


Pulse compression will narrow the range resolution

Periodic AF of 6 pulses



Numerical Example

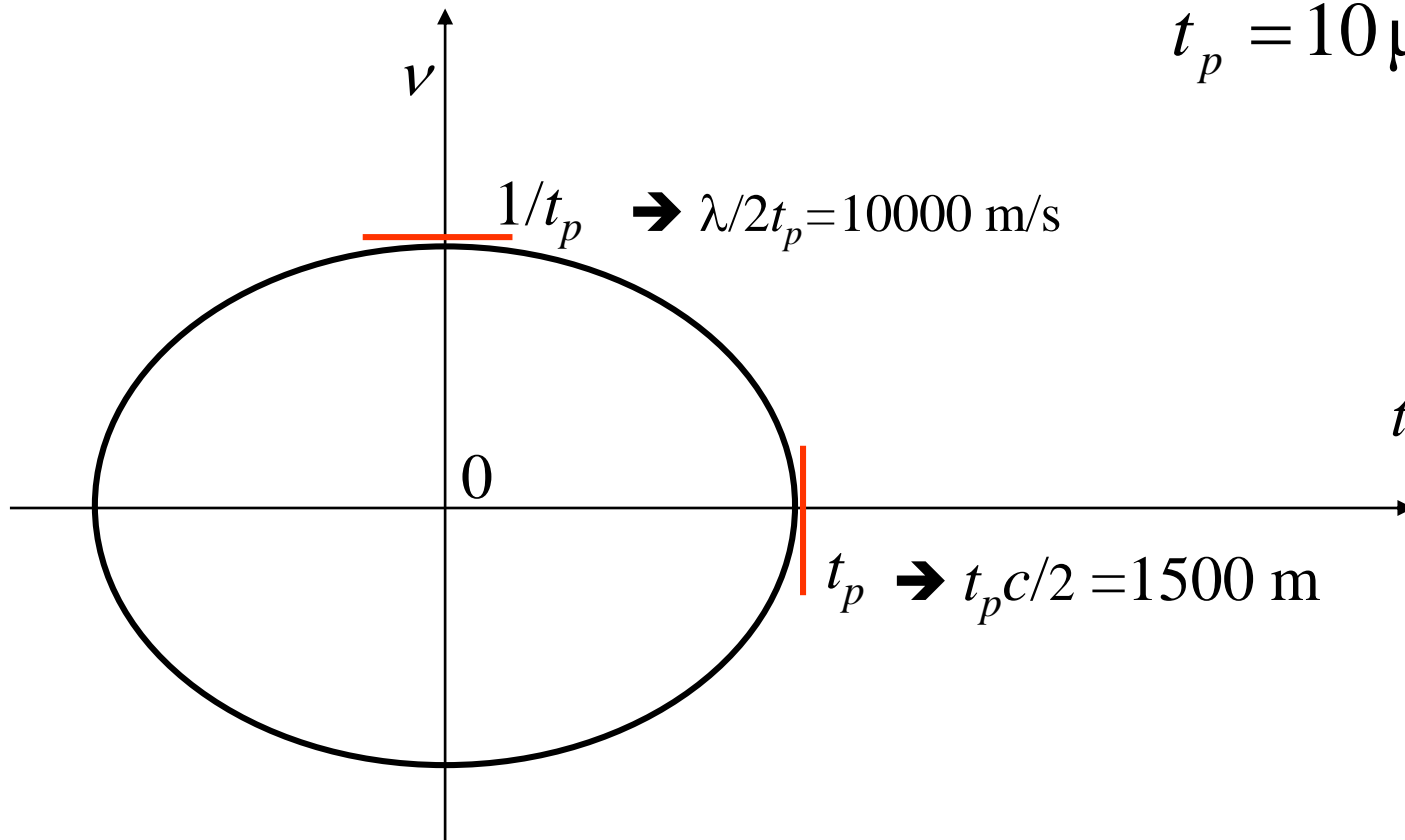


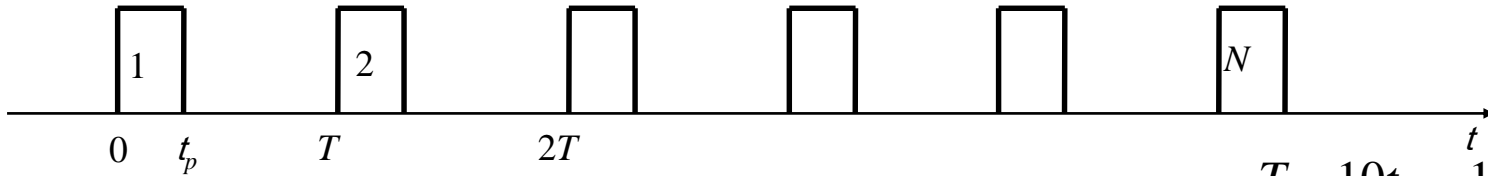
Single unmodulated pulse

$$f_c = 1500 \text{ MHz}$$

$$\lambda = 0.2 \text{ m}$$

$$t_p = 10 \mu \text{ sec}$$

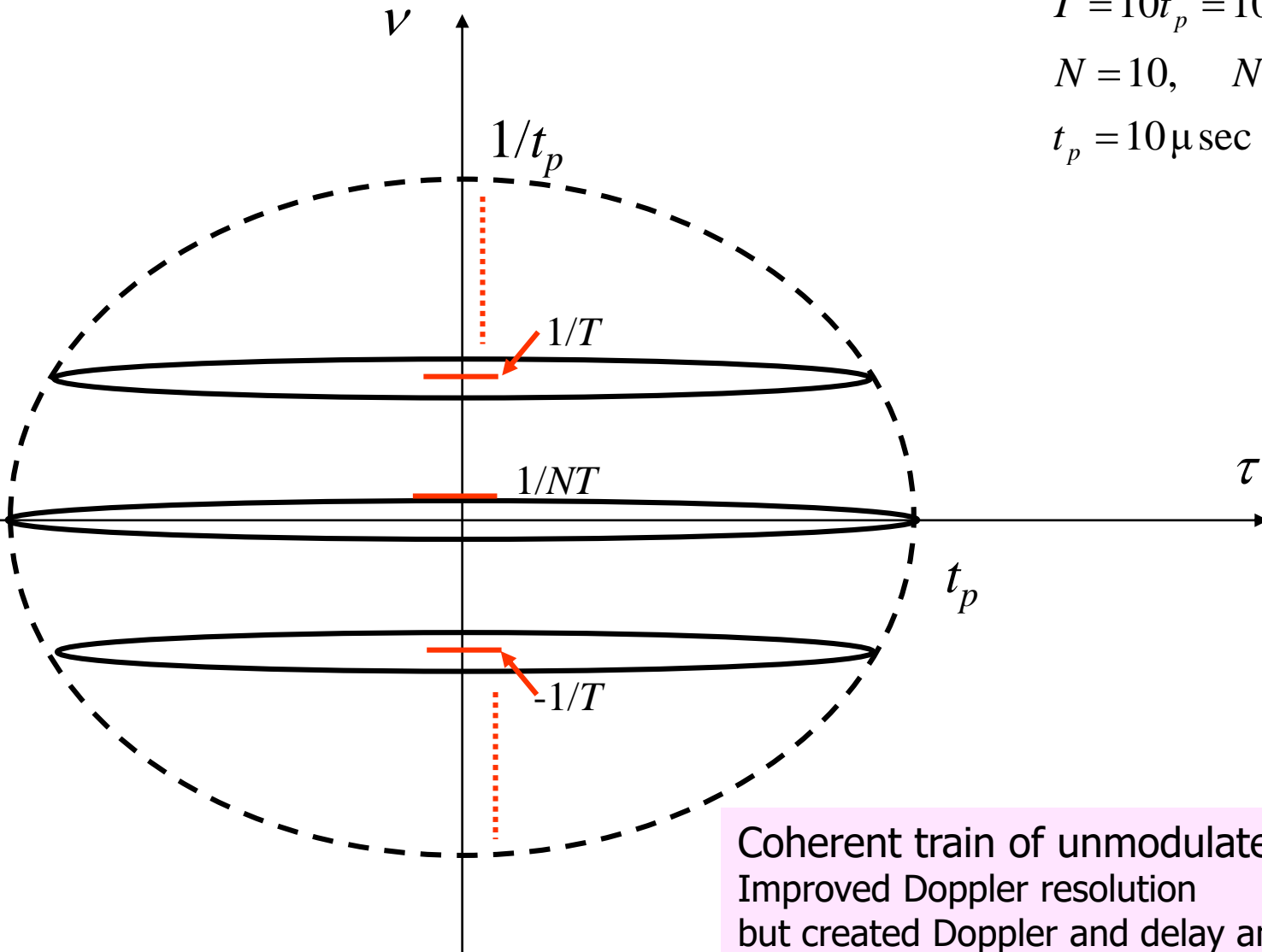




$$T = 10t_p = 100 \mu \text{ sec}$$

$$N = 10, \quad NT = 1000 \mu \text{ sec}$$

$$t_p = 10 \mu \text{ sec}$$



Coherent train of unmodulated pulses:
Improved Doppler resolution
but created Doppler and delay ambiguities

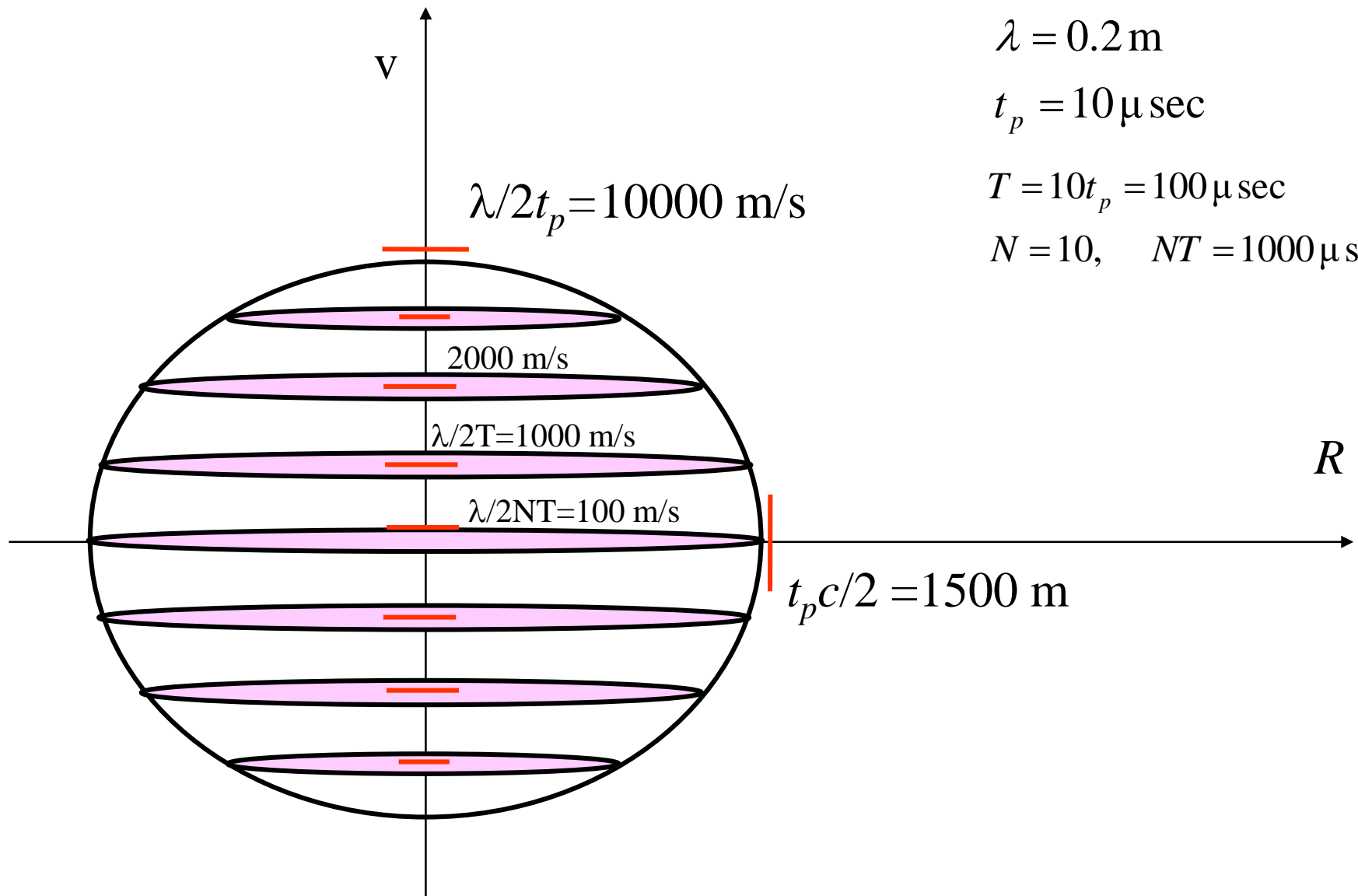
$$f_c = 1500 \text{ MHz}$$

$$\lambda = 0.2 \text{ m}$$

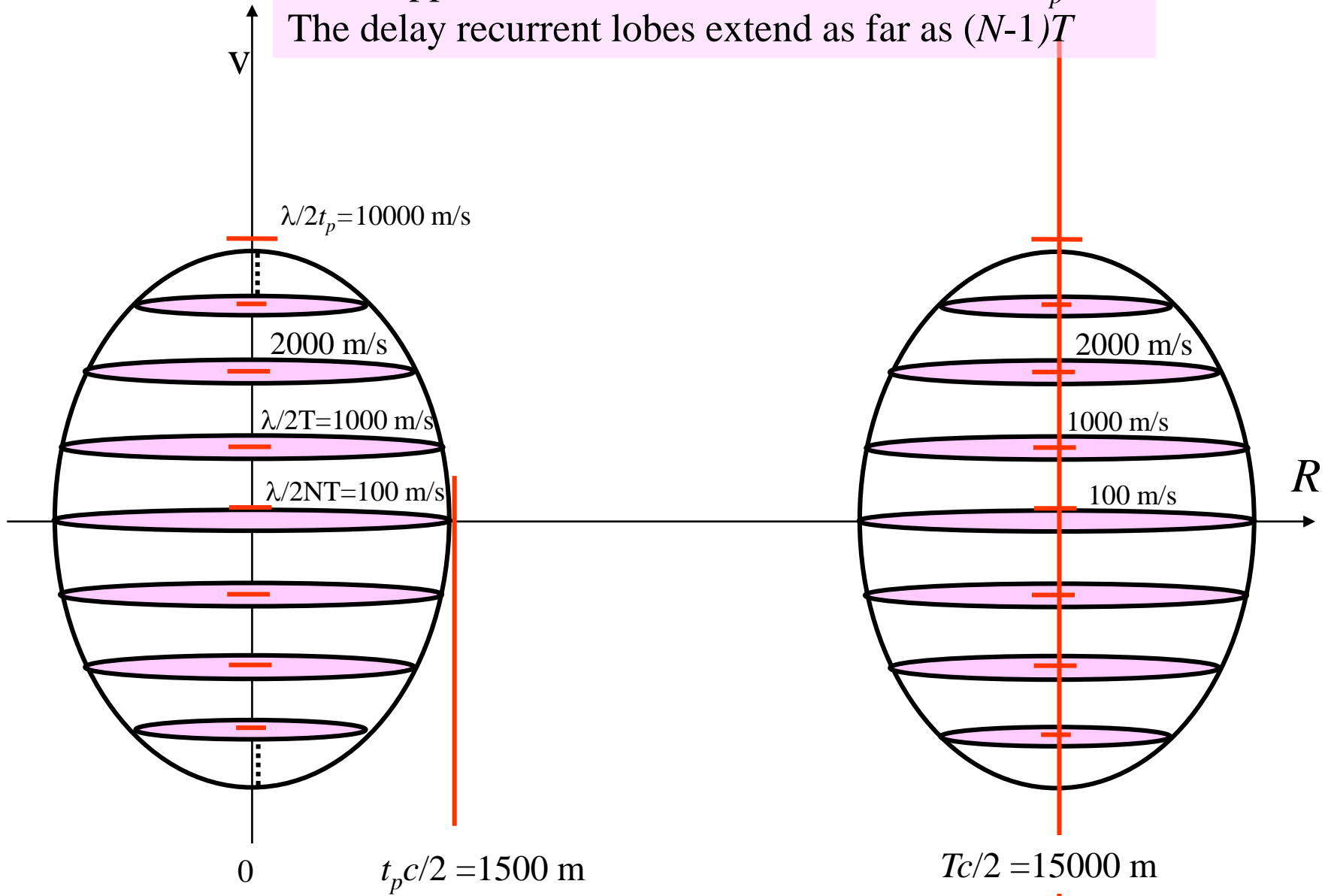
$$t_p = 10 \mu\text{sec}$$

$$T = 10t_p = 100 \mu\text{sec}$$

$$N = 10, \quad NT = 1000 \mu\text{sec}$$

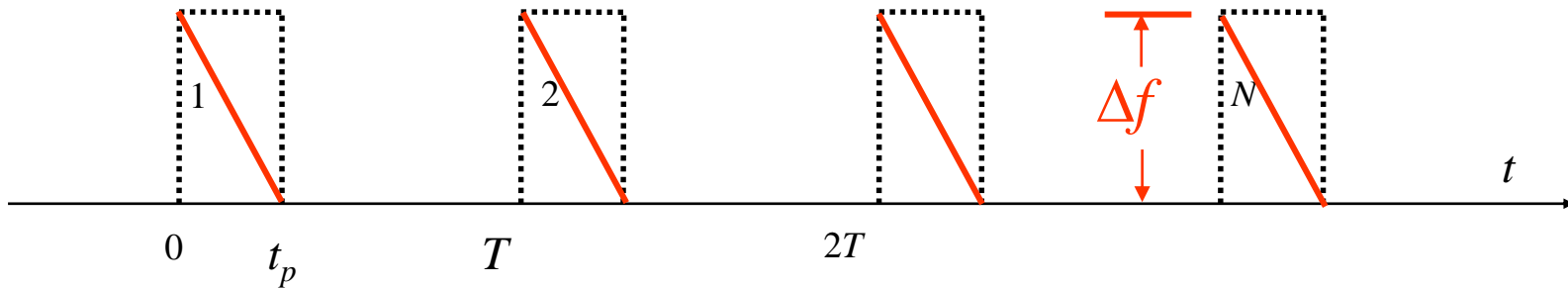


The Doppler recurrent lobes extend as far as $1/t_p$
 The delay recurrent lobes extend as far as $(N-1)T$



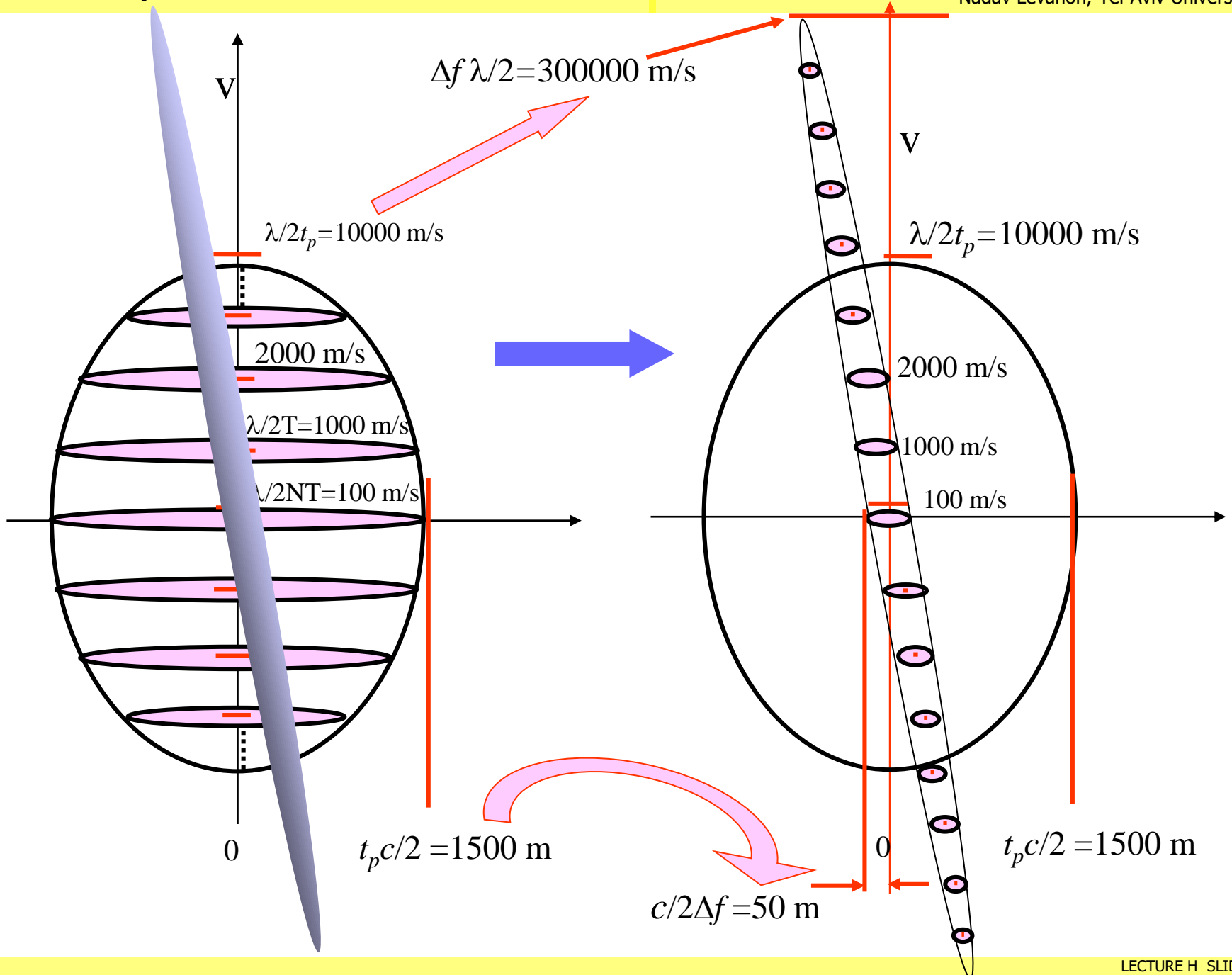
L F M

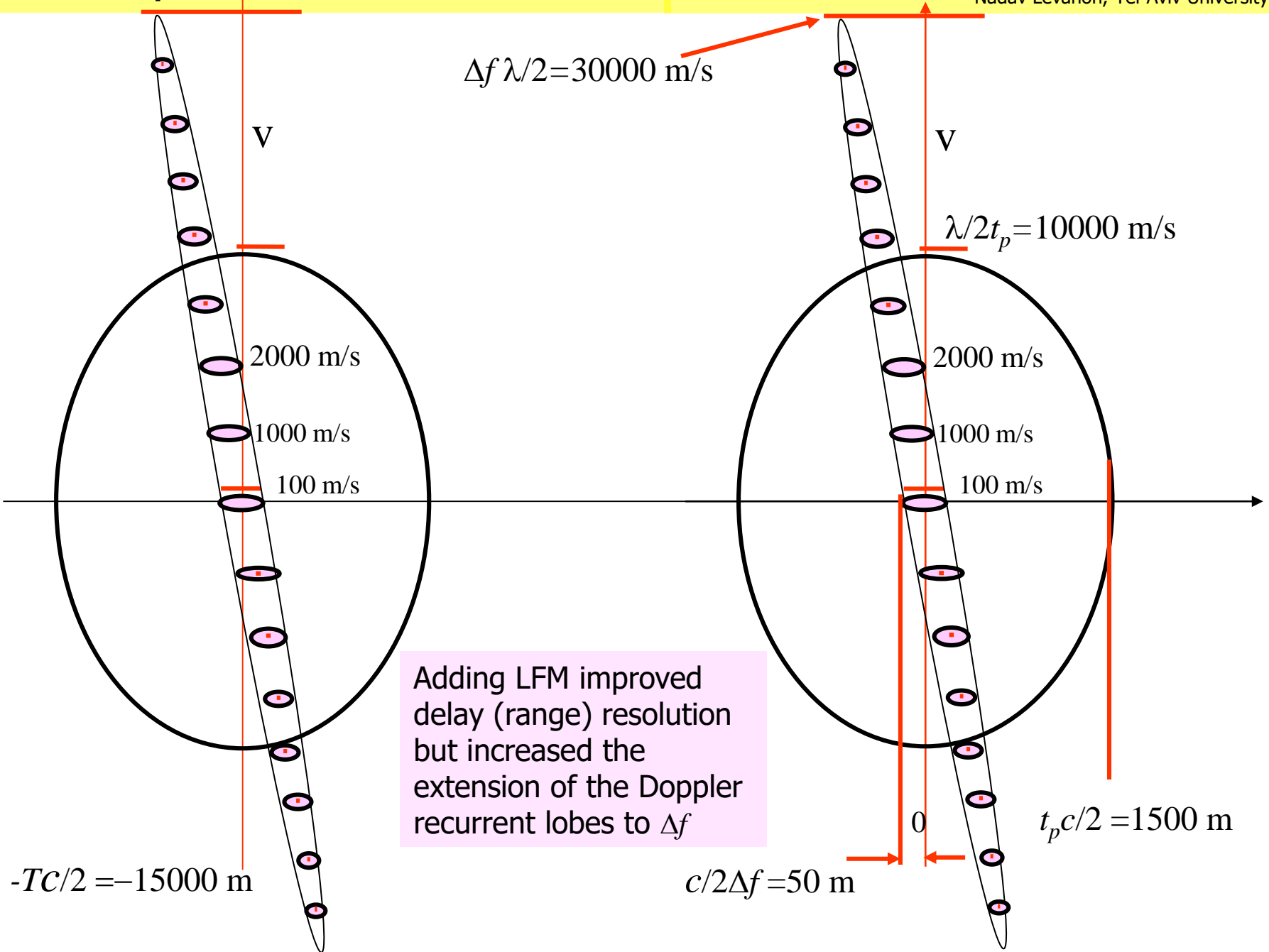
is added



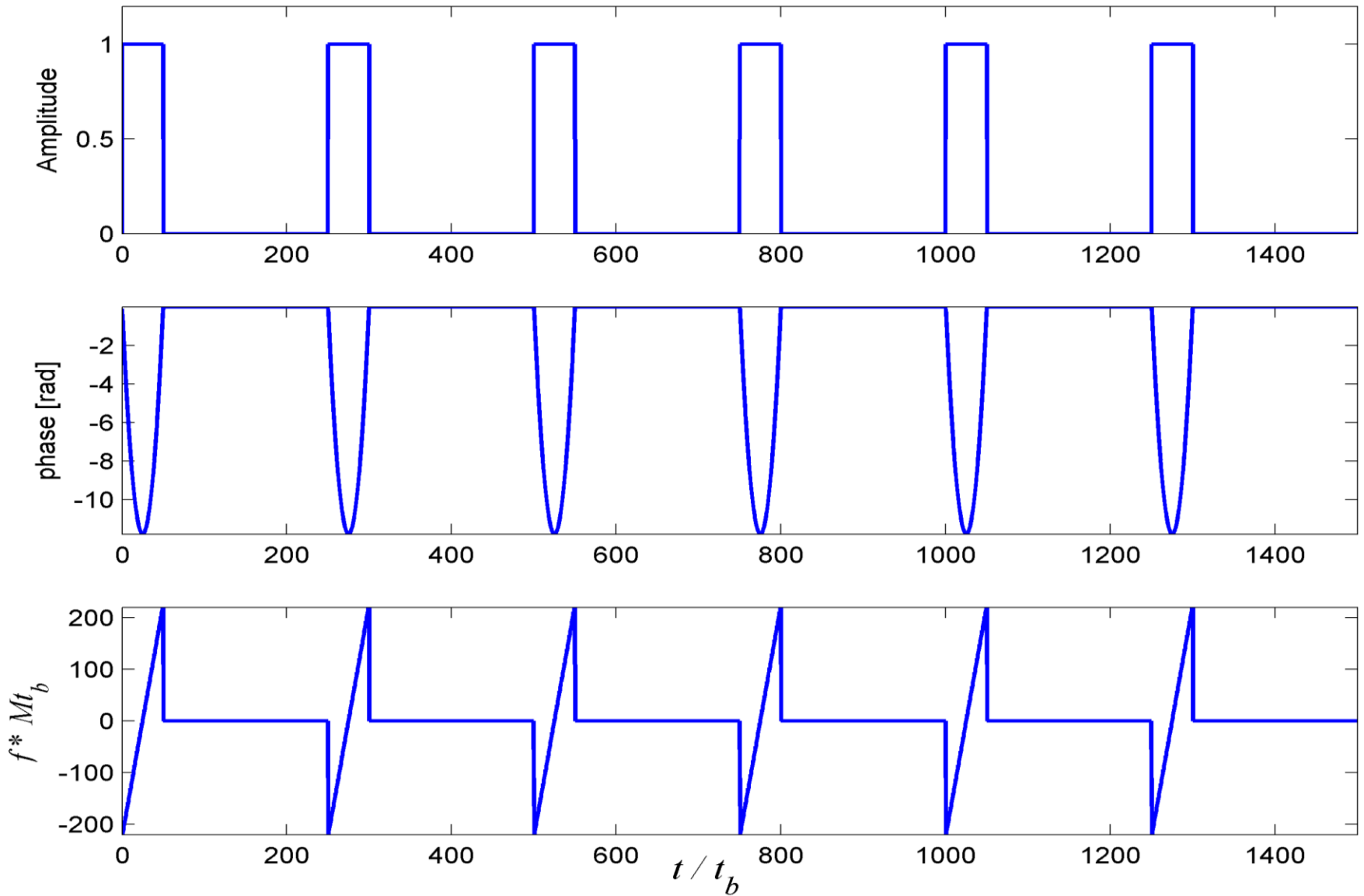
$$\text{Compression ratio} = t_p \Delta f = 30$$

$$\Delta f = 30 / t_p = 30 / 10^{-5} = 3 \text{ MHz}$$

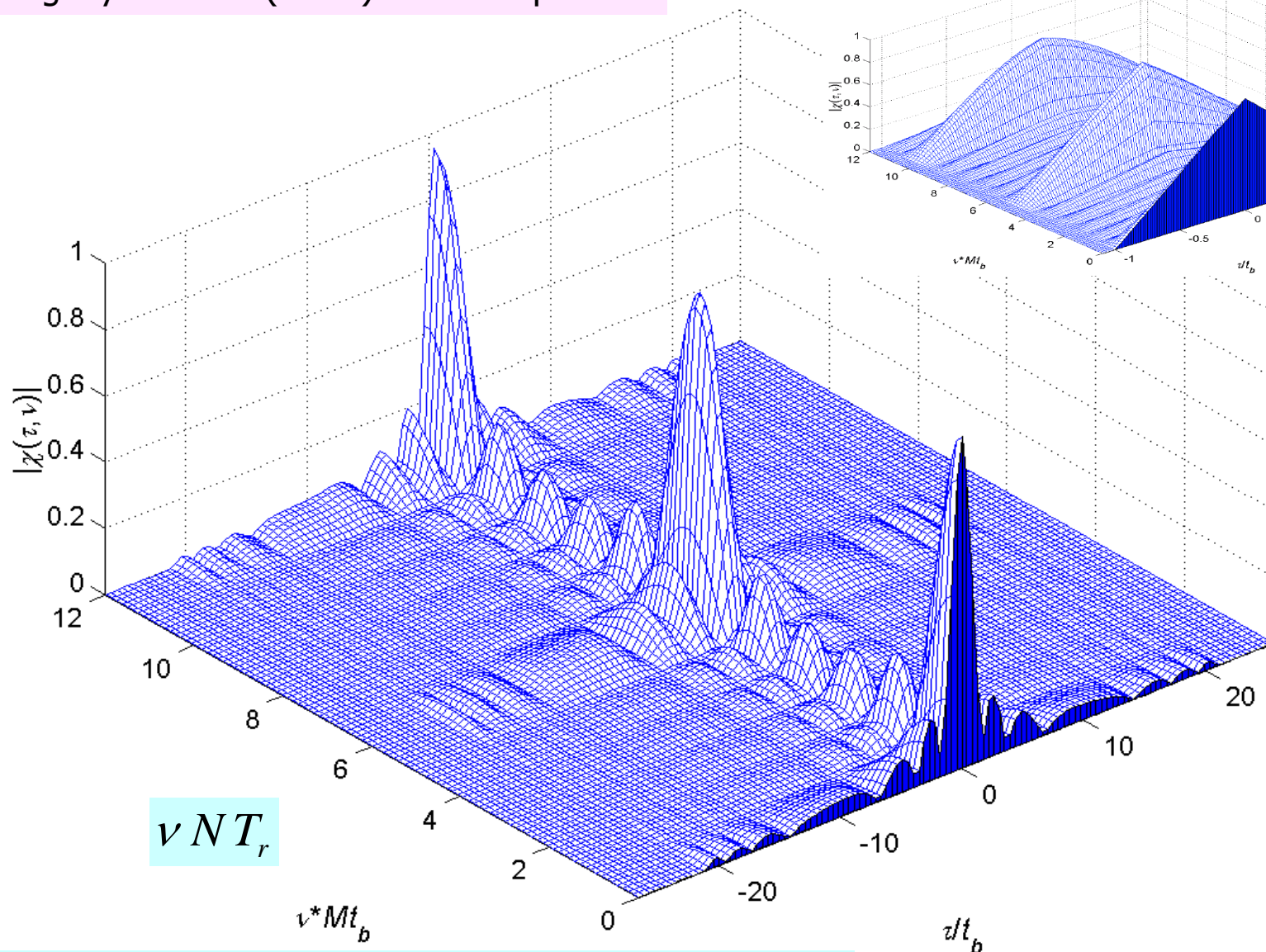




TRAIN OF 6 LFM PULSE



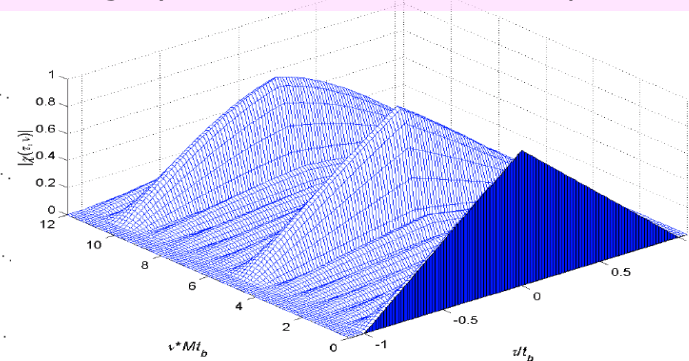
Ambiguity function (zoom) of 6 LFM pulses



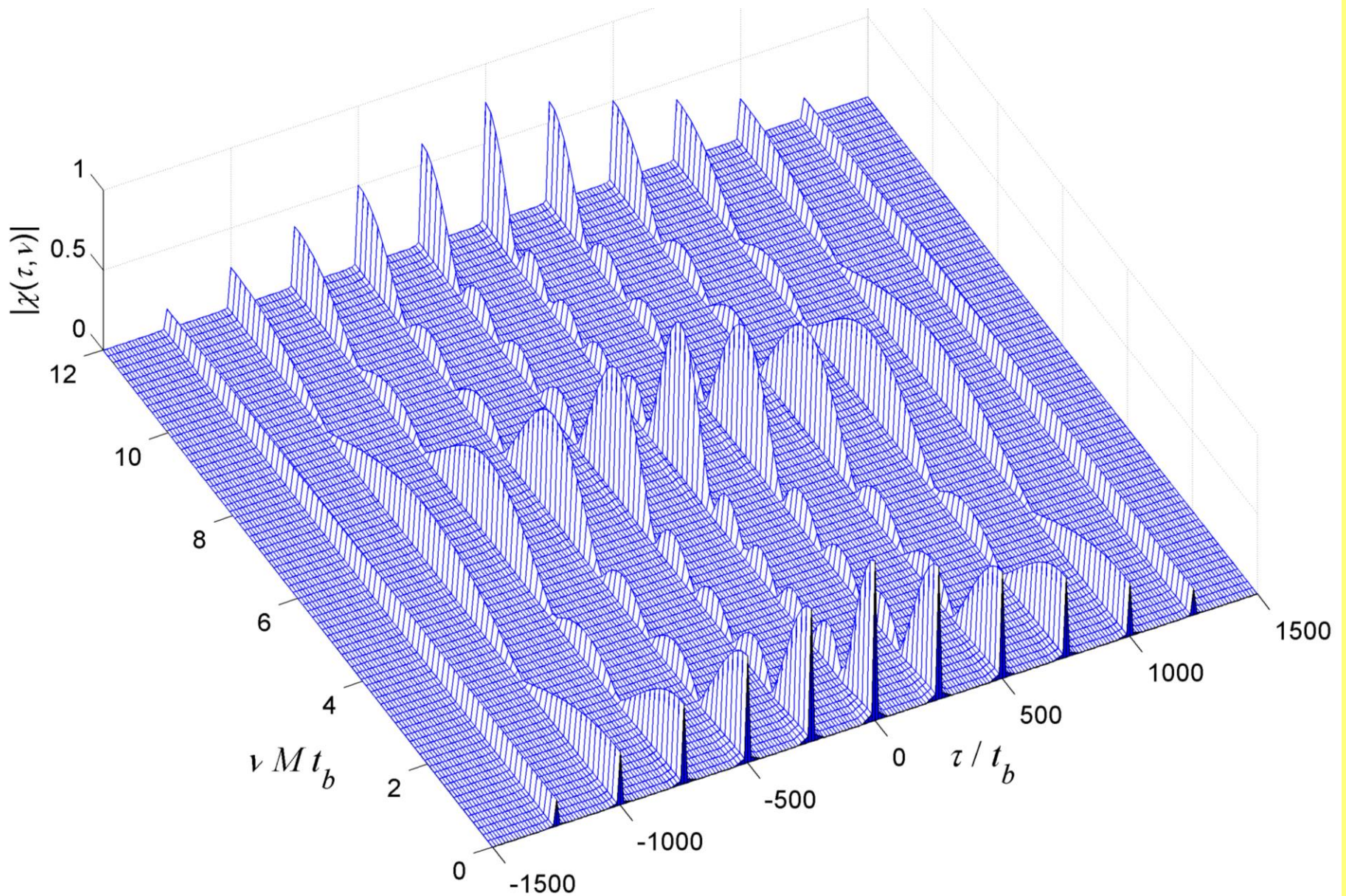
$$\nu N T_r$$

$$\nu N T_r = 6, \quad N = 6 \Rightarrow \nu T_r = 1 \Rightarrow \nu = 1/T_r$$

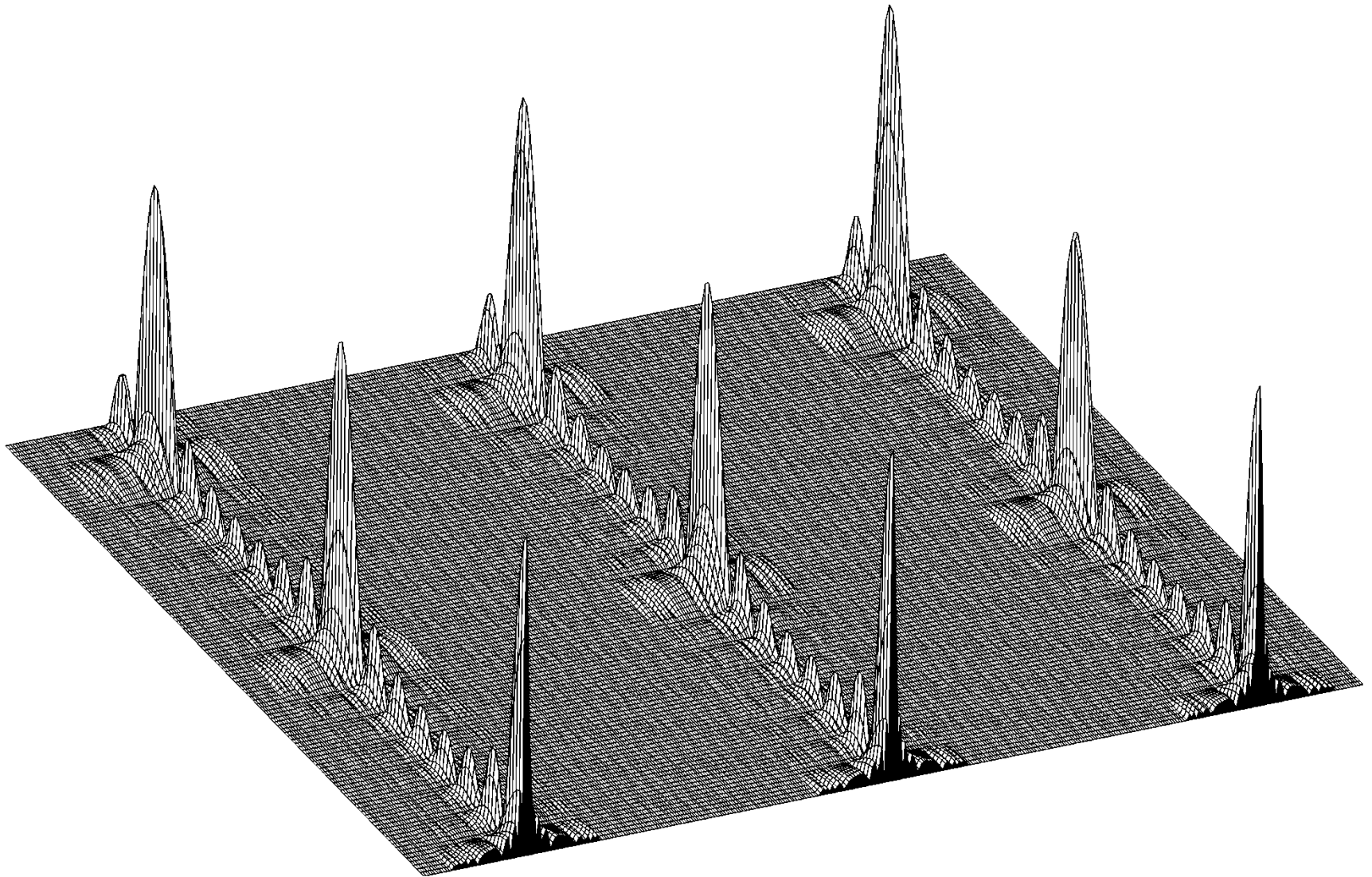
Ambiguity function of 6 unmodulated pulses



Ambiguity function of 6 LFM pulses



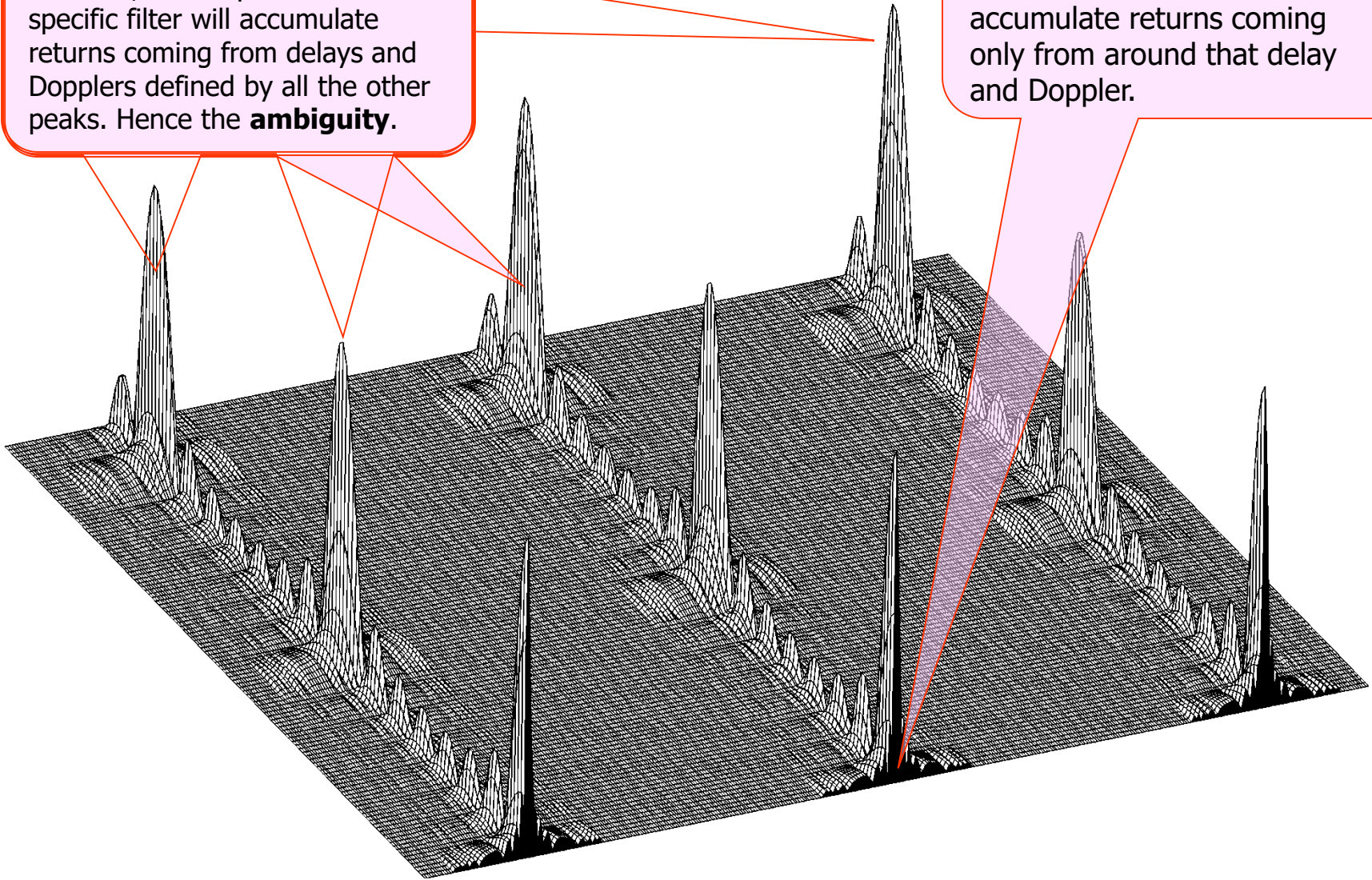
Periodic ambiguity function of a coherent train of LFM pulses

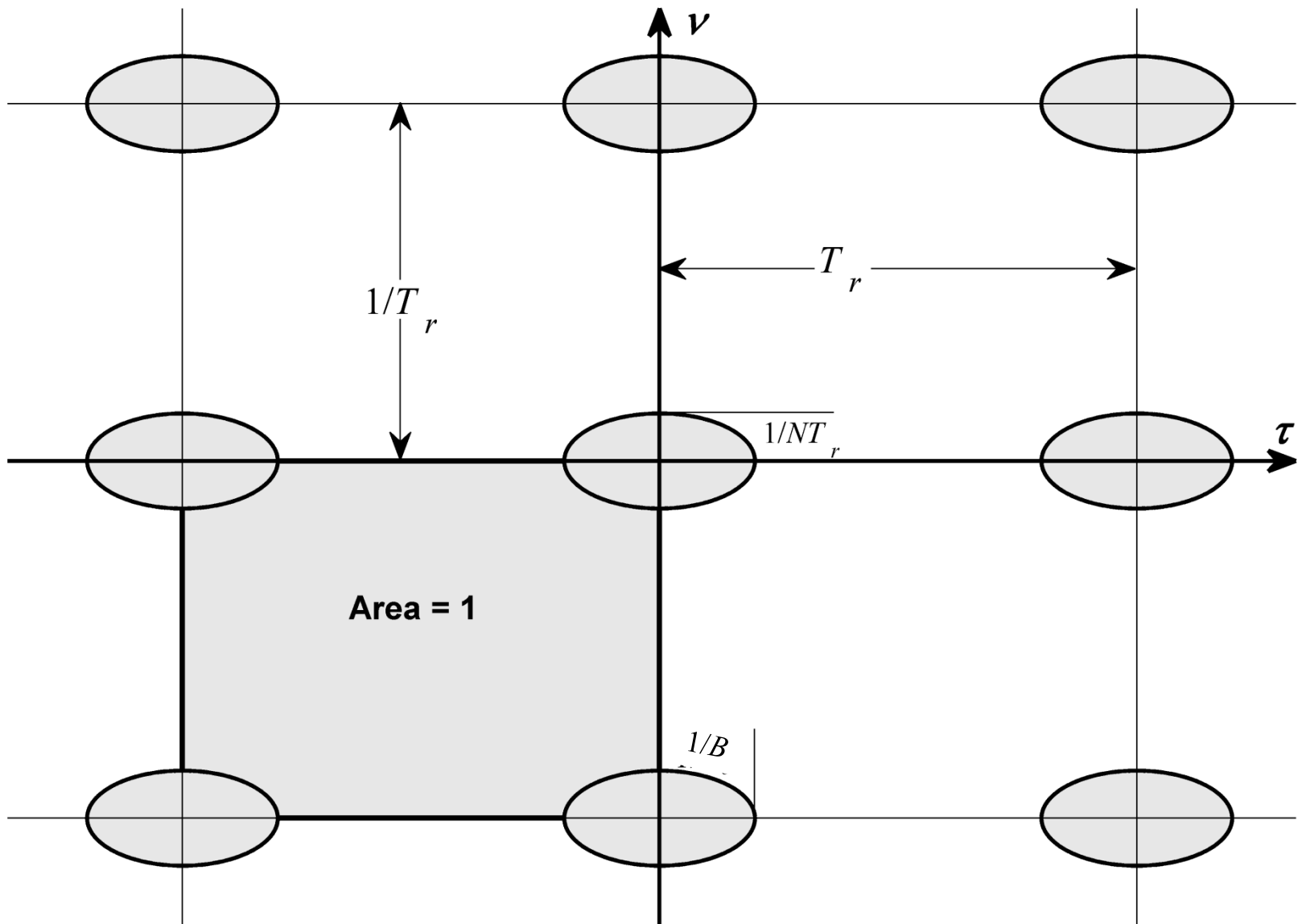


Why the name “**ambiguity** function”?

However, the output of that specific filter will accumulate returns coming from delays and Dopplers defined by all the other peaks. Hence the **ambiguity**.

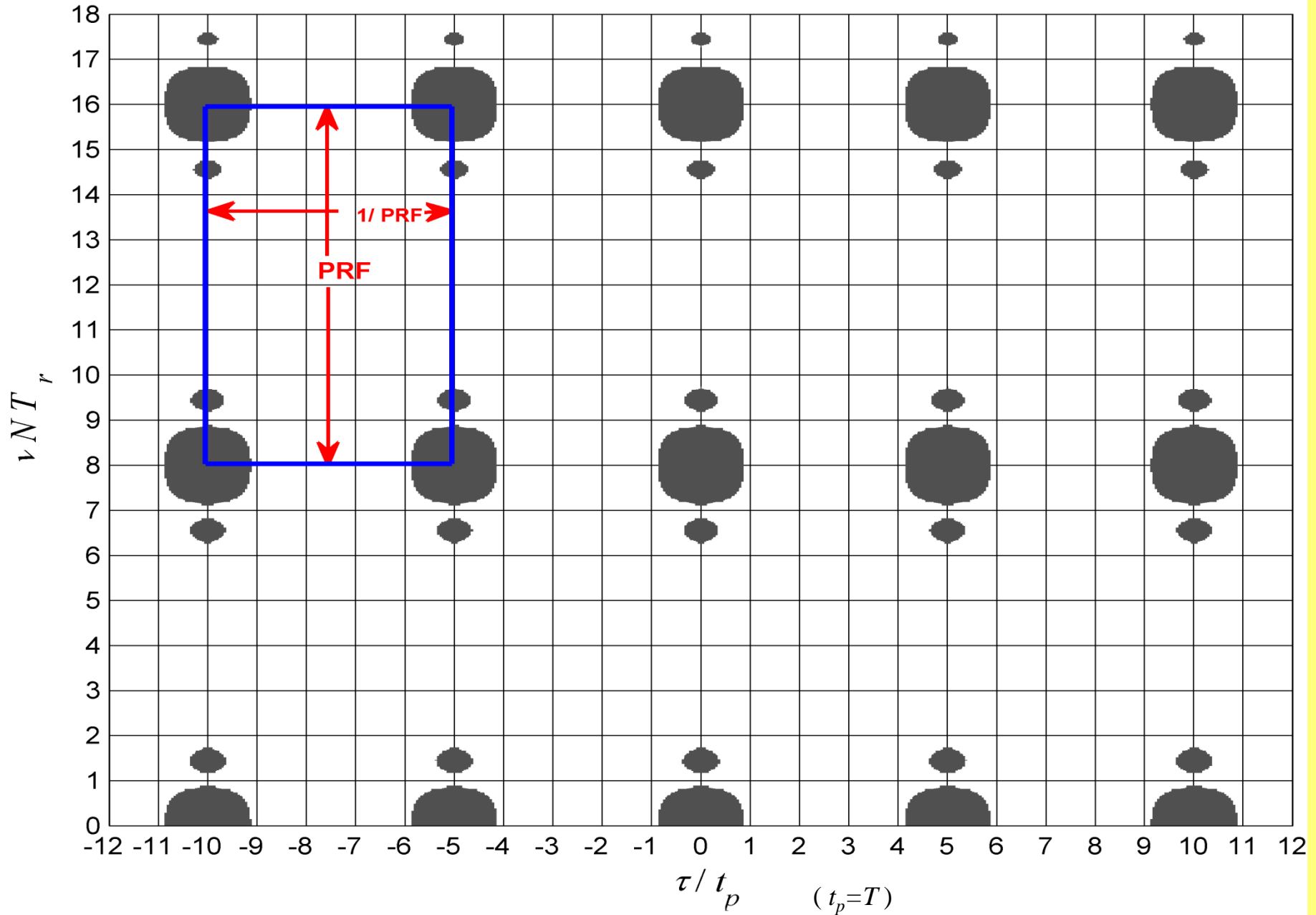
We hoped that the output of the filter, designed for the nominal delay and Doppler, will accumulate returns coming only from around that delay and Doppler.

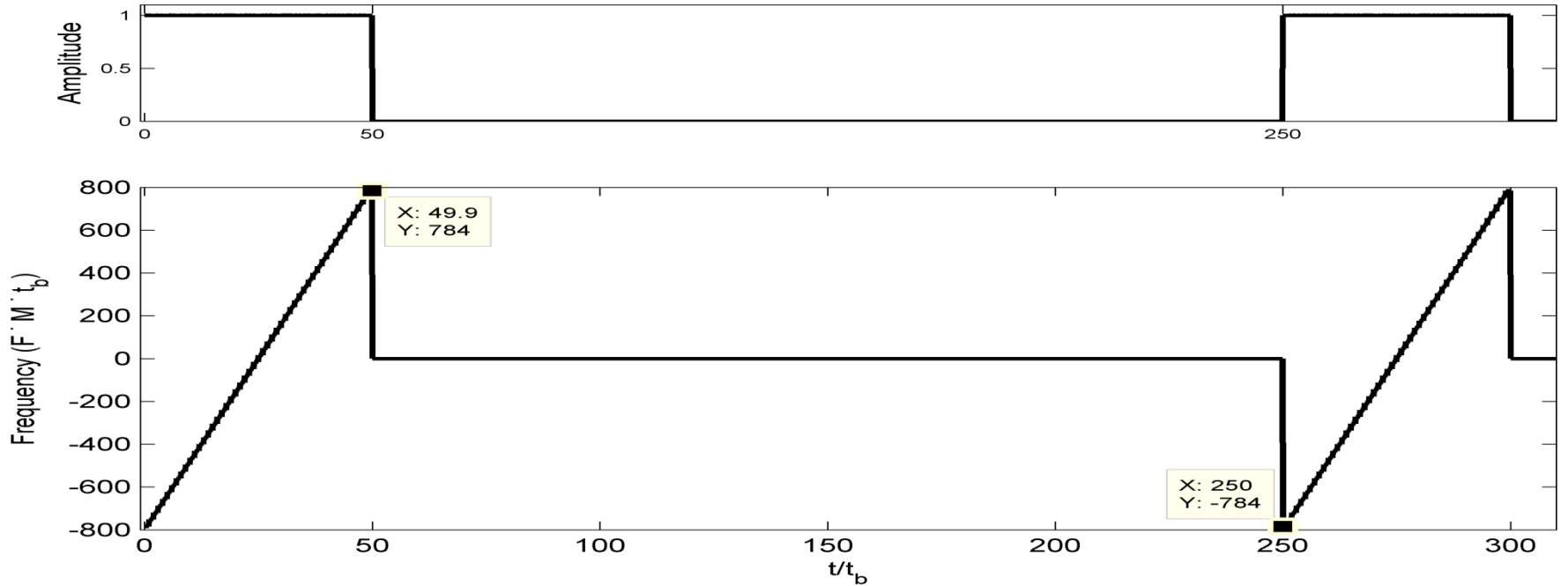
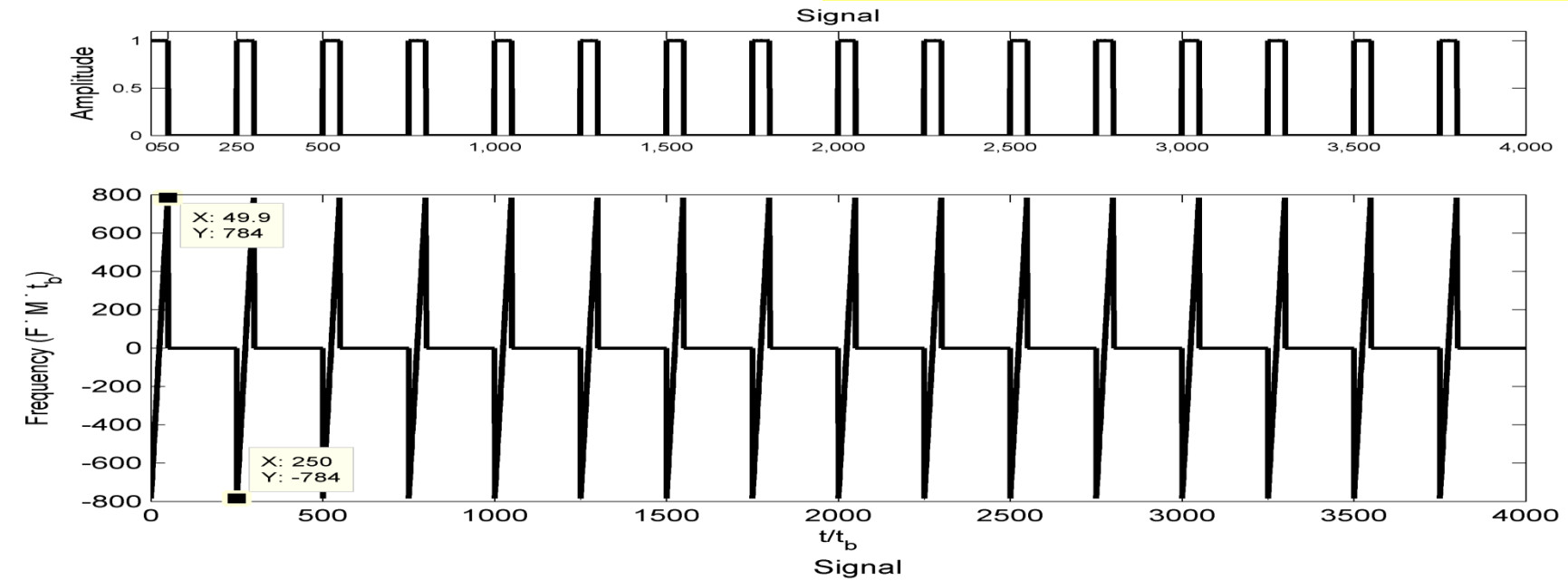


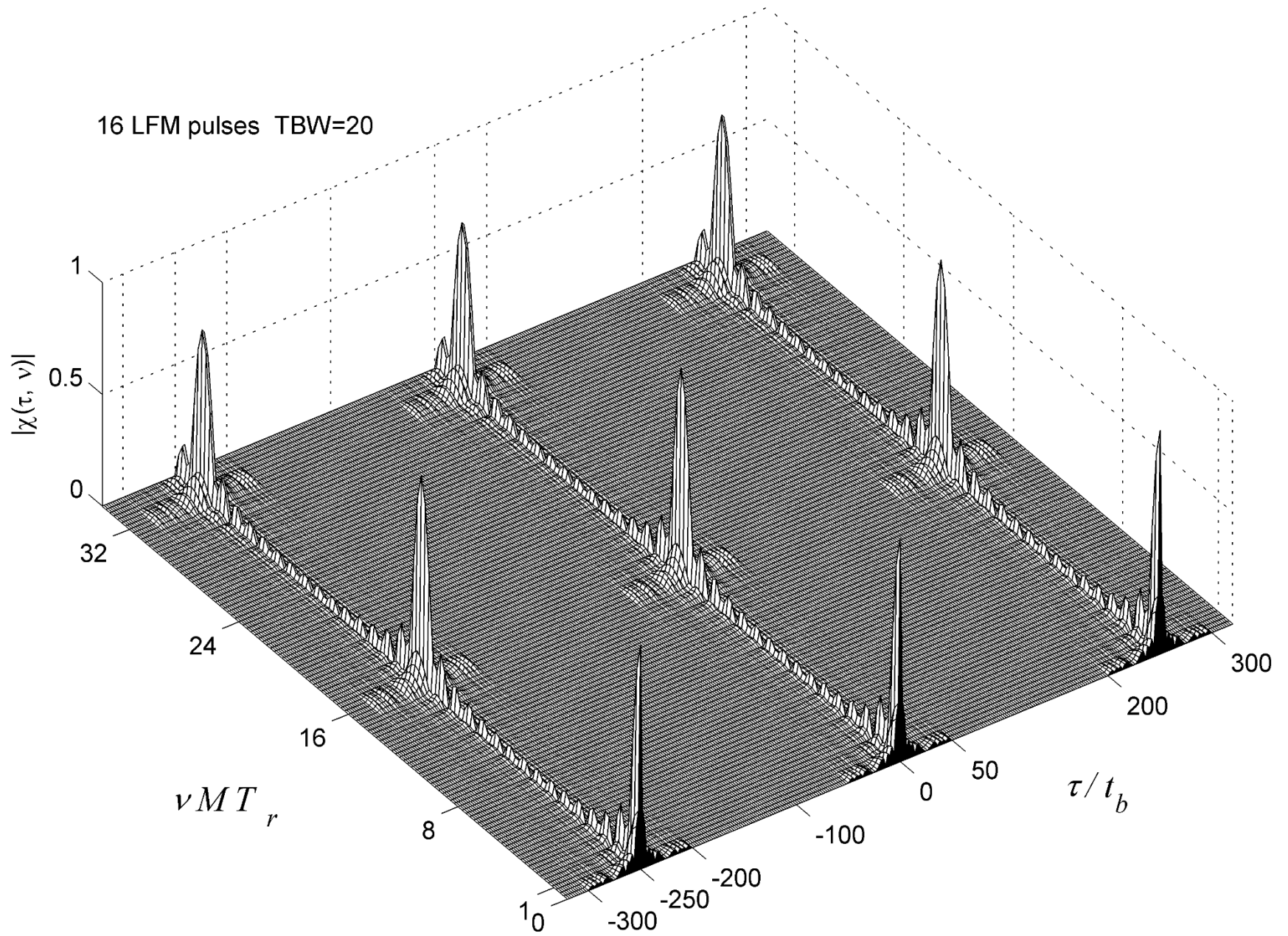


Horizontal cut through a "bed of nails" periodic ambiguity function

Coherent pulse train 8 pulses, PAF contour = 0.15



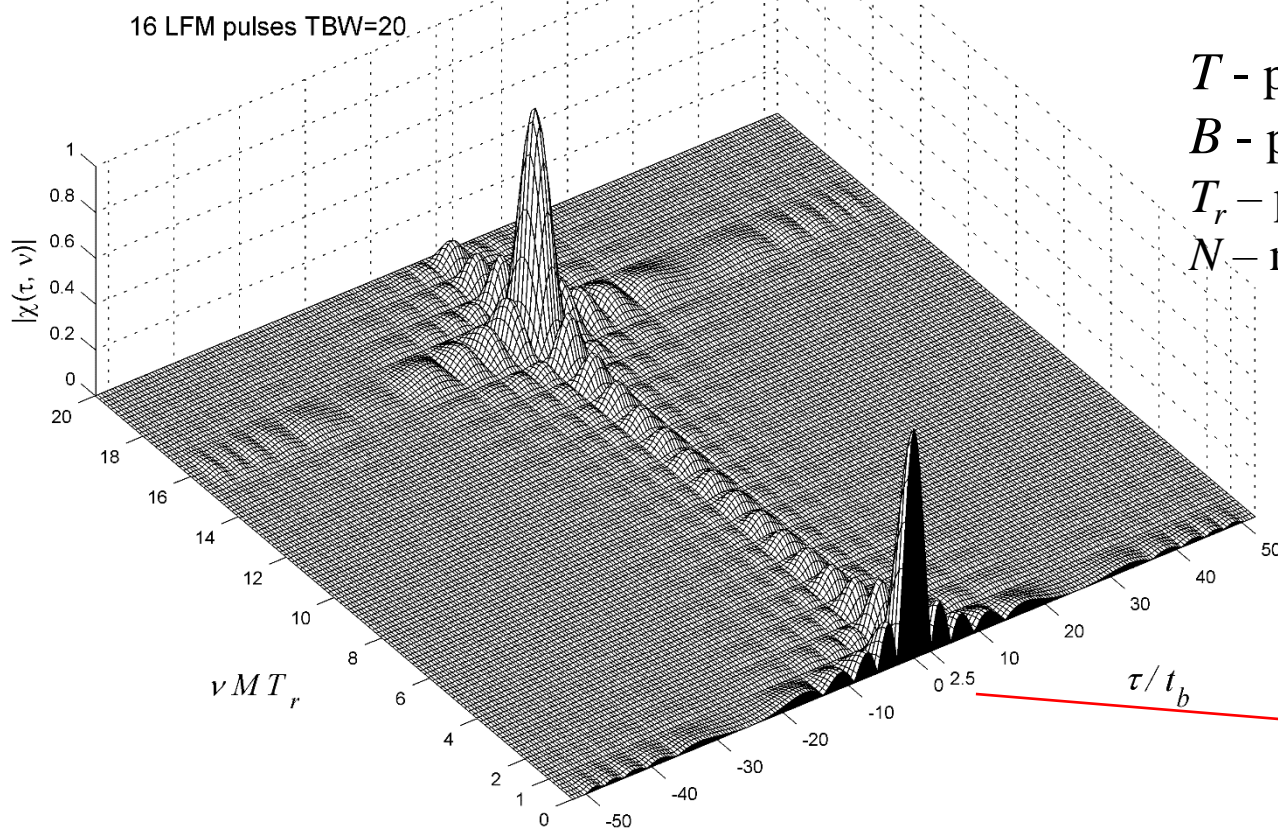




$$|\chi(\tau, \nu)|_{|\tau| \leq T} = \left[\left(1 - \frac{|\tau|}{T}\right) \text{sinc} \left[T \left(\nu - B \frac{\tau}{T} \right) \left(1 - \frac{|\tau|}{T}\right) \right] \frac{\sin \left[N \pi (T_r \nu) \right]}{N \sin \left[\pi (T_r \nu) \right]} \right], \quad |\tau| \leq T$$

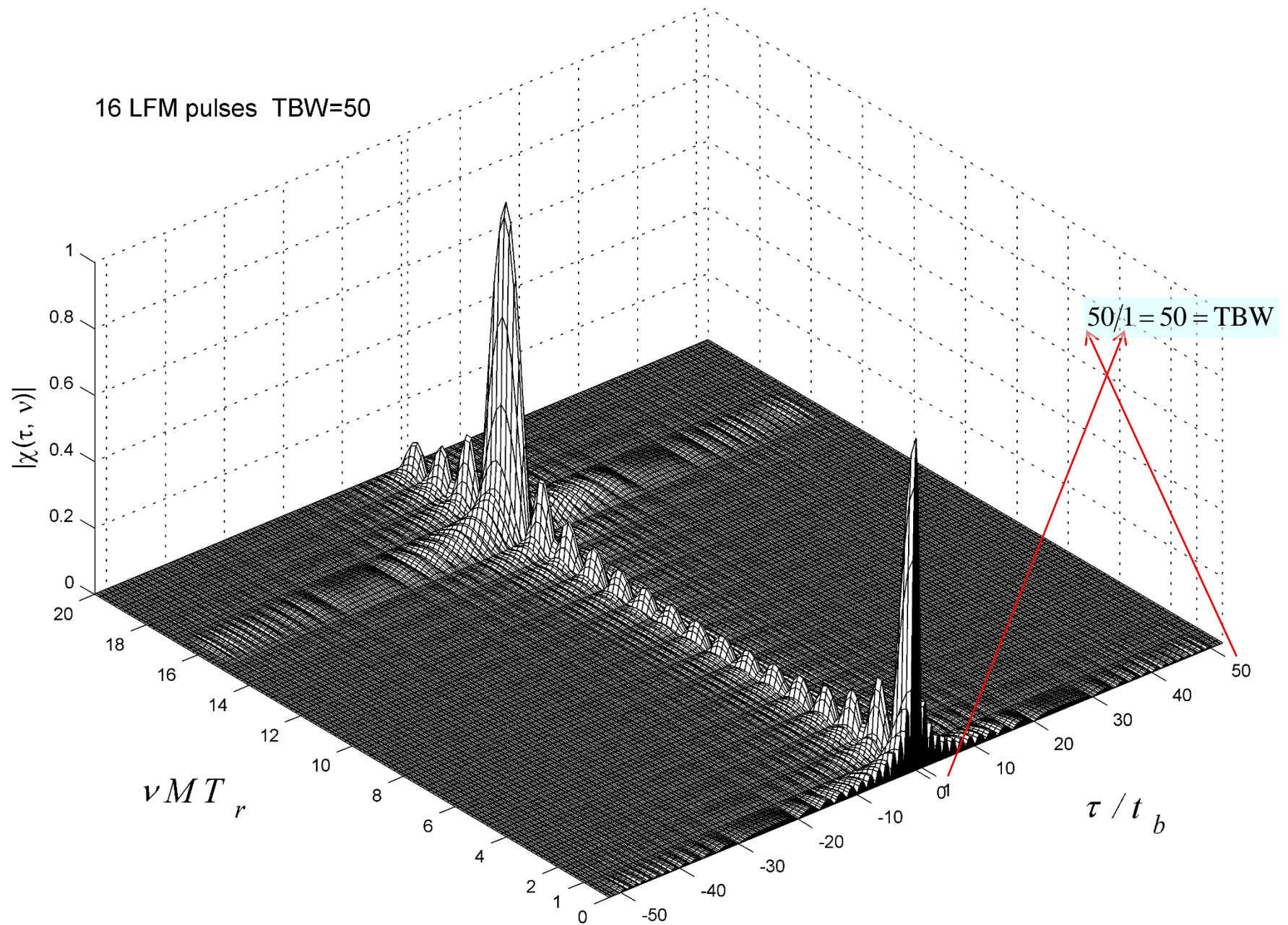
Function of the LFM pulse

Function of N pulses



- T - pulse duration ($=t_p=50t_b$)
- B - pulse bandwidth ($=\Delta f$)
- T_r - pulse repetition interval
- N - number of pulses ($=M$)

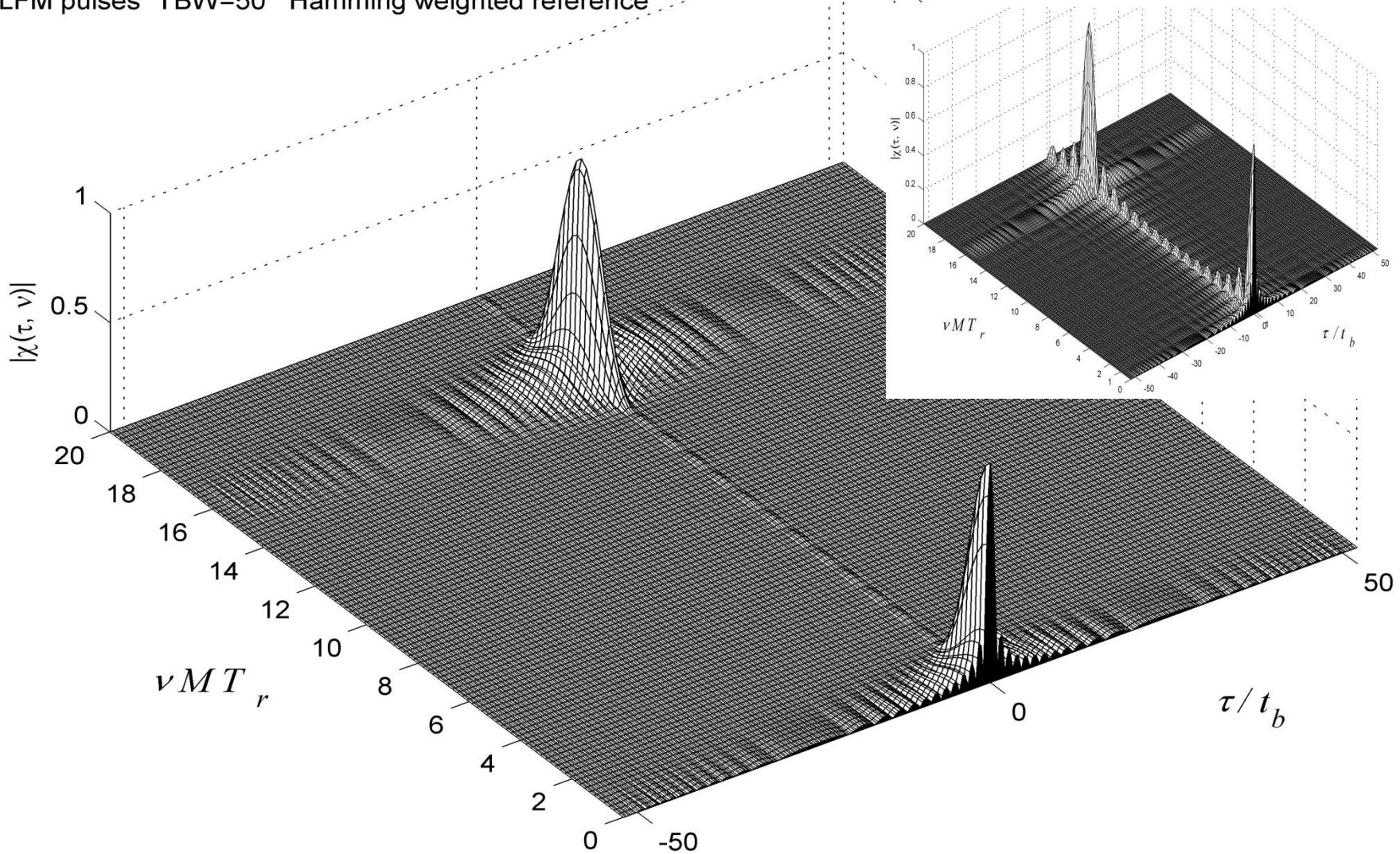
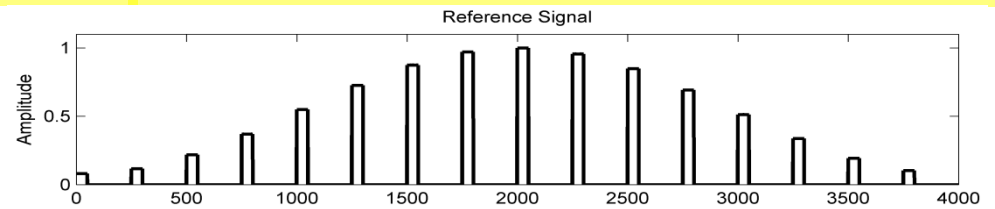
$50/2.5 = 20 = \text{TBW}$



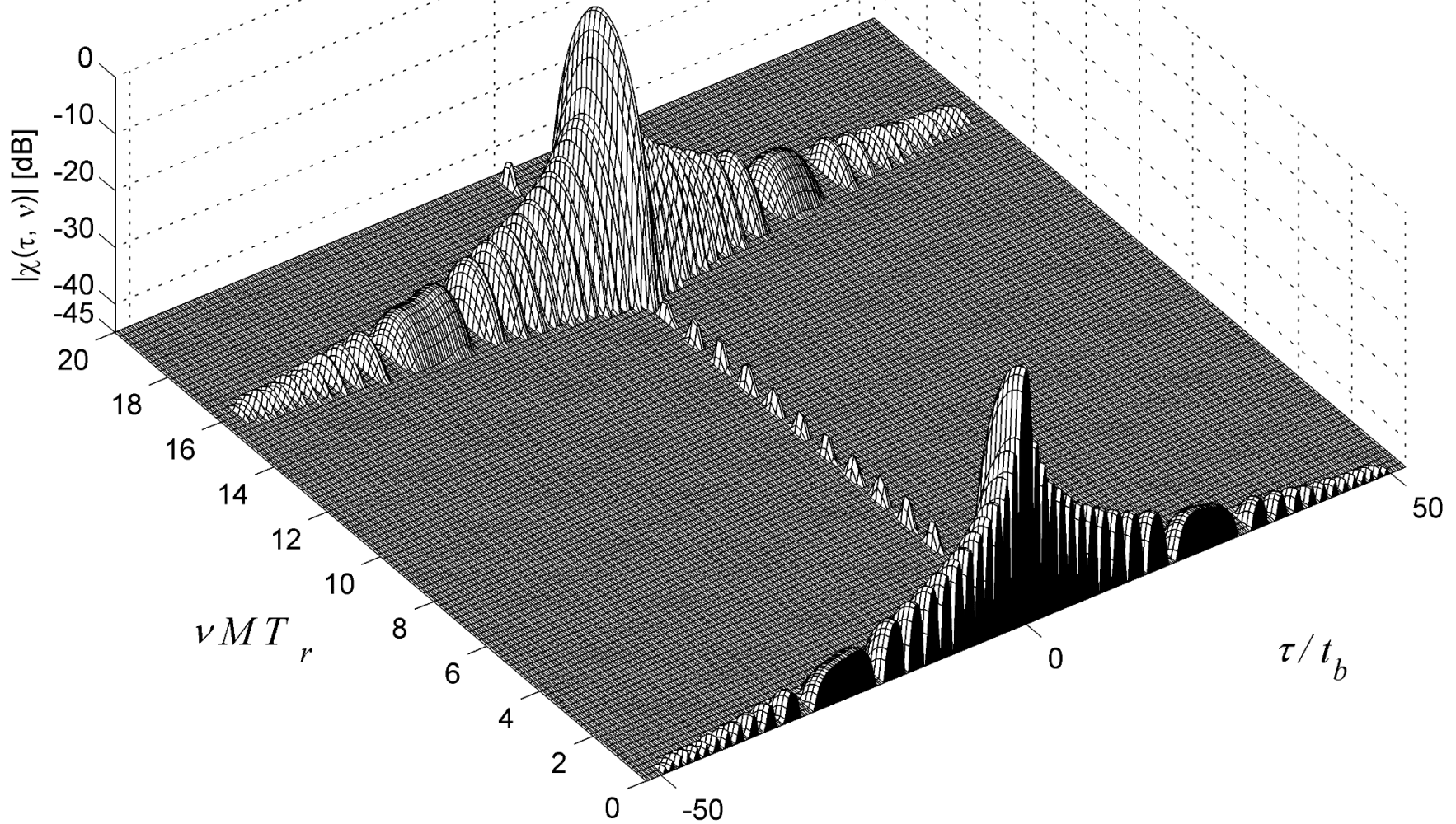
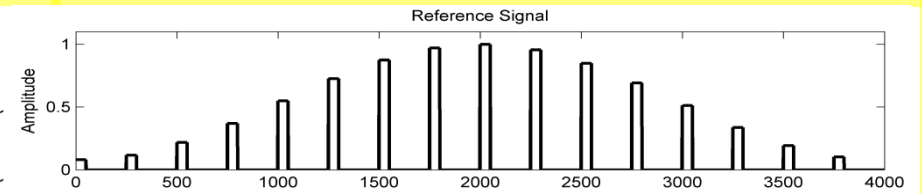
Intra-pulse weighting = frequency weighting \Rightarrow reduces delay sidelobes

Inter-pulse weighting = slow-time weighting \Rightarrow reduces Doppler sidelobes

16 LFM pulses TBW=50 Hamming weighted reference

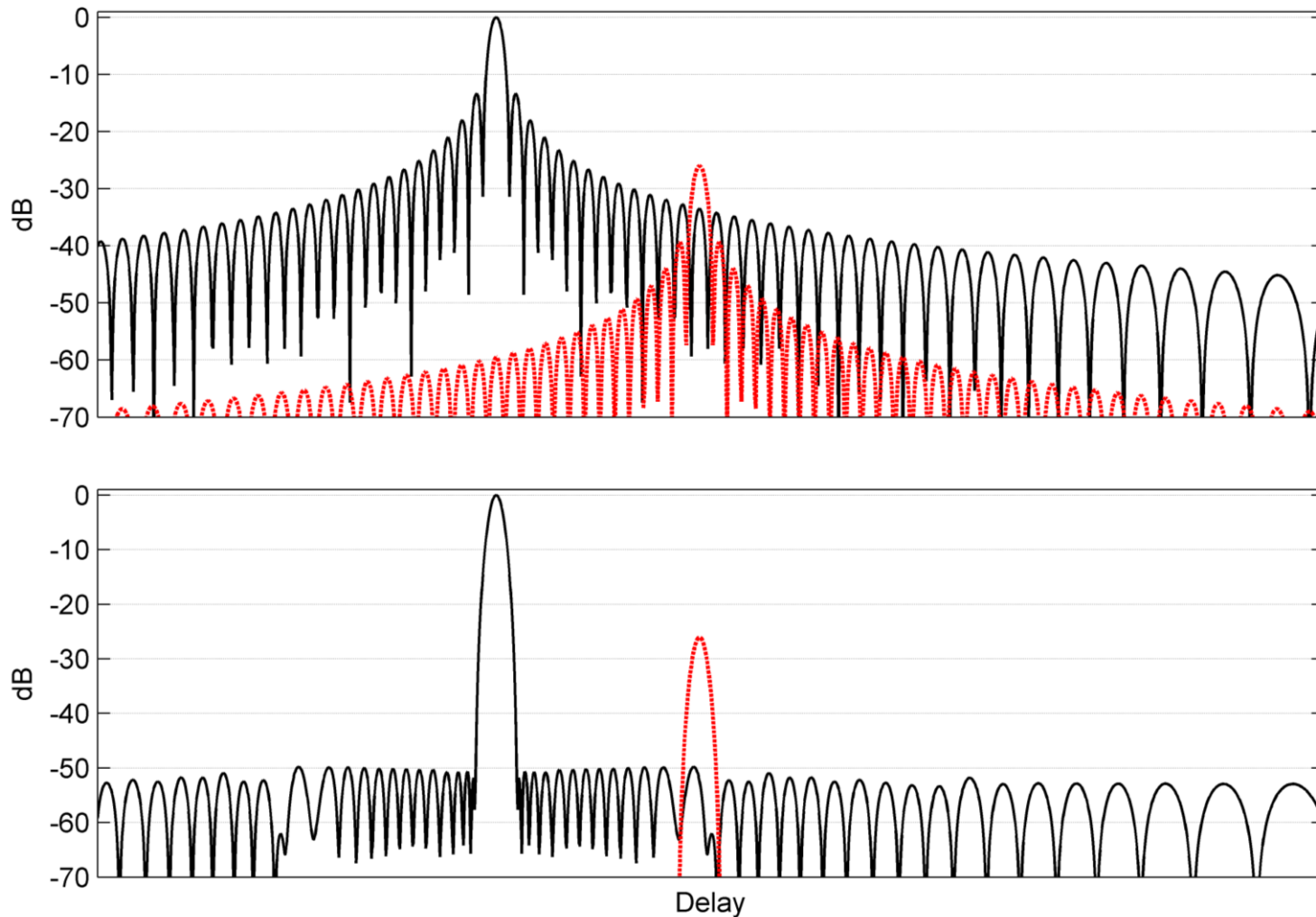


16 LFM pulses TBW=50 Hamming weighted reference



DELAY SIDELOBE REDUCTION

Sidelobe masking - why is it so important to reduce sidelobes?



Delay responses of a compressed pulse: (top) without and (bottom) with sidelobe reduction

$$|\chi(\tau, 0)| = \left| \int_{-\infty}^{\infty} u(t)u^*(t + \tau)dt \right| = |R(\tau)|$$

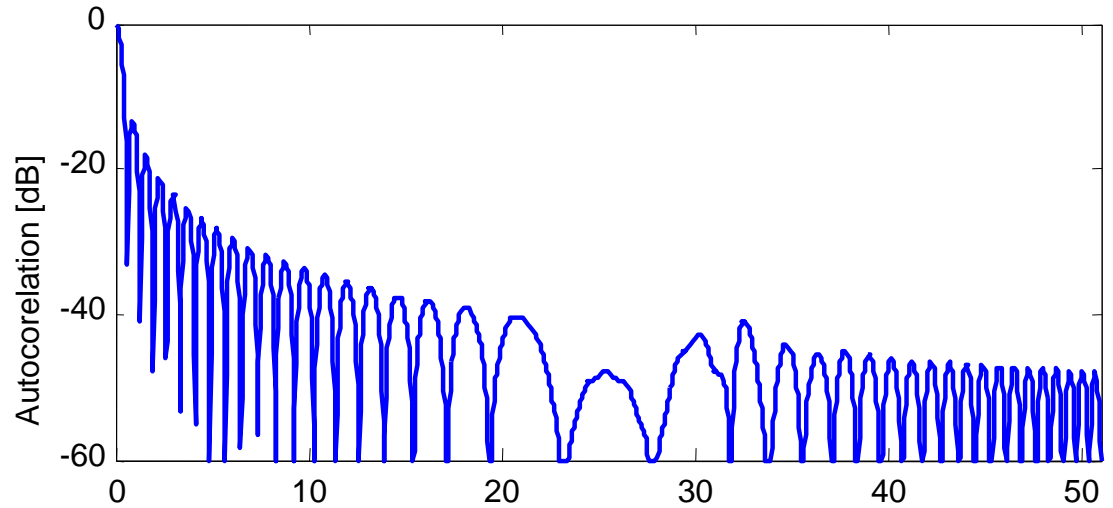
Range window

↕↕

Autocorrelation

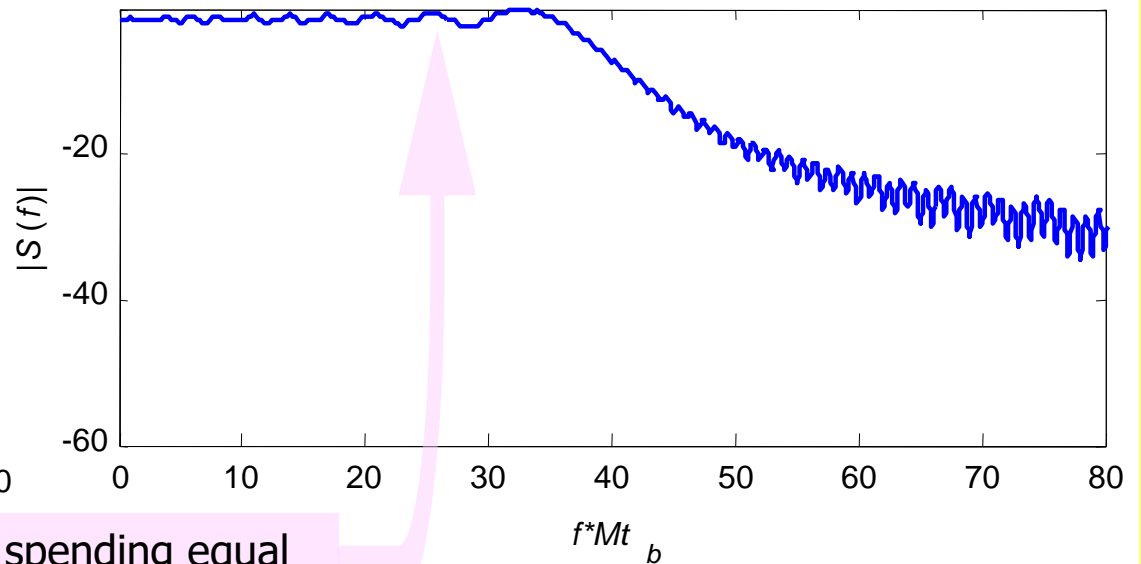
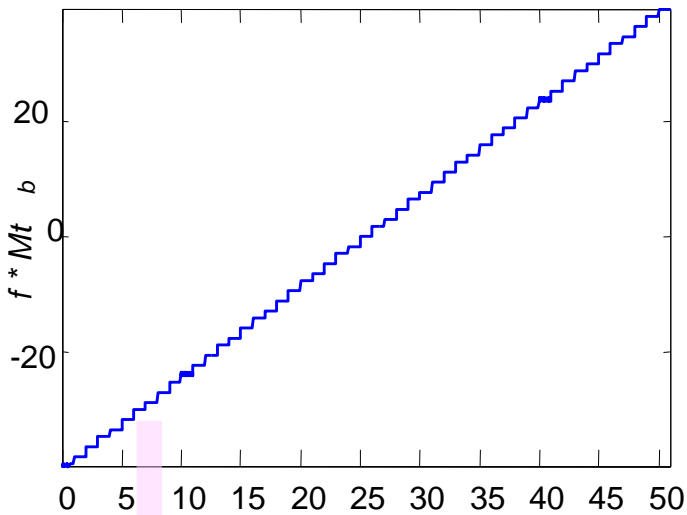
↕↕

\mathbf{F}^{-1} { Power spectral density }



Rectangular spectrum \Rightarrow
sinc autocorrelation

τ/t_b



t/t_b

Linear FM = spending equal time at all frequencies within the band \approx flat spectrum

$f * Mt_b$

Rectangular spectrum \Rightarrow sinc autocorrelation \Rightarrow -13 dB peak sidelobe

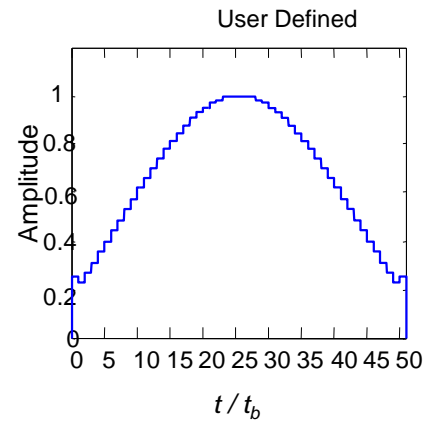
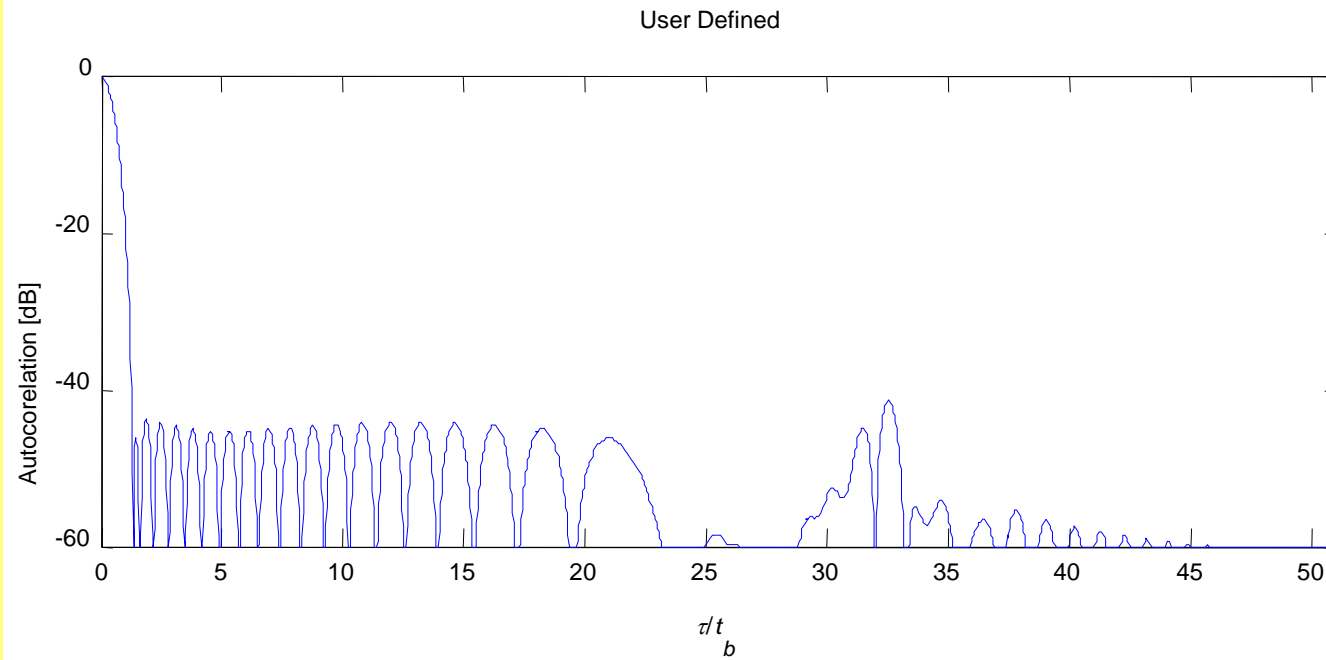
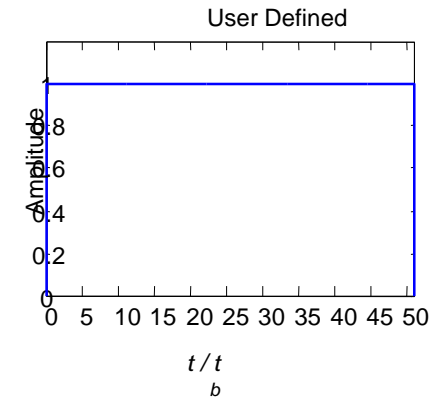
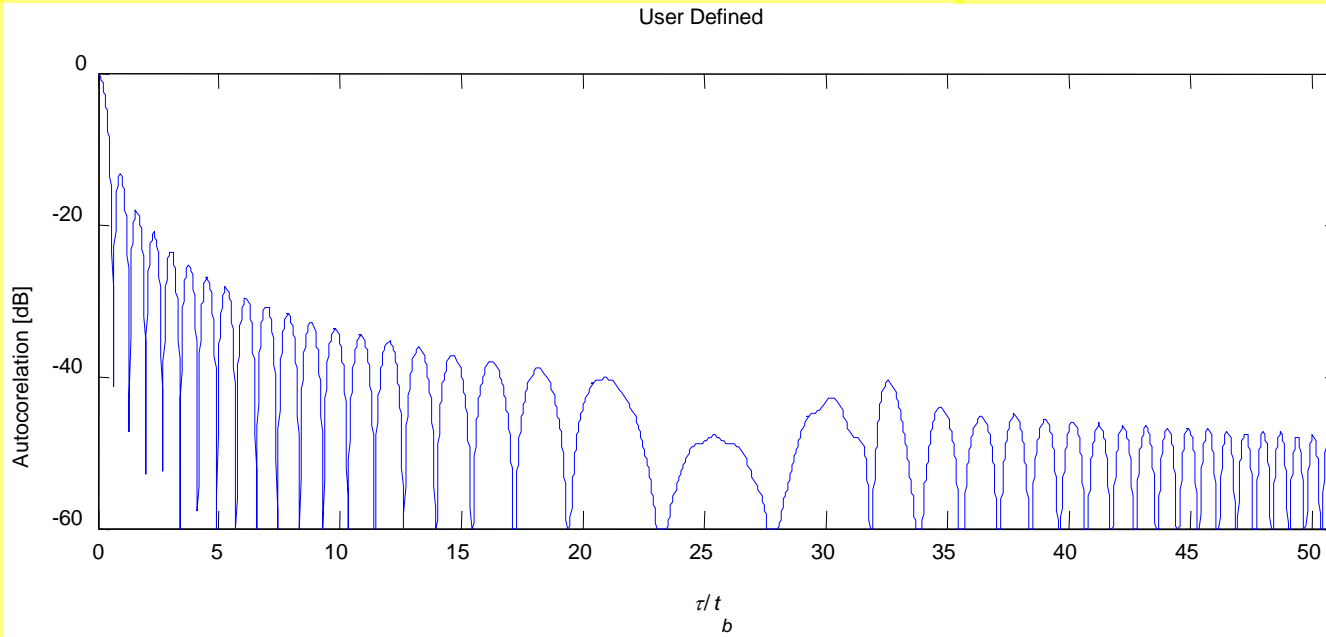
Reshaping the spectrum will lower the autocorrelation sidelobes.

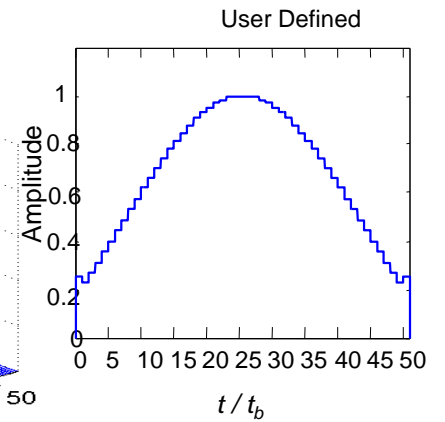
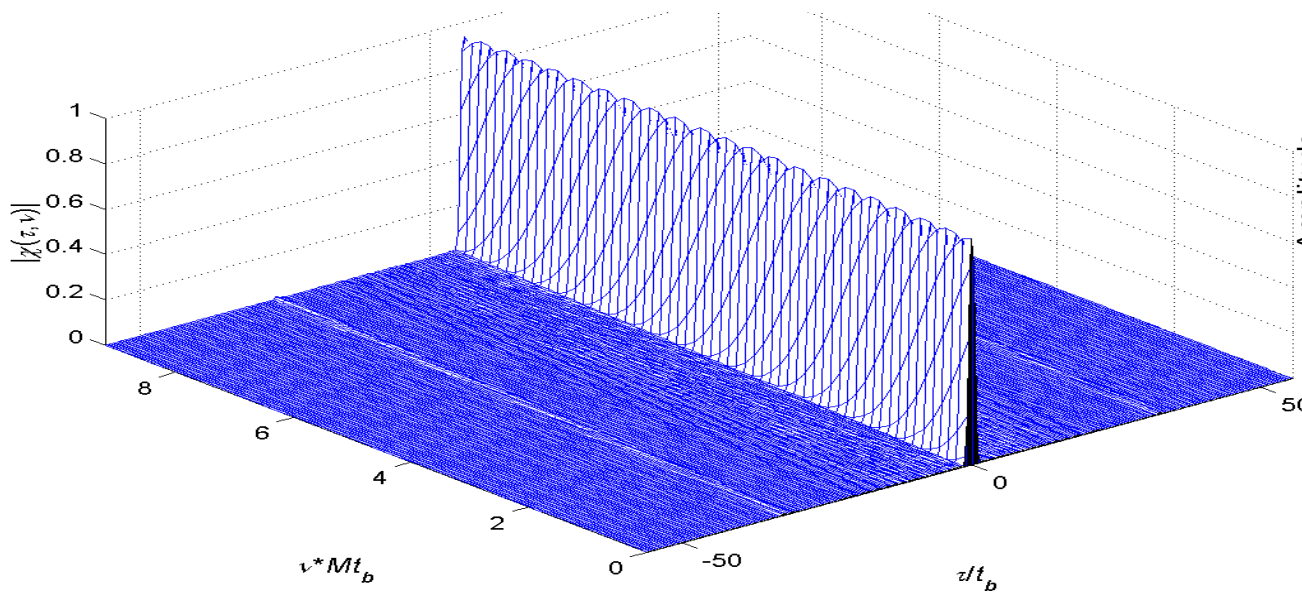
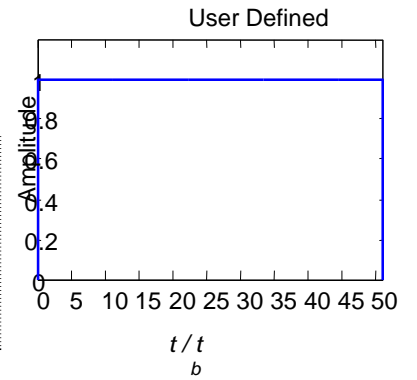
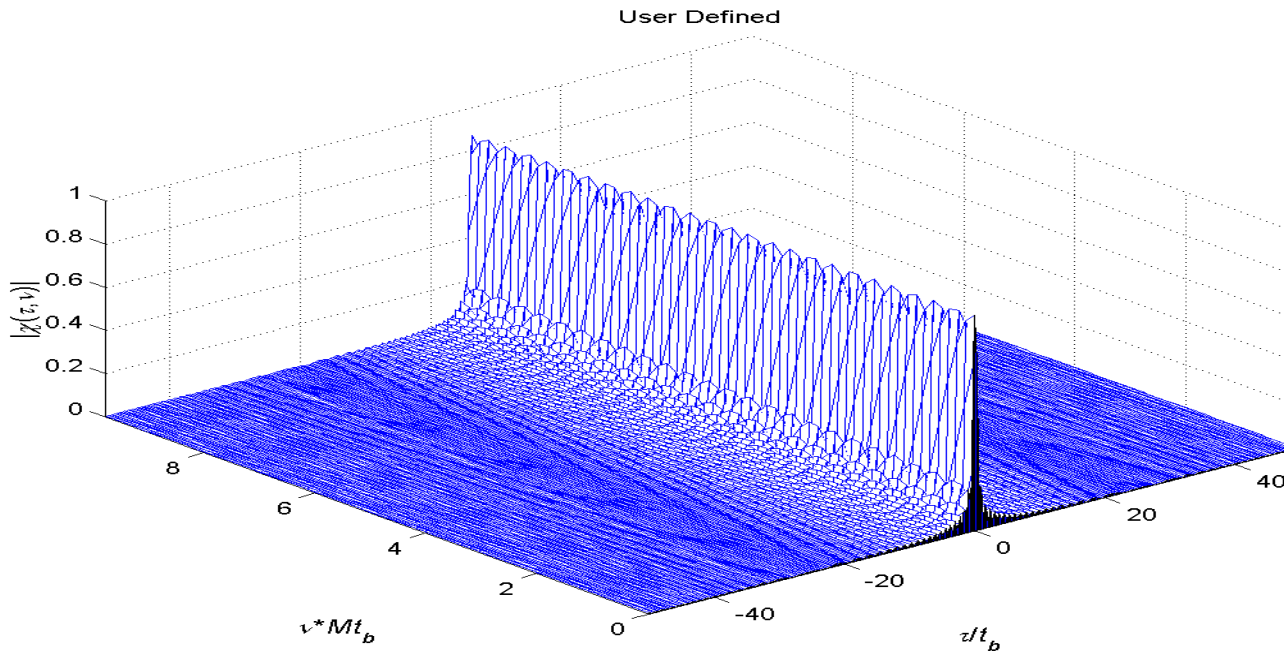
Desired spectral shapes (windows):

Hamming, Hann, Chebyshev, ...

Two spectral shaping methods:

- Amplitude modulating the pulse (using the linear relationship between time and frequency, to increase the weight of mid-band frequencies)
- Frequency modulation (Non-linear FM) (spend more time at mid-band frequencies)

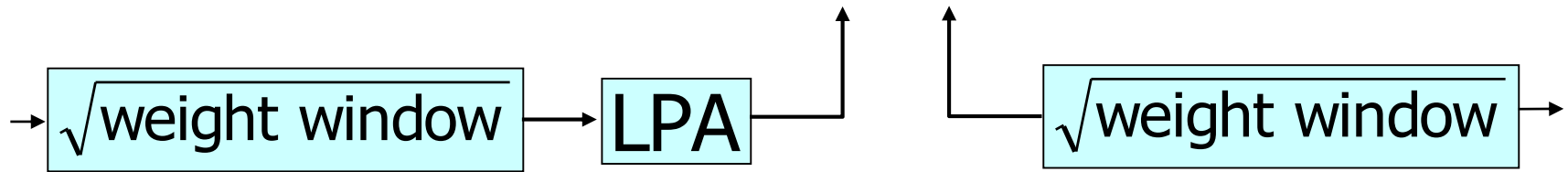




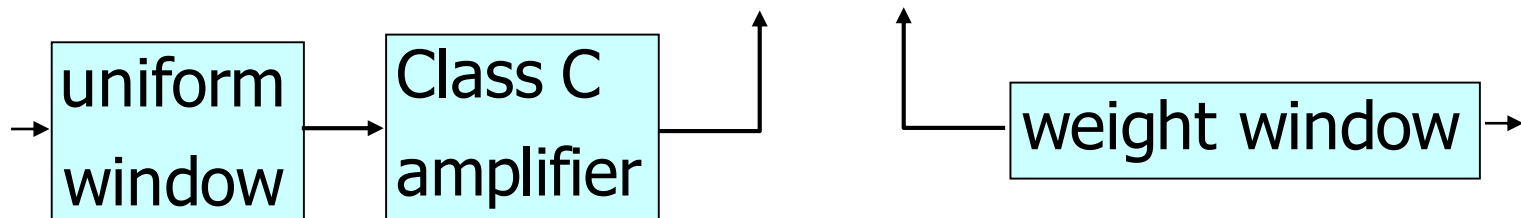
Spectrum shaping:

- Lowers the autocorrelation sidelobes.
- Widens autocorrelation mainlobe.

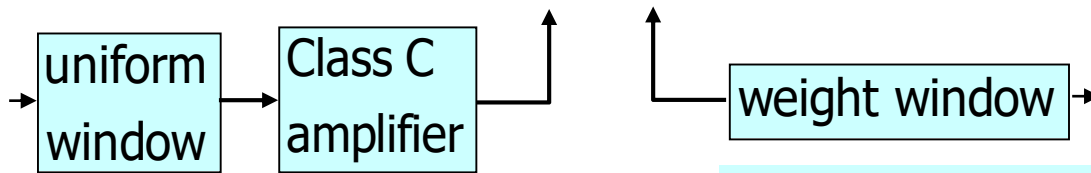
Spectrum shaping by amplitude modulating the pulse requires a transmitter with **linear power amplifier (LPA)**.



Concentrating the weighting in the receiver causes mismatch (= SNR loss).



Concentrating the weighting in the receiver causes mismatch (= SNR loss).



$$\text{weight window} = \{C_1, C_2, \dots, C_N\}$$

Uniform signal samples with amplitude A , noise RMS value is σ

$$SNR = \frac{A^2 \left(\sum_{n=1}^N C_n \right)^2}{\sigma^2 \sum_{n=1}^N C_n^2}$$

Signal samples add up coherently (power of sum).
Noise samples add up noncoherently (sum of powers).

Uniform weight: $C_n = 1$

$$SNR_{\text{uni}} = \frac{A^2 N^2}{\sigma^2 N} = \frac{A^2}{\sigma^2} N$$

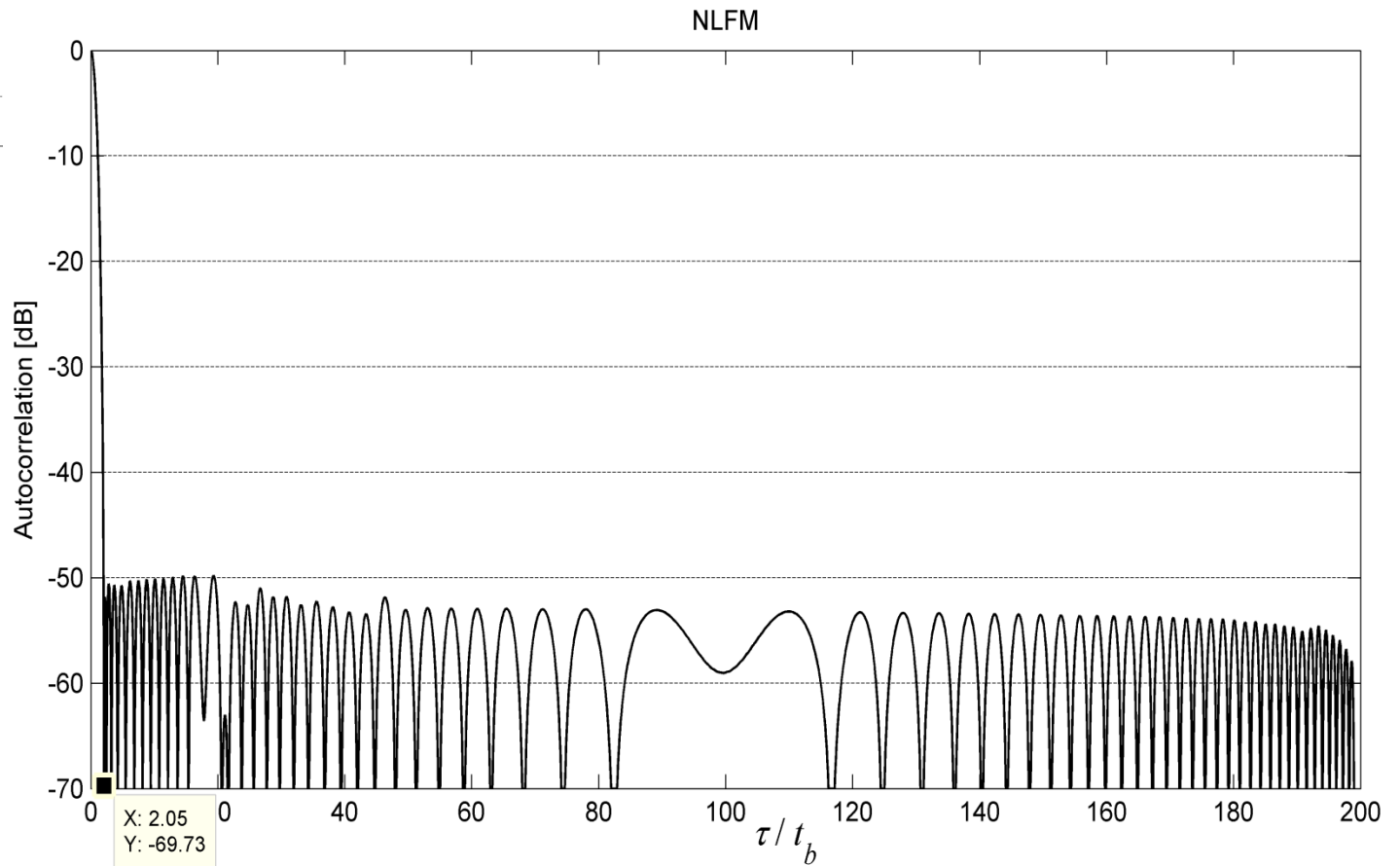
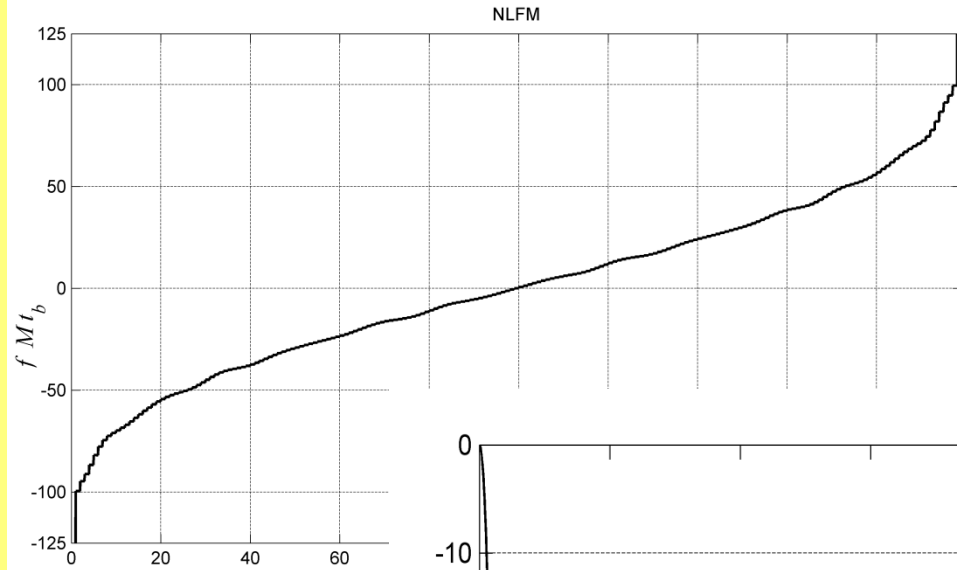
$$SNR_{\text{loss}} = \frac{SNR}{SNR_{\text{uni}}}$$

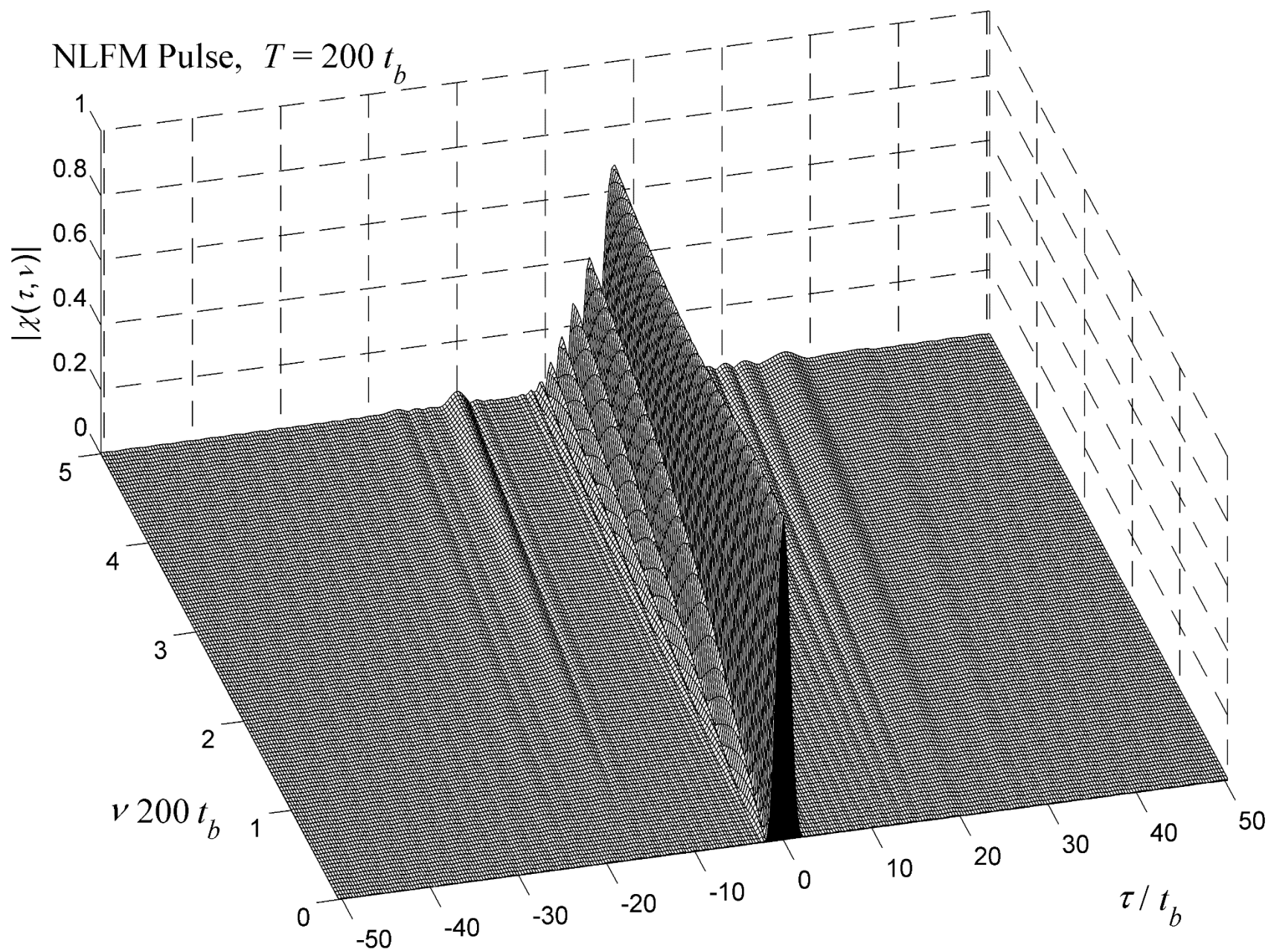
$$SNR_{\text{loss}} = \frac{\left(\sum_{n=1}^N C_n \right)^2}{N \sum_{n=1}^N C_n^2}$$

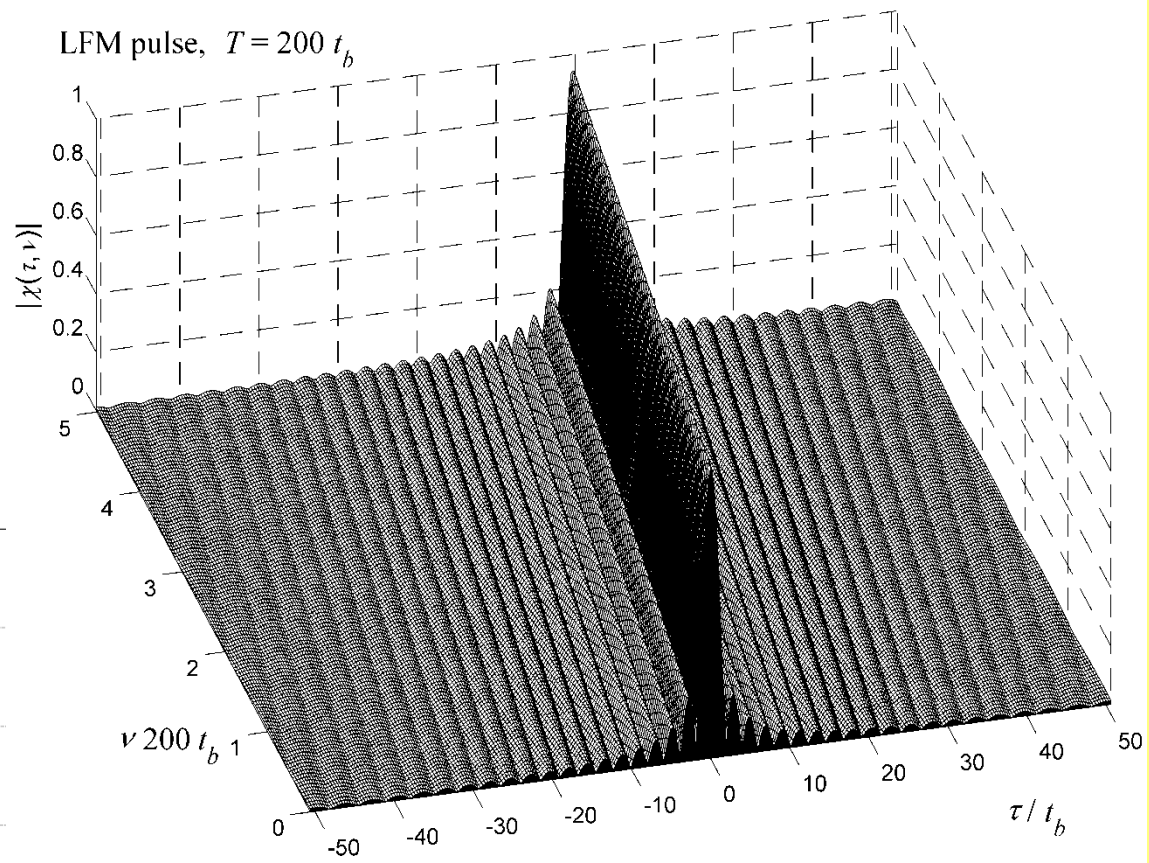
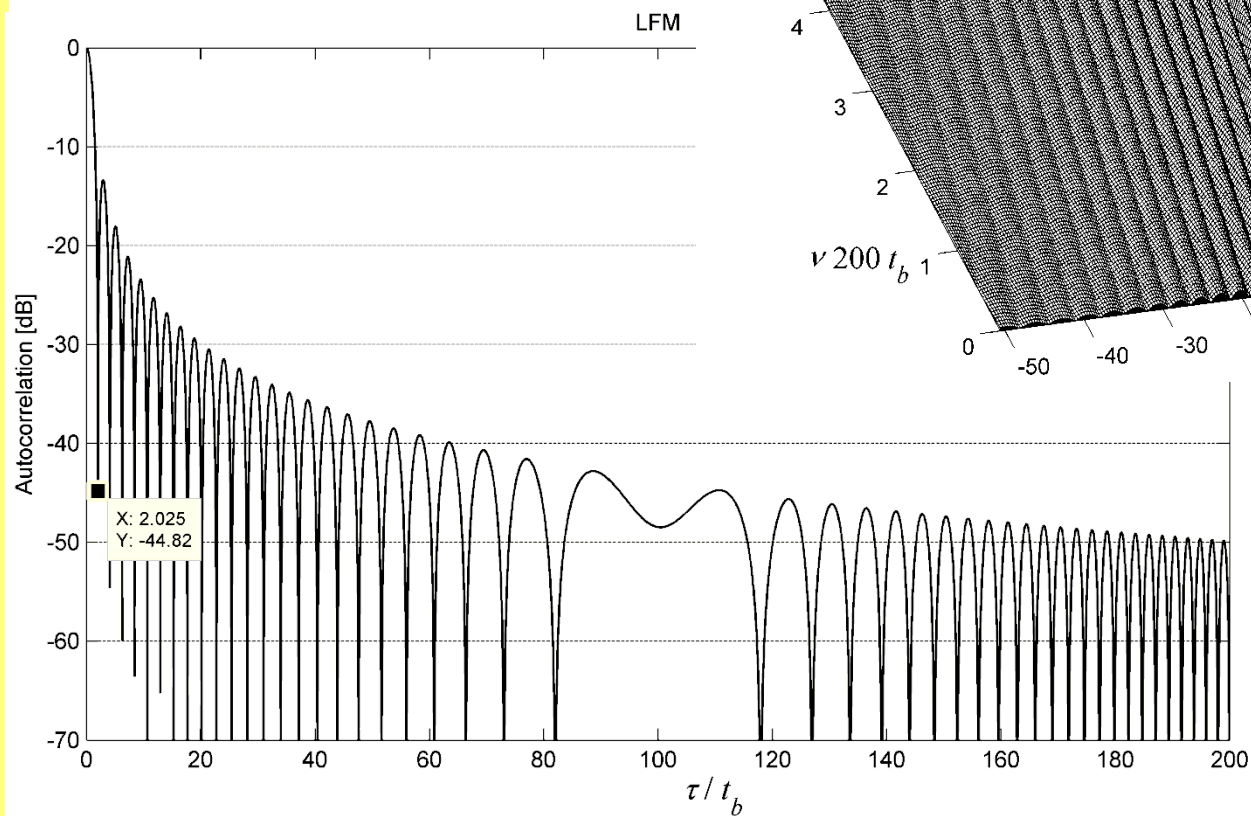
Hamming, $N \rightarrow \infty$ SNR loss \rightarrow -1.345 dB

NON-LINEAR FM

Shapes the spectrum to a desired window, not through a non-uniform amplitude, but through a non-linear frequency modulation
(spends more time at the central frequencies)



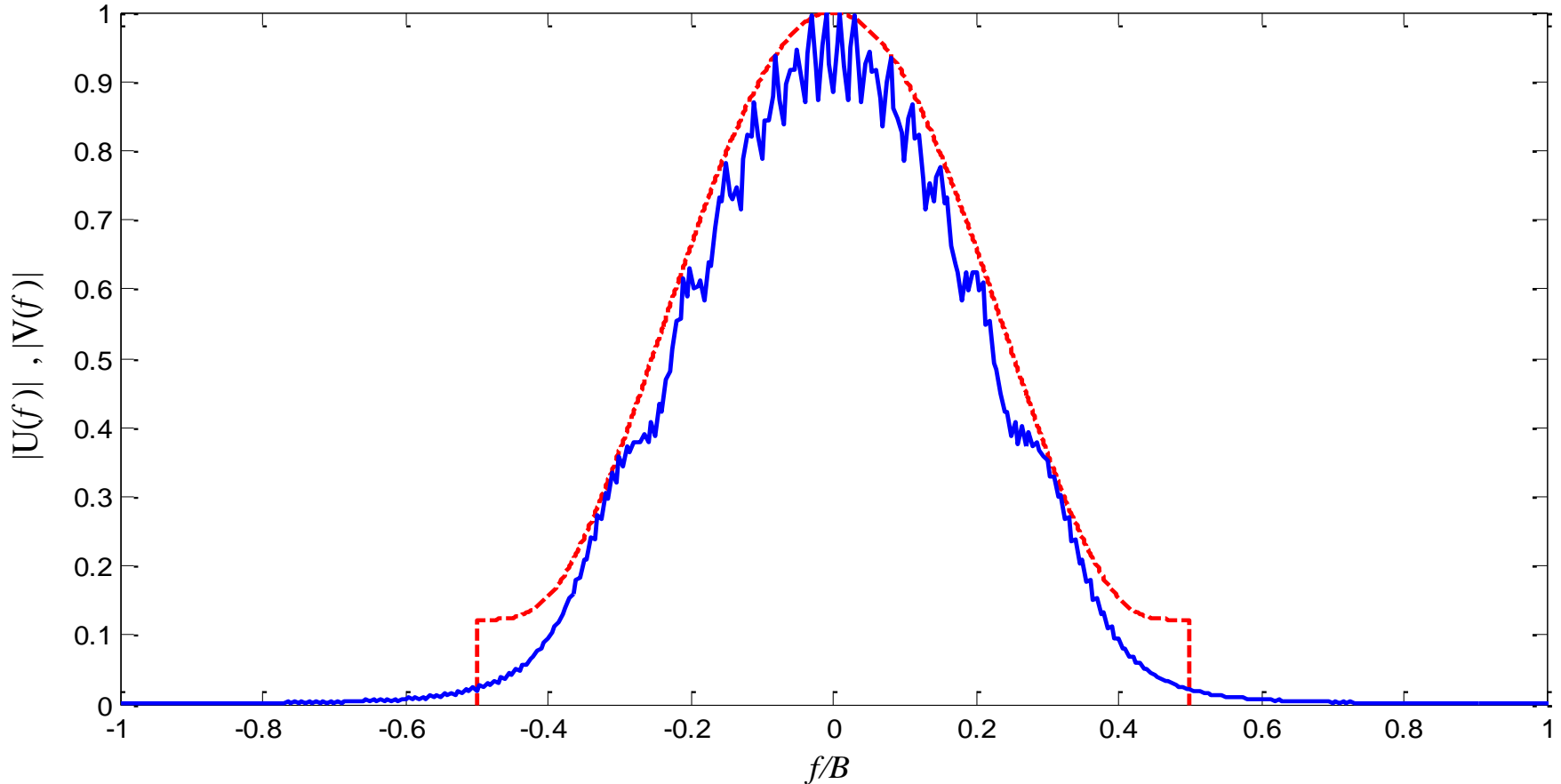




Example: $V(f)$ is raised cosine

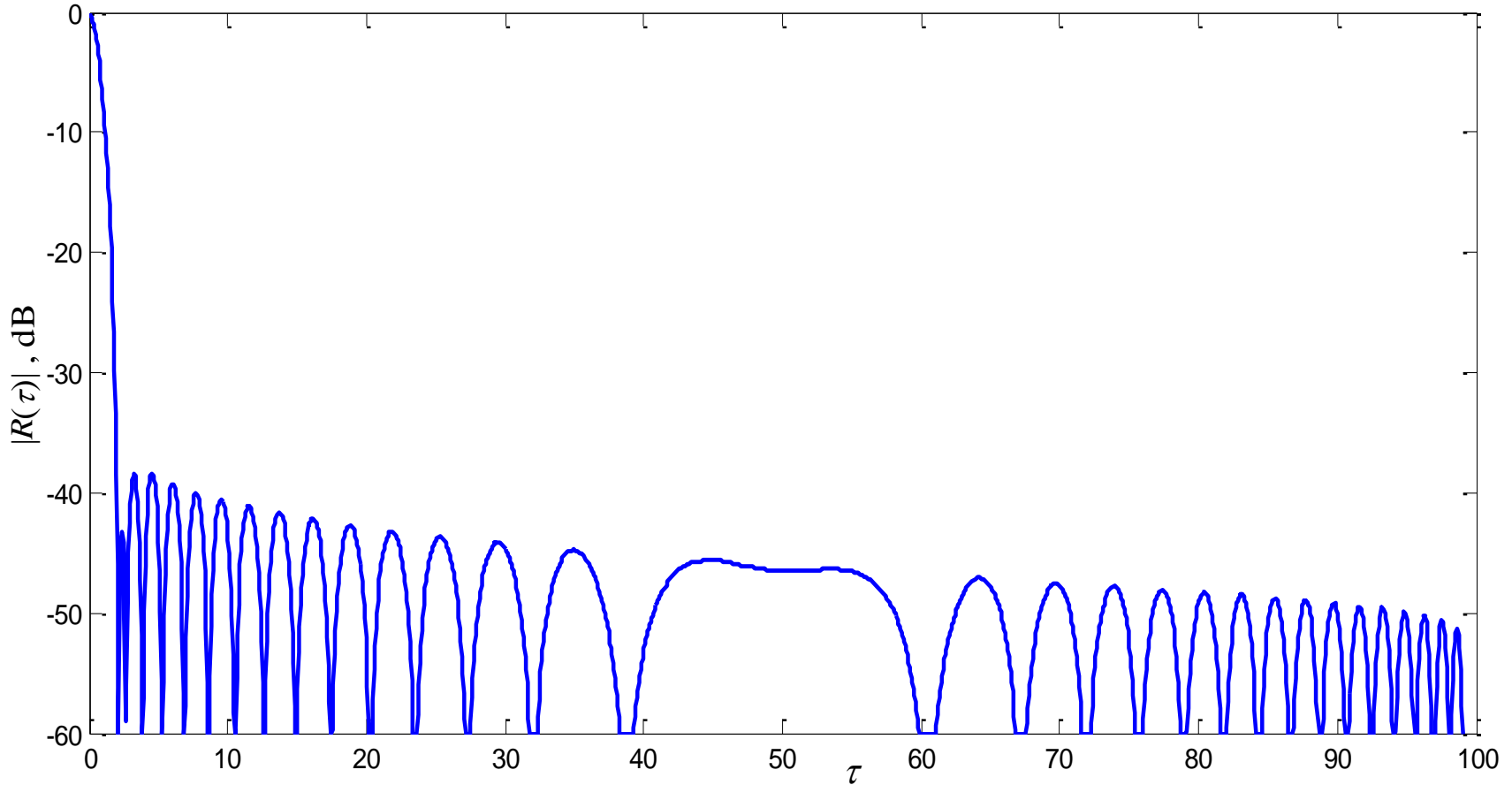
$$V(f) = \left[k + (1 - k) \cos^n \left(\pi \frac{f}{B} \right) \right]^{1/2}$$

Raised cosine, $n=4$, $k=0.15$ B-factor=1.3



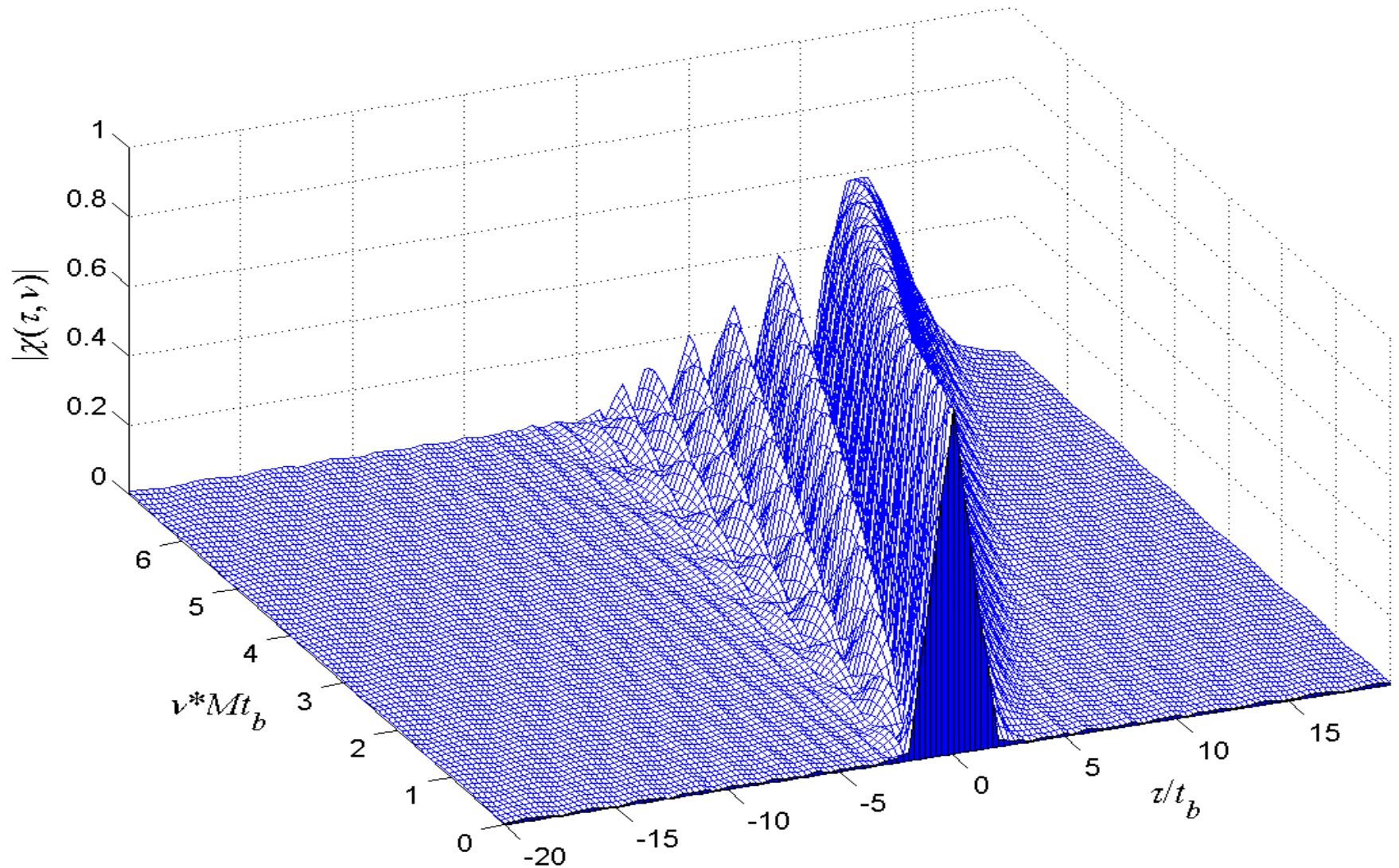
The designed (dotted) and achieved (solid) spectrum of NLFM signal allowing spectrum spreading of 30%

Raised cosine, $n=4$, $k=0.15$ B-factor=1.3

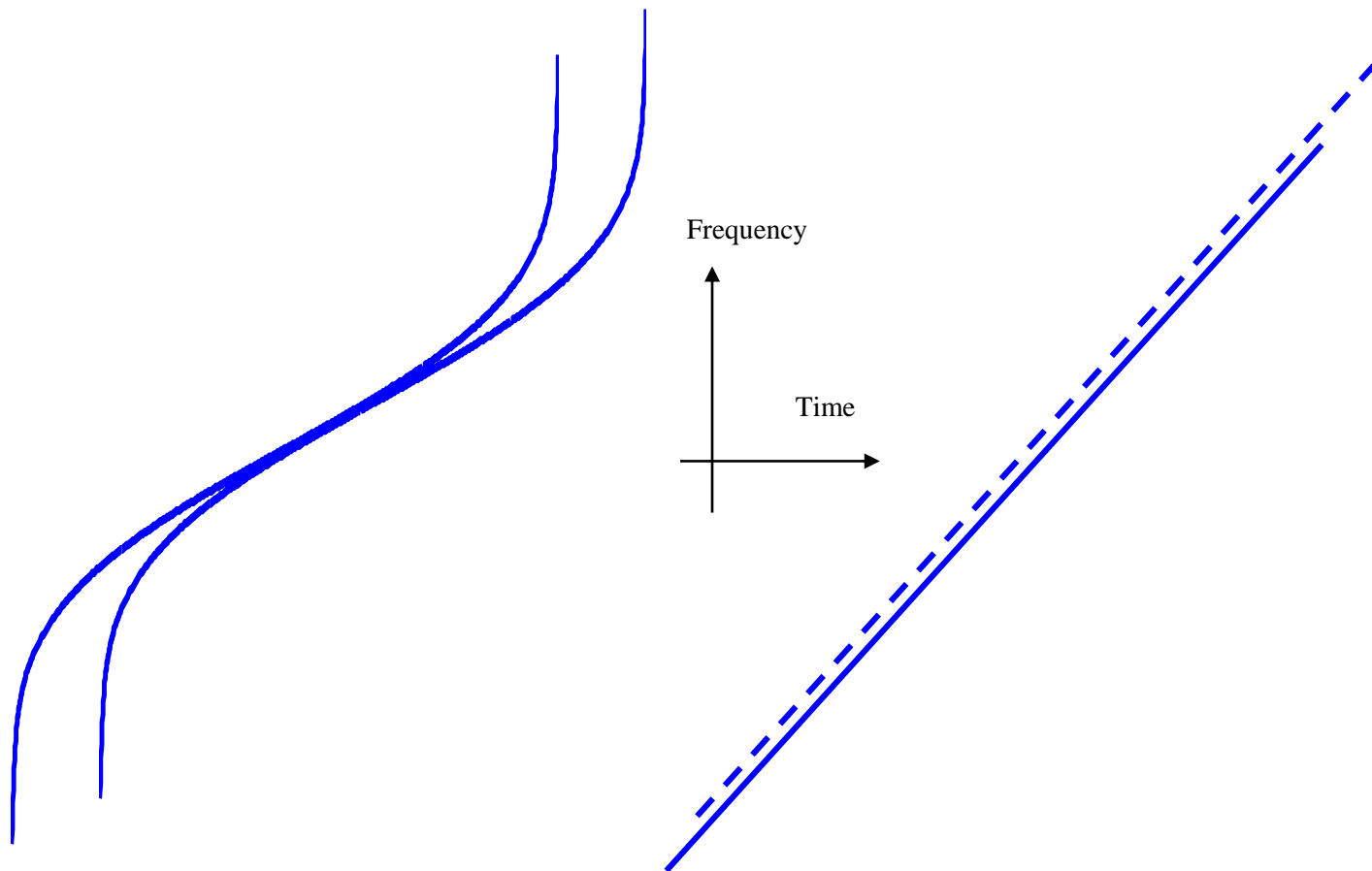


The autocorrelation function of the NLFM signal whose spectrum appears in the previous slide

$$\text{Peak } SL_{[\text{dB}]} = -20\log_{10}(BT) - 3 \quad BT = 130 \Rightarrow \quad -20\log_{10}(130) - 3 = 39.3 \text{ dB}$$



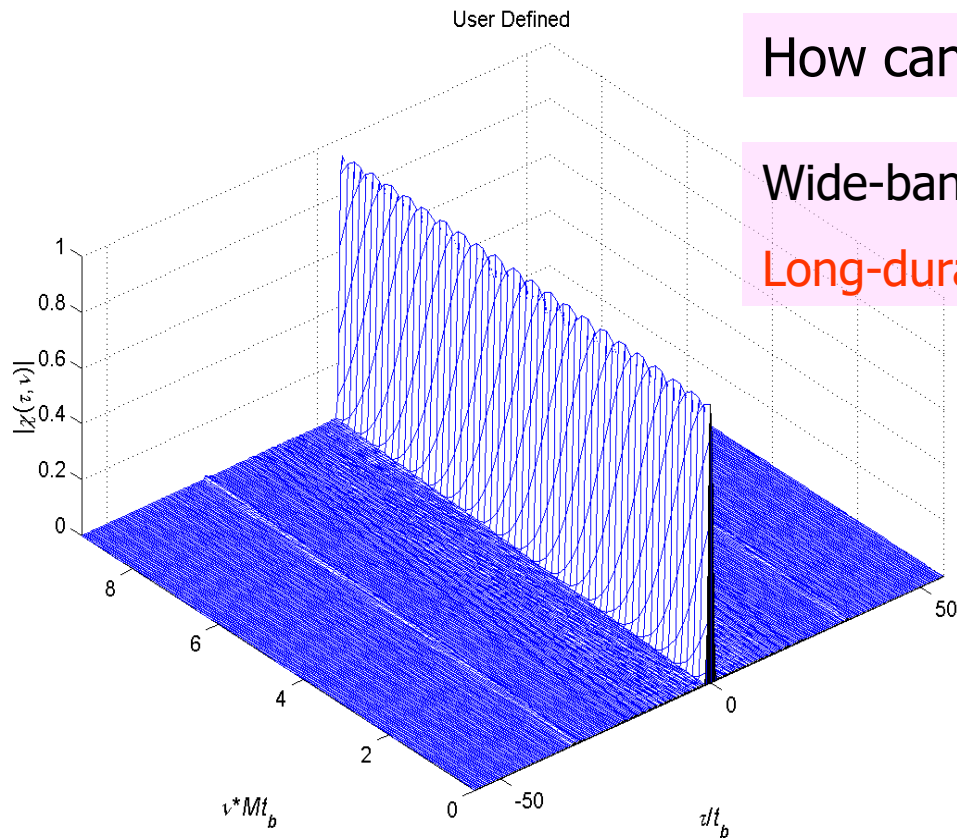
Partial ambiguity function (zoom in delay and Doppler) of the NLFM signal



Alignment of frequency characteristics of two NLFM signals (left) and two LFM signals (right)

Weighted LFM (or NLFM) provides near-ideal Doppler-tolerant ambiguity function:

- Narrow ridge = high range resolution.
- Extending very far in Doppler.
- Almost parallel to the Doppler axis (can't be along the Doppler axis - because the Doppler cut is not affected by frequency or phase modulation).

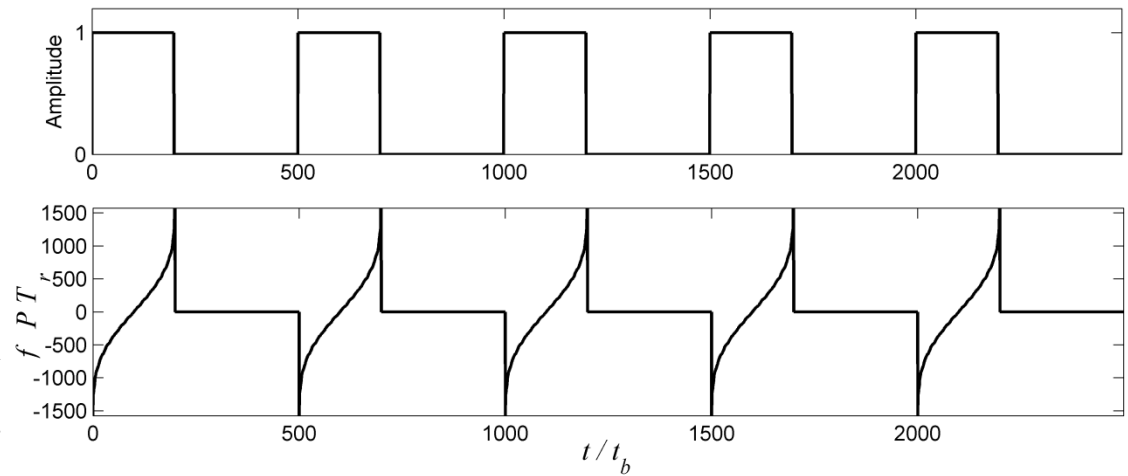


How can we add Doppler resolution ?

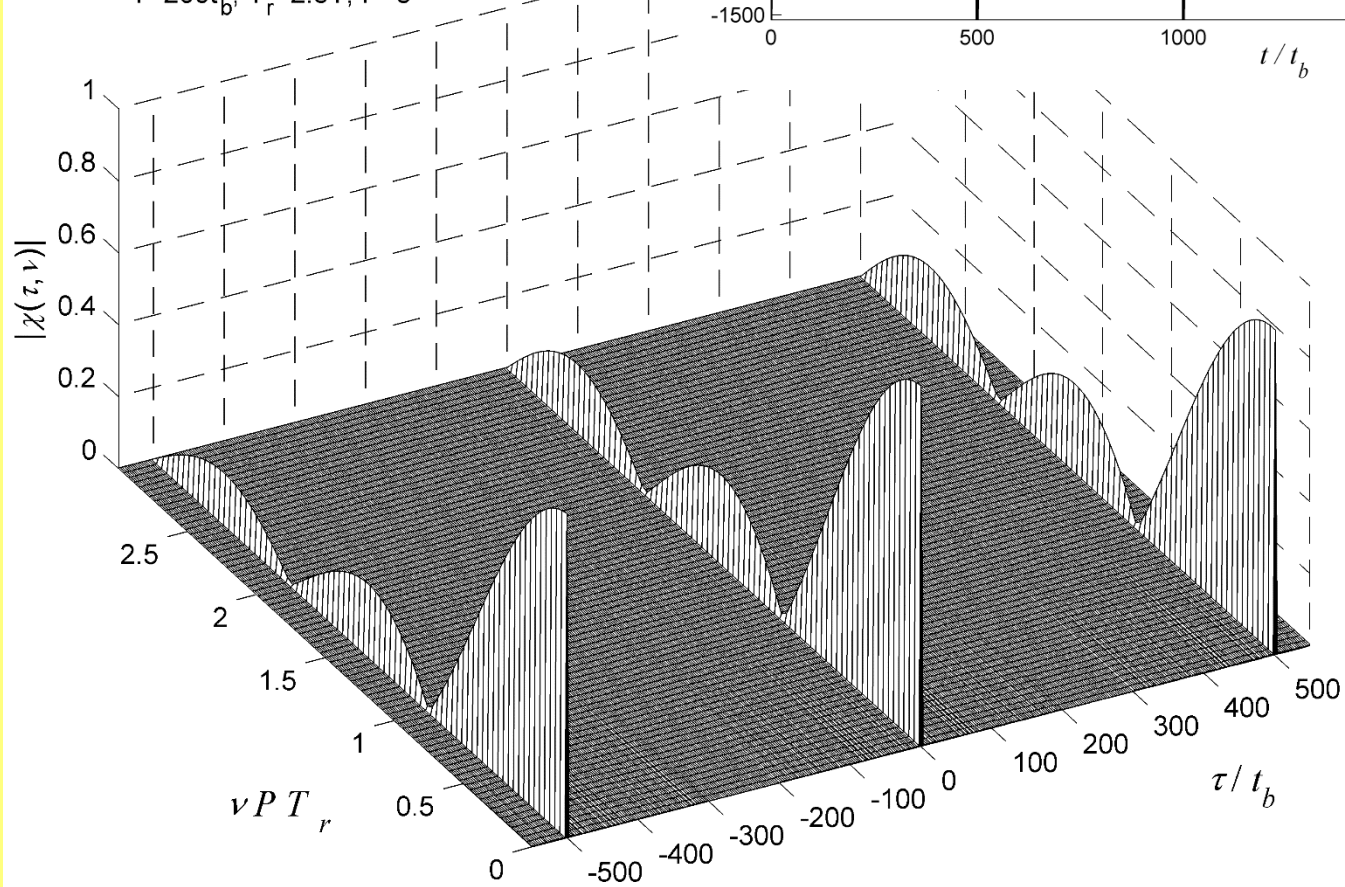
Wide-bandwidth signal \Rightarrow range resolution

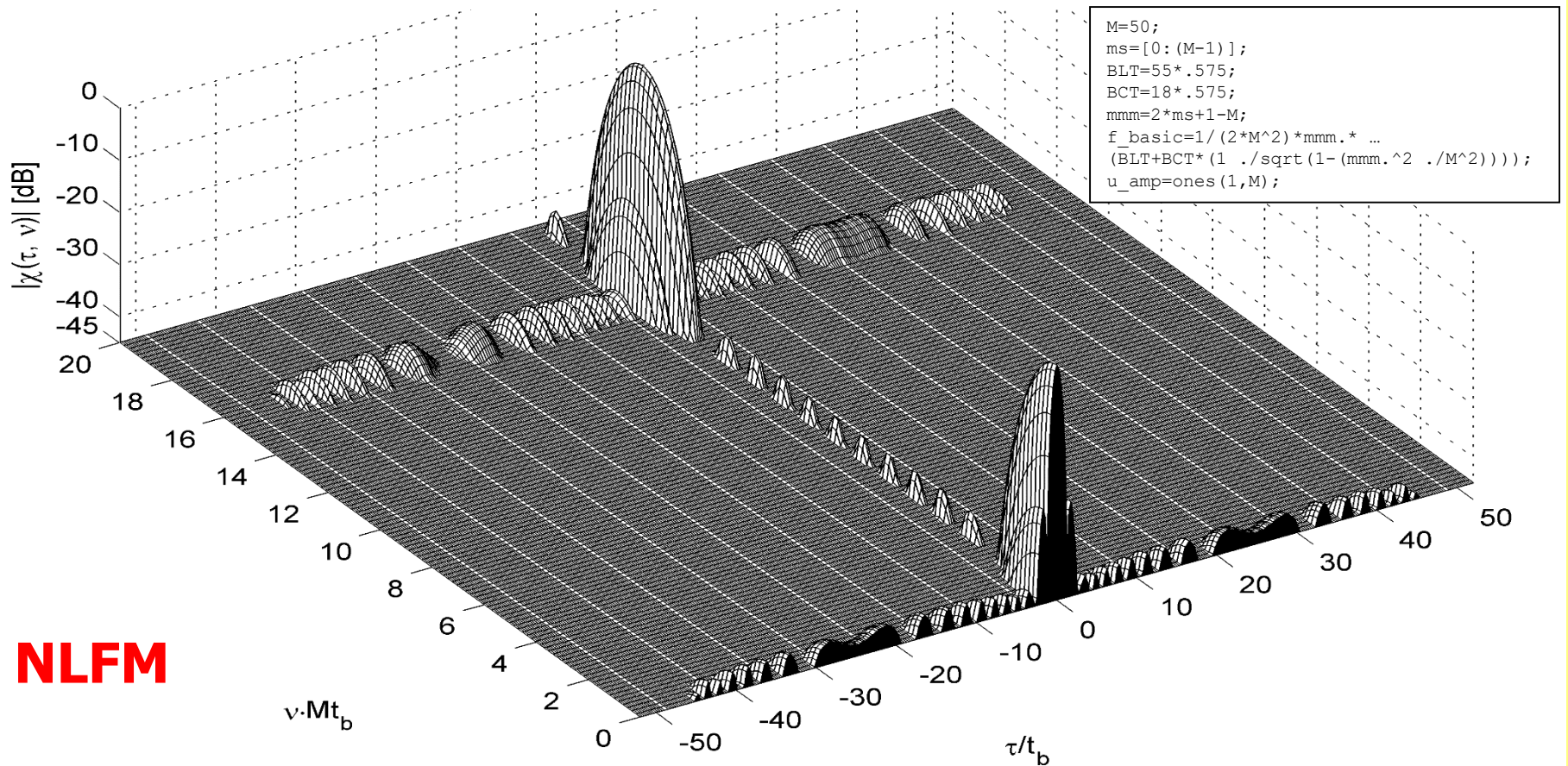
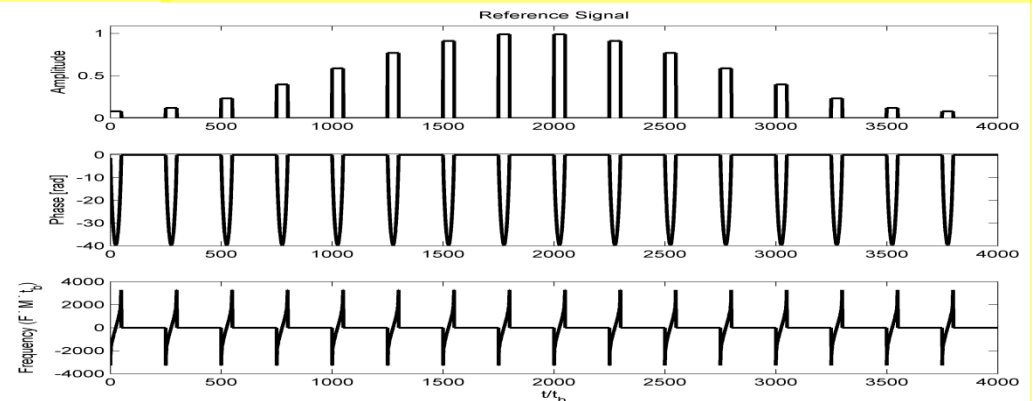
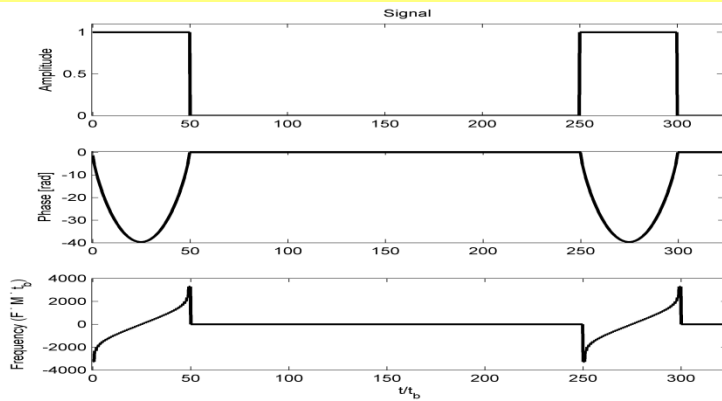
Long-duration signal \Rightarrow Doppler resolution

Train of NLFM pulses



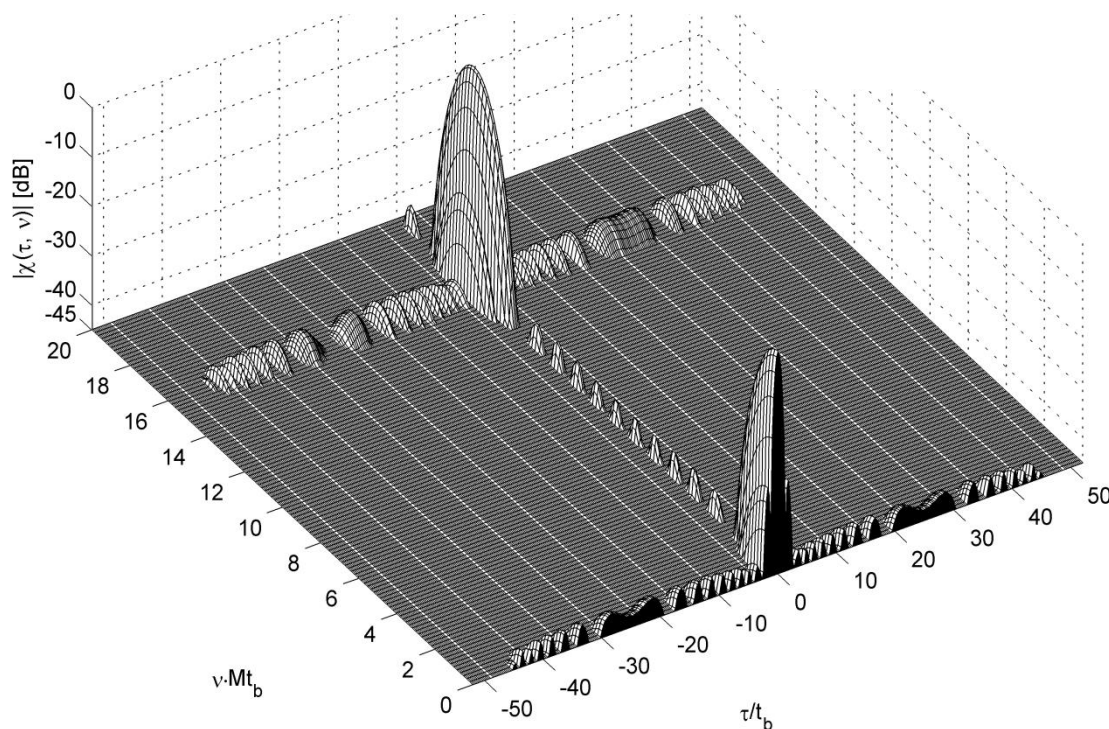
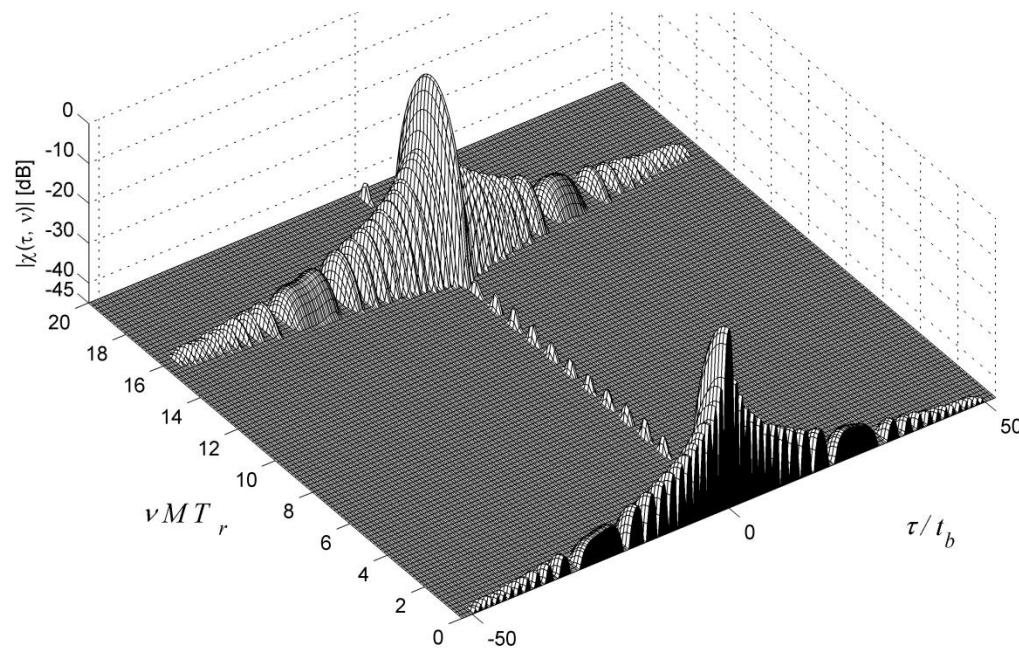
Coherent train of NLFM pulses
 $T=200t_b, T_r=2.5T, P=5$





NLFM

Coherent train of **LFM** pulses,
Hamming inter-pulse weighting.



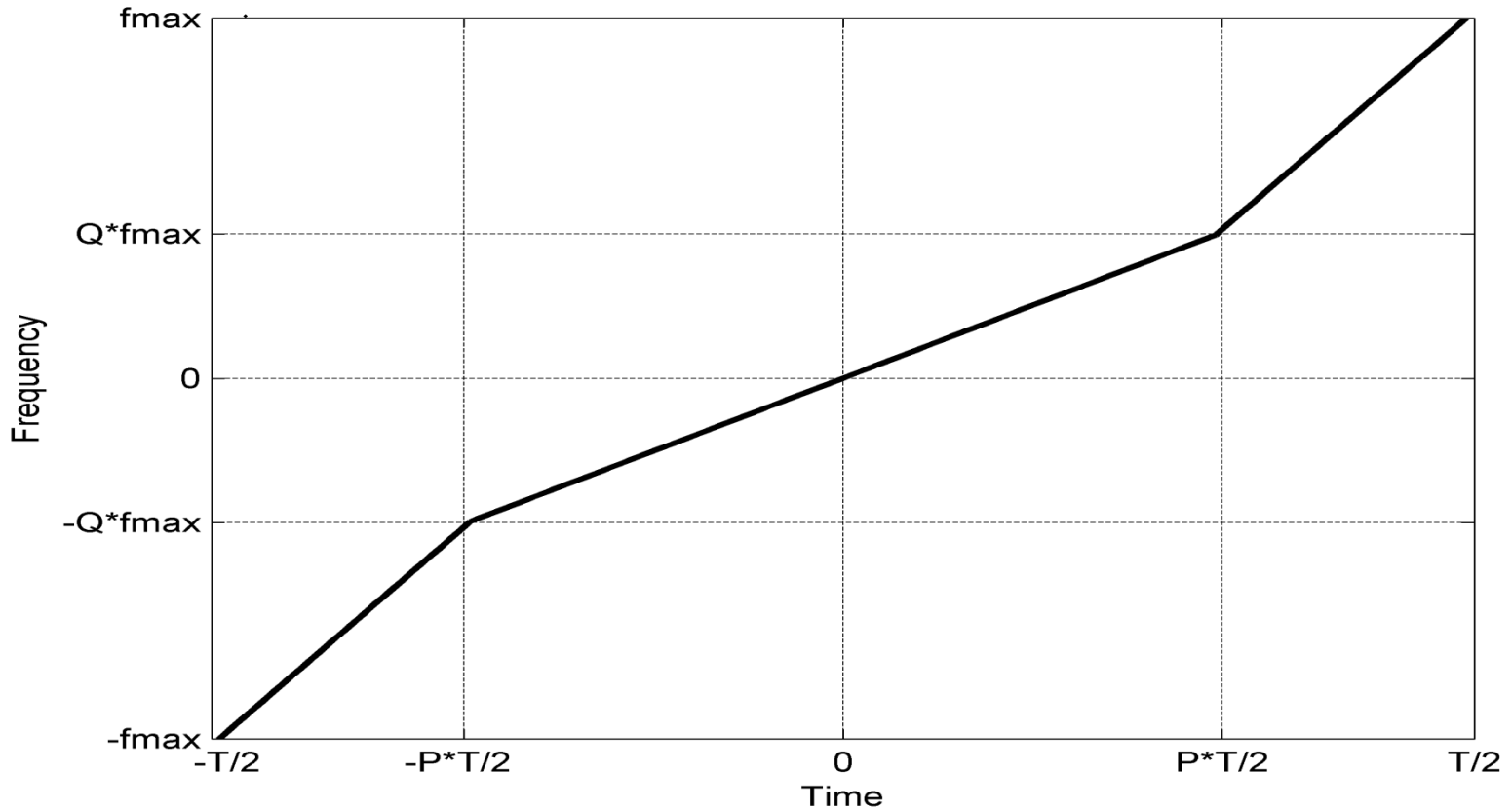
Coherent train of **NLFM** pulses,
Hamming inter-pulse weighting.

תכנון אות Piecewise Non-linear FM

פונקציית האוטוקורלציה (ACF) של אות Linear-FM (LFM) סובלת מאונות צד גבוהות יחסית. אונת הצד הגבוהה ביותר (PSL) מגיעה ל -13.5 dB. את אונות הצד ניתן להנמיך ע"י אות Non-linear FM (NLFM). אחת הדרכים לממש אות NLFM היא ע"י הרכבתו מקטעים ישרים.

בשאלה נעסוק באות פשוט יחסית שמהלך התדר שלו (משני צידי התדר הנושא) מתואר ע"י שלושה קטעים ישרים, כמוצג בציור. שתי נקודות הברך הן סימטריות לגבי הראשית, ומוגדרות ע"י שני הפרמטרים: $0 < P < 1, 0 < Q < 1$

מכפלת רוחב הפס במשך האות תוגדר כ: $TBW = 2 f_{max} T$



1. עבור $TBW = 40$

יש למצוא את P ו-Q שיתנו לאות פונקציית אוטוקורלציה עם PSL מינימלי.

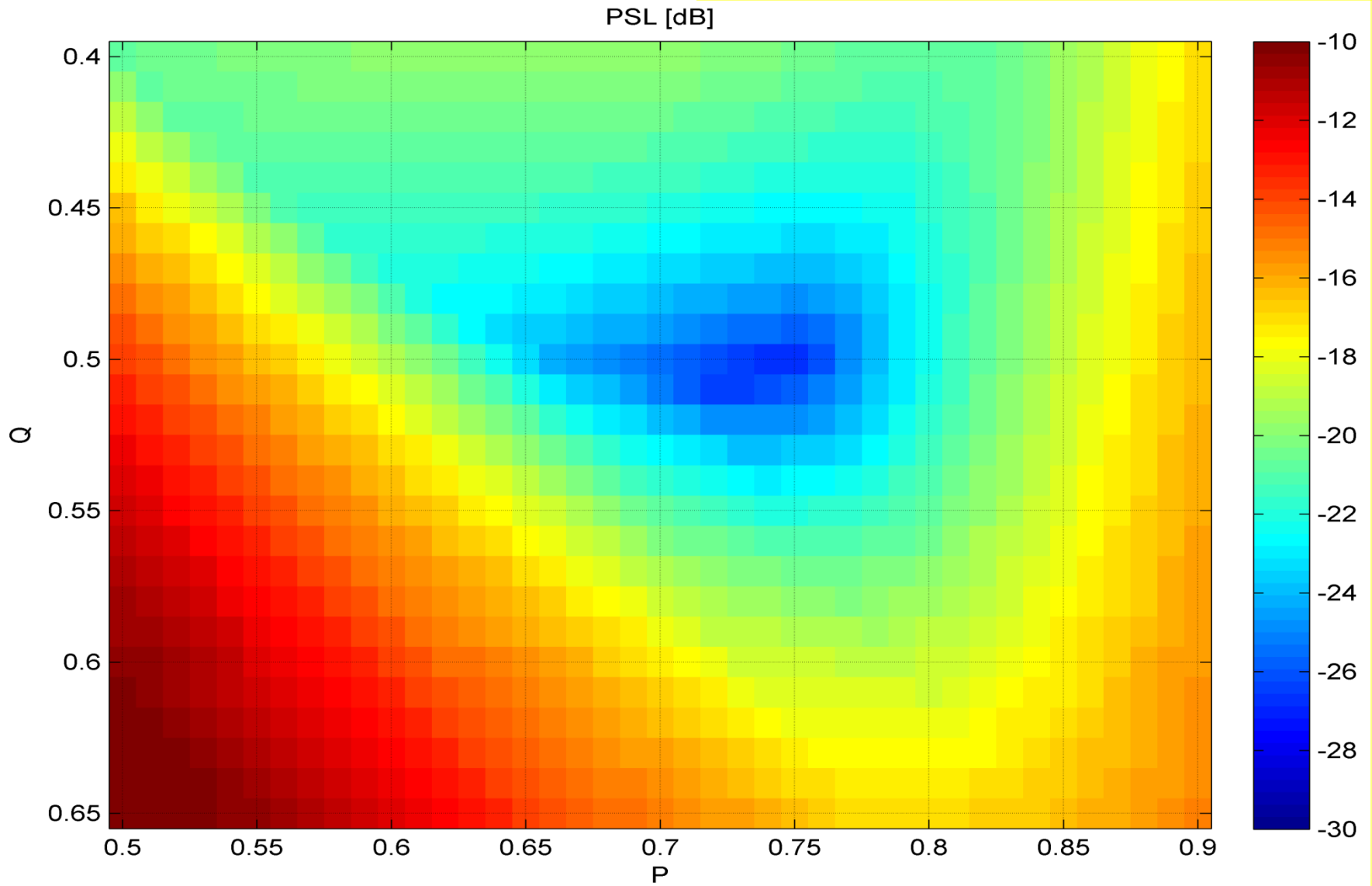
2. עבור האות שמתקבל עם אותם P ו-Q יש לצייר את פונקציית האוטוקורלציה (מספיק לציירה עבור השהיות חיוביות), ולהשוותה לפונקציית האוטוקורלציה של אות LFM עם אותו TBW . המהדרים מוזמנים להוסיף את פונקציות האמביגיטי המתאימות.

רמז: מוצע להגדיר את האות על ידי $M = 200$ מדרגות תדר שמשכן t_b קבוע, כך שמתקיים $T = Mt_b$ גובה קפיצת התדר ישתנה כמובן לפי השיפוע של מהלך התדר בזמן.

פתרון:

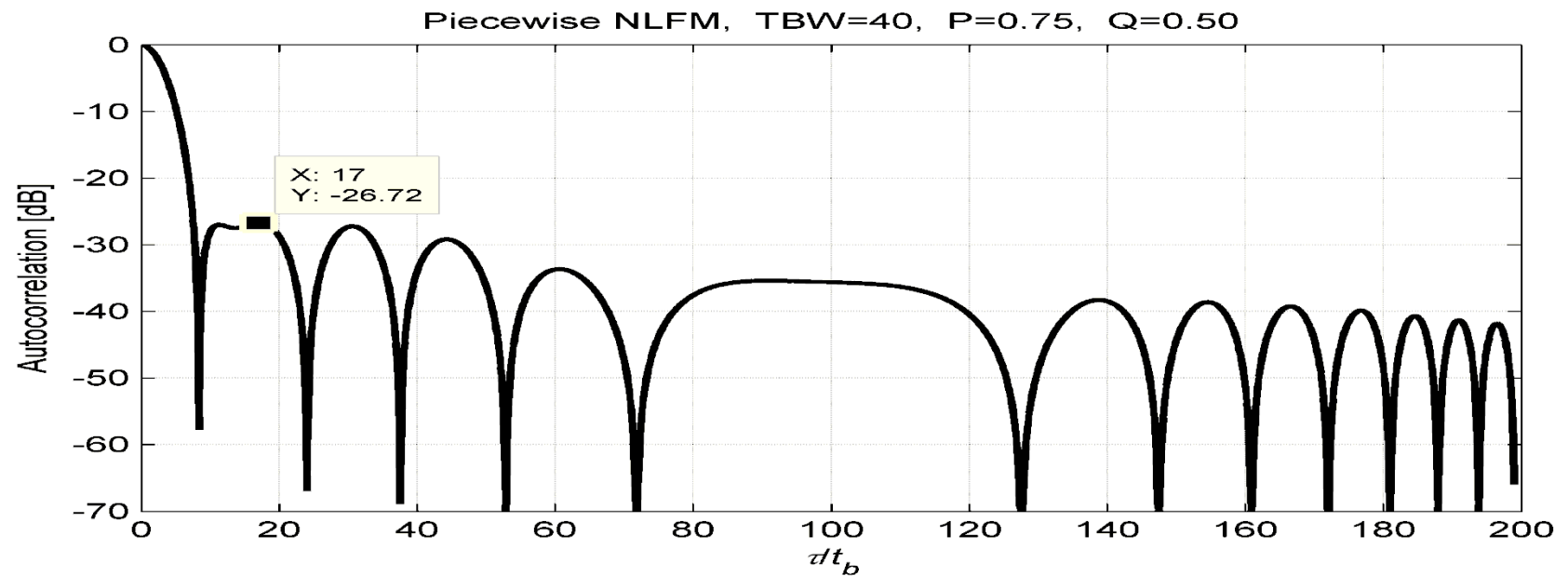
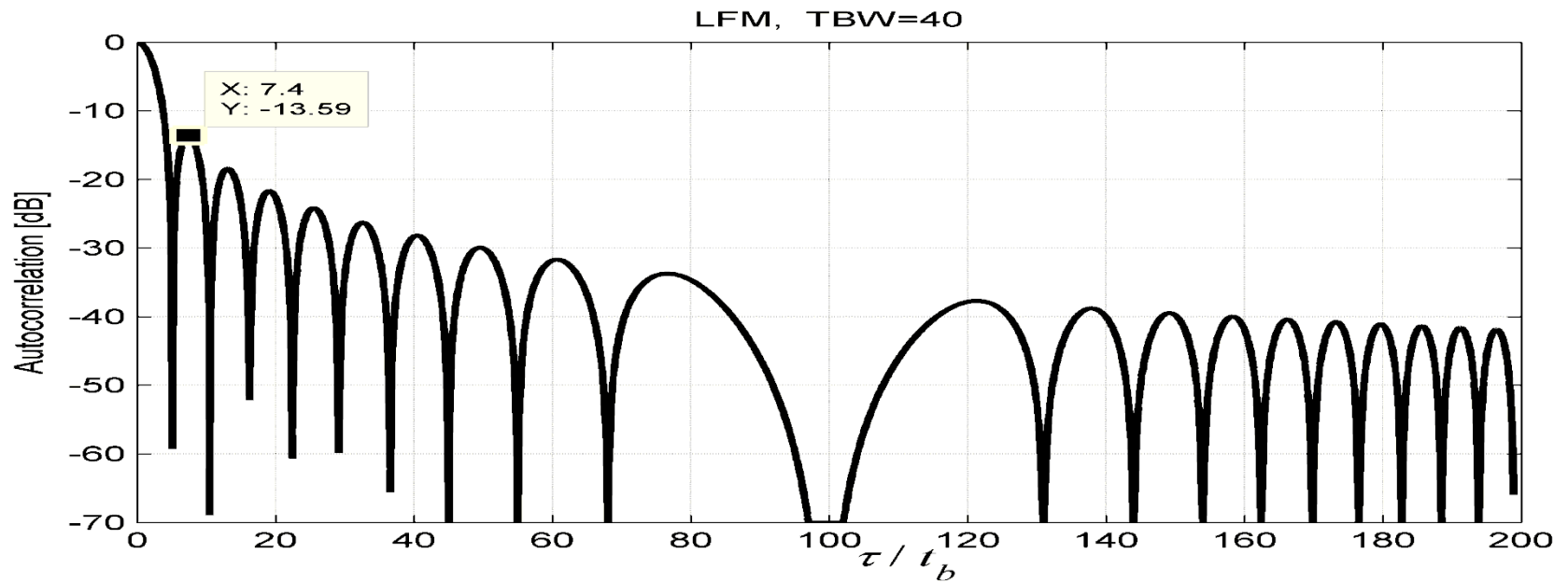
נכתב קוד MATLAB היוצר את האות, מחשב את ה ACF ומוצא את אונת הצד הגבוהה ביותר. בעזרתו בוצע חיפוש דו-ממדי במרחב P ו-Q. תוצאות החיפוש מופיעות בציור (1).

פונקציות ה ACF וה AF עבור אות ה Piecewise NLFM עם הברך המוגדרת ע"י P ו Q הנ"ל, ועבור אות LFM, שניהם עם $TBW = 2f_{max}T = 40$, מופיעות בציורים (2) (3).

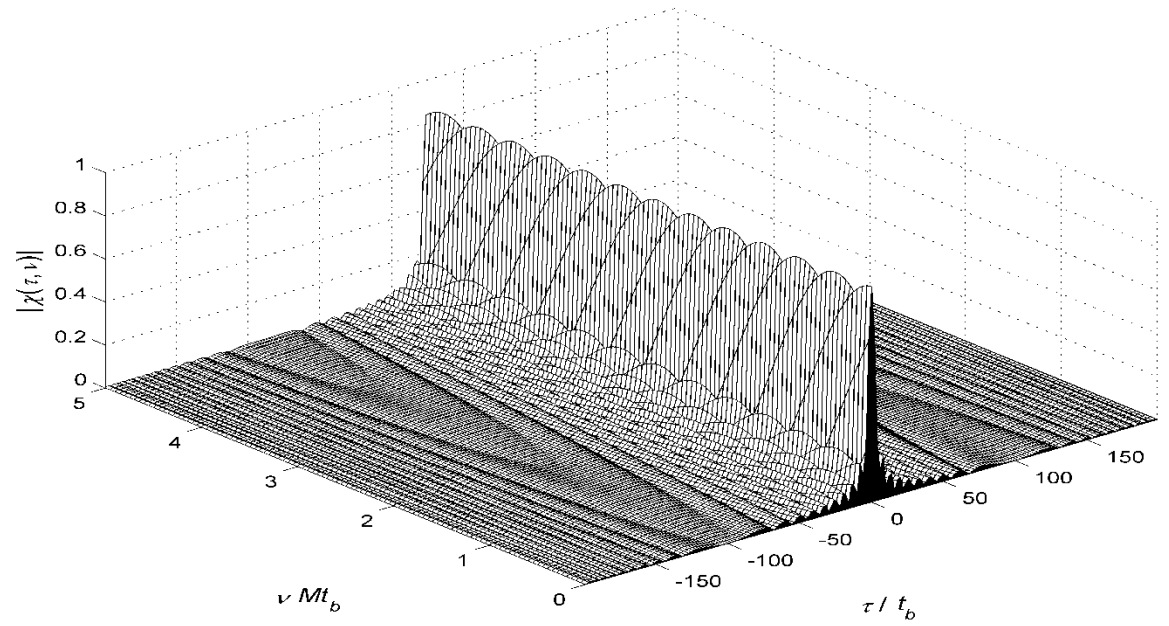


$P = 0.75, Q = 0.50$

ה PSL הנמוך ביותר נמצא בערכים



LFM, TBW=40



Piecewise NLFM, TBW=40, P=0.75, Q=0.5

